

79073

T. C.
ULUDAĞ ÜNİVERSİTESİ
FEN BİLİMLERİ ENSTİTÜSÜ

PROTON ve FLUOR SPİNİ İÇEREN
BAZI ORGANİK MOLEKÜLLERDE
NMR AŞIRI İNCE YAPISININ
BİLGİSAYAR YARDIMIYLA
ELDE EDİLMESİ

HÜSEYİN OVALIOĞLU

YÜKSEK LİSANS TEZİ
FİZİK ANABİLİM DALI
1998

79073

T.C. YÜKSEK ÖĞRETİM KURULU
DOKÜMANTASYON MERKEZİ

T. C.
ULUDAĞ ÜNİVERSİTESİ
FEN BİLİMLERİ ENSTİTÜSÜ

PROTON ve FLUOR SPİNİ İÇEREN
BAZI ORGANİK MOLEKÜLLERDE
NMR AŞIRI İNCE YAPISININ
BİLGİSAYAR YARDIMIYLA
ELDE EDİLMESİ

HÜSEYİN OVALIOĞLU

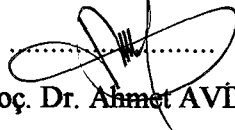
YÜKSEK LİSANS TEZİ
FİZİK ANABİLİM DALI

1998

Bu tez 27. 07. 1998 tarihinde aşağıdaki jüri tarafından oybirliği / oyçokluğu ile kabul edilmiştir.



Prof. Dr. Aytaç YALÇINER
(Danışman)



Doç. Dr. Ahmet AVINÇ
(Jüri Üyesi)



Yrd. Doç. Dr. Mürsel ALPER
(Jüri Üyesi)

ÖZET

AB_2 , A_2B_2 , A_2B_3 , ANX , ABC ve A_3BC tipi moleküllerde çekirdeklerinin tümünün $1/2$ spinli olması durumunda NMR aşırı ince yapısını elde etmek üzere çeşitli δ kimyasal kayma ve çeşitli J_{ij} endirekt spin-spin bağlaşım katsayıları için, herbir sistemin enerji matrisleri oluşturuldu (Abragam 1973, Akitt 1992 ve Apaydın 1991). Bu sistemlerin enerji özdeğerlerini ve özvektörlerini hesaplamak için JACOBI programı kullanıldı. Geçiş olasılıkları ve geçiş enerjilerini hesaplamak için tarafımızdan geliştirilmiş bir program uygulandı. Herbir sistemi ayrı ayrı çözmek gerekti. Tüm sistemler için toplam spinler ve bunların izdüşümleri belirlendikten sonra, sisteme ait dalga fonksiyonları çizelgesi oluşturuldu.

Enerji Hamiltoniyeni kullanılarak sekular determinant oluşturuldu. δ ve J 'ye çeşitli değerler verilerek JACOBI programı ile enerji özdeğerleri ve karışırma katsayıları hesaplandı. Bunlara karşılık gelen enerji düzey şeması oluşturuldu.

Geçiş olasılıkları ve Hz cinsinden geçiş enerjileri, ilgili Hamiltoniyen kullanılarak tarafımızdan hazırlanmış ve geliştirilmiş bir yazılım programı ile hesaplandı. Böylece kuramsal spektrumlar elde edildi. Bazı tip moleküllerin deneysel spektrumları ile elde edilen kuramsal spektrumların uyuştuğu gözlemlendi.

ABSTRACT

The energy matrices of molecules of AB_2 , A_2B_2 , A_2B_3 , ANX , ABC and A_3BC type in the case of spin 1/2 have been calculated for several chemical shifts and several indirect spin-spin coupling coefficients (J_{ij}) to obtain NMR hyperfine structure of such systems. The JACOBI programme were used to calculate eigenvalues and eigenvectors of these systems. We have developed a programme to calculate the transition probabilities and the transition energies. It was necessary to solve each system separately. After determination of the total spins and their projection, the wavefunctions diagram of the system has been made.

The secular determinant has been made using energy Hamiltonien. The energy eigenvalues and mixing coefficients have been calculated giving several values to the δ and J by JACOBI program. The energy level diagram that correspond to these values have been made.

The transition probabilities and the transition energies in Hz have been calculated, using Hamiltonien above, which was produced and developed by us. Thus theoretical spectrums have been obtained. It was observed that the experimental spectra of several molecules were in good agreement with the theoretical spectra.

İÇİNDEKİLER	SAYFA NO
1. GİRİŞ	1
2. KURAM	2
2.1. Rezonans çizgilerinin Çok Katlı Yapısı	2
2.1.1. $J \ll \delta$ Hali	3
2.1.2. $J \approx \delta$ Hali	4
2.2. Kimyasal Kayma	6
2.2.1. Kendi atomundan Meydana Gelen Diamagnetik Kısım	10
2.2.2. Kendi atomundan Meydana Gelen Paramagnetik Kısım	11
2.2.3. Komşu Atomların Katkıları	12
2.2.4. Halka Akımları	12
2.3. Dolaylı Spin Çiftlenmesi	13
2.4. n Özdeş Çekirdek ile Çiftlenme	16
3. MATERYAL VE YÖNTEM	18
3.1. AB_2 Sistemi	18
3.1.1. Matris Elemanları	18
3.1.2. Özdeğerler	20
3.1.3. Enerji Düzey Şeması	20
3.2. A_2B_2 Sistemi	21
3.2.1. Matris Elemanları	21
3.2.2. Özdeğerler	24
3.2.3. Enerji Düzey Şeması	25
3.3. A_2B_3 Sistemi	26
3.3.1. Matris Elemanları	27
3.3.2. Özdeğerler	30
3.3.3. Enerji Düzey Şeması	32
3.4. ABC Sistemi	33
3.4.1. Matris Elemanları	34
3.4.2. Özdeğerler	36
3.4.3. Enerji Düzey Şeması	37

3.5. A ₃ BC Sistemi	38
3.5.1. Matris Elemanları	39
3.5.2. Özdeğerler	43
3.5.3. Enerji Düzey Şeması	46
4. SONUÇLAR VE TARTIŞMA	47
4.1. AB ₂ Sistemi	47
4.1.1. Karıştırma Katsayıları	47
4.1.2. Geçiş Olasılıkları	47
4.2. A ₂ B ₂ Sistemi	52
4.2.1. Karıştırma Katsayıları	52
4.2.2. Geçiş Olasılıkları	52
4.3. A ₂ B ₃ Sistemi	58
4.3.1. Karıştırma Katsayıları	58
4.3.2. Geçiş Olasılıkları	58
4.4. ABC Sistemi	65
4.4.1. Karıştırma Katsayıları	65
4.4.2. Geçiş Olasılıkları	65
4.5. A ₃ BC Sistemi	71
4.5.1. Karıştırma Katsayıları	71
4.5.2. Geçiş Olasılıkları	72

KAYNAKLAR

TEŞEKKÜR

ÖZGEÇMİŞ

SİMGELER DİZİNİ

<u>SİMGE</u>	<u>ANLAMI</u>
F_Z	Çekirdek spinlerinin izdüşümleri toplamı
ω	Geçiş enerjisi (Hz cinsinden)
ν	Geçiş frekansı
J_{ij}	Endirekt spin-spin bağlaşım katsayısı
\mathcal{H}	Hamiltoniyen
\mathcal{H}_Z	Hamiltoniyenin zeeman enerji terimi
\mathcal{H}_{s-s}	Hamiltoniyenin spin-spin bağlaşım terimi
\mathcal{H}^0	Zamandan bağımsız Hamiltoniyen
\mathcal{H}'	Köşegen dışı matris elemanları için Hamiltoniyen
\mathcal{H}''	Geçiş olasılığı için Hamiltoniyen
E^0	Temel enerji durumu
i	Çekirdek spini
I	Çekirdeğin spin toplamı
I_Z	Çekirdek spinleri toplamının izdüşümü
I_x, I_y	Spinin enine bileşenleri
Γ^+, Γ	Kayma operatörleri
h	Planck sabiti
φ	Dalga fonksiyonu
Ψ	Dalga fonksiyonlarının karışımlarının toplamı
γ	Jiromagnetik oran
M	Örneğin toplam nükleer magnetik moment operatörü
$\Phi(t)$	Dalga fonksiyonu
H_0	Magnetik alan
$H_{\text{etkin}}^{(0)}$	Standart maddenin magnetik alanı
$H_{\text{etkin}}^{(1)}$	Birinci maddenin magnetik alanı
$H_{\text{etkin}}^{(2)}$	İkinci maddenin magnetik alanı

H_{yerel}	Yerel magnetik alan
λ	Kuantum sayısı
$P_{ij}(P_{\zeta\zeta'})$	Geçiş olasılığı
σ	İncelenen çekirdeğin (maddenin) ekranlama katsayısı (veya maskeleme katsayısı)
σ_p	Standart maddenin maskeleme katsayısı
δ	Kimyasal kayma
τ	Kimyasal kayma (kimyacıların kabulü)
ξ_D	Bir atomun diamagnetik alınganlığı
ξ_P	Bir atomun paramagnetik alınganlığı
χ	Ölçülen örneğin hacimce alınganlığı
χ_0	Standart maddenin hacimce alınganlığı
T	Elektronun halkayı dolanma periyodu
F	Halkanın alanı
μ	Magnetik moment

ŞEKİLLER DİZİNİ

<u>ŞEKİL NO</u>	<u>ACIKLAMASI</u>	<u>SAYFA NO</u>
Şekil 2.1	Etil alkolün H^1 -NMR ince yapısı	6
Şekil 2.2	Toluenin H^1 -NMR ince yapısı	6
Şekil 2.3	TMS standart maddesinin sinyali, kimyasal kaymayı göstermek için referanstır	6
Şekil 2.4	Sembolik atom	8
Şekil 2.5	Taranmış kısımlar sembolik olarak bağları gösteriyor	8
Şekil 2.6	Dış standart	9
Şekil 2.7	Benzen halkasında substituent etkisi	10
Şekil 2.8	Komşu atomların diamagnetik katkıları	12
Şekil 2.9	(a) Etil alkolün ince yapısı ($^1H^1$ -rezonansı) (b) Etil alkolün aşırı ince yapısı ($^1H^1$ -rezonansı)	13
Şekil 2.10	Komşu çekirdeğin dış magnetik alana etkisi	13
Şekil 2.11	Komşu çekirdeğin ($I=1/2$) incelenen çekirdeğin sinyaline etkisi ($J=f(\text{çevrenin elektron yoğunluğu})$)	14
Şekil 2.12	İki farklı frekansta elde edilen NMR sinyali	15
Şekil 2.13	$I_1=I_2=1/2$ ise, bir tek komşu çekirdek bulunması halinde NMR sinyali	15
Şekil 2.14	$I_1=1/2$ $I_2=1$ ise, bir tek komşu çekirdek bulunması halinde NMR sinyali	16
Şekil 3.1	AB_2 sisteminin enerji düzey şeması	20
Şekil 3.2	A_2B_2 sisteminin enerji düzey şeması	25
Şekil 3.3	A_2B_3 sisteminin enerji düzey şeması	32
Şekil 3.4	ABC sisteminin enerji düzey şeması	37
Şekil 3.5	A_3BC sisteminin enerji düzey şeması	46
Şekil 4.1	AB_2 sistemi için $\delta=20$ Hz, $J=10$ Hz için örnek spektrum	50
Şekil 4.2	AB_2 sistemi için $\delta=40$ Hz, $J=10$ Hz için örnek spektrum	50
Şekil 4.3	AB_2 sistemi için $\delta=100$ Hz, $J=10$ Hz için örnek spektrum	50

Şekil 4.4	Benzyl alkolün methylene ve hydroxyl grubu protonlarının deneysel ve kuramsal proton spektrumu ($\delta = 48,60$ Hz ve $J = 5,70$ Hz)	51
Şekil 4.5	1,2,3-Trichlorobenzen'in deneysel ve kuramsal proton spektrumu. ($\delta = 13,97$ Hz ve $J = 8,08$ Hz)	51
Şekil 4.6	A_2B_2 sistemi için $\delta=20$ Hz, $J=10$ Hz için örnek spektrum	56
Şekil 4.7	A_2B_2 sistemi için $\delta=40$ Hz, $J=10$ Hz için örnek spektrum	56
Şekil 4.8	A_2B_2 sistemi için $\delta=100$ Hz, $J=10$ Hz için örnek spektrum	57
Şekil 4.9	Pure ethylene monothiocarbonate protonlarının deneysel ve kuramsal spektrumu ($\delta=35,96$ Hz, $J=7$ Hz)	57
Şekil 4.10	A_2B_3 sistemi için $\delta=20$ Hz, $J=10$ Hz için örnek spektrum	63
Şekil 4.11	A_2B_3 sistemi için $\delta=40$ Hz, $J=10$ Hz için örnek spektrum	63
Şekil 4.12	A_2B_3 sistemi için $\delta=20$ Hz, $J=10$ Hz için örnek spektrum	64
Şekil 4.13	A_2B_3 sistemi için $\delta=54,1$ Hz, $J=7,5$ Hz için örnek spektrum	64
Şekil 4.14	ABC sisteminin $\delta_{AB}=20$ Hz, $\delta_{BC}=60$ Hz, $J_{AB}=2$ Hz, $J_{AC}=4$ Hz ve $J_{BC}=6$ Hz için örnek spektrum	69
Şekil 4.15	ABC sisteminin $\delta_{AB}=10$ Hz, $\delta_{BC}=100$ Hz, $J_{AB}=1$ Hz, $J_{AC}=3$ Hz ve $J_{BC}=7$ Hz için örnek spektrum	69
Şekil 4.16	Çizelge 4.8'deki 2. Örnek parametre değerleri için elde edilen ANX kuramsal spektrumu ve Duran-2-aldehit maddesinin deneysel spektrumu.	70
Şekil 4.17	Çizelge 4.8'deki 3. Örnek parametre değerleri için elde edilen ABC kuramsal spektrumu ve saf vinil asetat bileşiğinde vinil protonları NMR deneysel spektrumu	71
Şekil 4.18	Çizelge 4.10'daki A_3BC sisteminin 1. Örnek parametre değerleri için kuramsal spektrum	77
Şekil 4.19	A_3BC sisteminin $\delta_{AB}=40$ Hz, $\delta_{BC}=60$ Hz, $J_{AB}=5$ Hz, $J_{AC}=12$ Hz ve $J_{BC}=3$ Hz için örnek spektrum	77
Şekil 4.20	A_3BC sisteminin $\delta_{AB}=160$ Hz, $\delta_{BC}=240$ Hz, $J_{AB}=5$ Hz, $J_{AC}=12$ Hz ve $J_{BC}=3$ Hz için örnek spektrum	78

ÇİZELGELER DİZİNİ

<u>ÇİZELGE NO</u>	<u>ACIKLAMASI</u>	<u>SAYFA NO</u>
Çizelge 3.1	AB ₂ sisteminin dalga fonksiyonları	18
Çizelge 3.2	A ₂ B ₂ sisteminin dalga fonksiyonları	21
Çizelge 3.3	A ₂ B ₃ sisteminin dalga fonksiyonları	26
Çizelge 3.4	ABC sisteminin dalga fonksiyonları	33
Çizelge 3.5	A ₃ BC sisteminin dalga fonksiyonları	38
Çizelge 4.1	AB ₂ sistemi için karıştırma katsayıları	48
Çizelge 4.2	AB ₂ sisteminin geçiş frekansları ve şiddetleri	49
Çizelge 4.3	A ₂ B ₂ sistemi için karıştırma katsayıları	53
Çizelge 4.4	A ₂ B ₂ Sisteminin geçiş frekansları ve şiddetleri	55
Çizelge 4.5	A ₂ B ₃ sistemi için karıştırma katsayıları	61
Çizelge 4.6	A ₂ B ₃ Sisteminin geçiş frekansları ve şiddetleri	62
Çizelge 4.7	ABC (ANX) sistemi için karıştırma katsayıları	67
Çizelge 4.8	ABC (ANX) sisteminin geçiş frekansları ve şiddetleri	68
Çizelge 4.9	A ₃ BC sistemi için karıştırma katsayıları	75
Çizelge 4.10	A ₃ BC sisteminin geçiş frekansları ve şiddetleri	76

1.GİRİŞ

Nükleer Manyetik Rezonans (NMR) spektroskopisi molekül yapılarının incelenmesinde kullanılan çok uygun bir yöntemdir. 1/2 spinli özdeş olmayan iki çekirdek grubu arasındaki indirekt spin-spin çiftlenmeleri, AB, AX, AB₂, A₂B₂ ve A₂B₃ gibi olan moleküllerde ele alınacaktır. 1/2 spinli özdeş olmayan üç çekirdek grubu arasındaki indirekt spin-spin çiftlenmeleri, ANX, ABC ve A₃BC gibi olan moleküllerde ele alınacaktır. ¹H¹, ⁶C¹³, ⁹F¹⁹ gibi çekirdekler içeren molekülleri incelemek nispeten daha basittir. Bu sistemlerin enerji özdeğerlerini ve özvektörlerini hesaplamak için JACOBI programı kullanılabilir. Geçiş olasılıkları ve geçiş enerjilerini hesaplamak için program aynı olmakla birlikte genellikle herbir sistem için ayrı ayrı alt programlar hazırlamak gerekebilir.

Böylece bir sistemin kuramsal NMR spektrumu elde edilir ve deneysel spektrum ile karşılaştırılır. Bu çalışmanın amacı AB₂, A₂B₂, A₂B₃, ANX, ABC ve A₃BC tipi moleküllerin kuramsal NMR spektrumlarını elde etmektir.

Bu sistemlerin dalga fonksiyonları tablosu, matris elemanları, enerji özdeğerleri, karıştırma katsayıları, enerji düzey şeması, geçiş olasılıkları ve Hz cinsinden geçiş enerjileri Abragam'a göre hesaplandı (Abragam 1973). Diğer kaynaklardan da istifade edildi (Akitt 1992, Apaydın 1991, Mathieson 1967 ve Corio 1966).

Matris elemanları hesaplandıktan sonra iki çekirdek için $-F_z \frac{\nu_A + \nu_B}{2}$ ve üç çekirdek için $-F_z \frac{\nu_A + \nu_B + \nu_C}{3}$ spektrumun orijini olarak kabul edilip spektrum çizgilerinin yerleri buna göre Hz cinsinden "+" ya da "-" olarak hesaplandı.

Apaydın (Apaydın 1991), geçiş frekanslarını ω_A , ω_B ve ω_C 'ye göre hesaplamaktadır.

2. KURAM

2.1. Rezonans Çizgilerinin Çok Katlı Yapısı

Düzgün bir H magnetik alanında (d.c ve r.f. alanlarının herhangi bir birleştirmesi) spin sisteminin $\hbar H$ Hamiltoniyeni şöyle yazılabilir.

$$\hbar H = -\gamma \hbar \vec{H} \cdot \vec{I} + \hbar \sum_{p \neq q} J_{pq} \vec{I}_p \cdot \vec{I}_q + \vec{I} \sum_q \hbar J_q I'_q + \hbar H_1(I') \quad (2.1)$$

burada $\vec{I} = \vec{I}_1 + \vec{I}_2 + \dots + \vec{I}_n$ ve $\hbar H_1(I')$, I_p 'ye bağlı olmayan kısımdır. I_p 'ler özdeş olduğundan, bunların herbiri bir I'_q spini ile J_q gibi tek bir çiftlenme sabitine sahiptirler. (Abragam 1973).

$$H_a = \sum_{p \neq q} J_{pq} \vec{I}_p \cdot \vec{I}_q$$

operatörü \mathcal{H} 'nin diğer tüm terimleri ile komütatiftir.

$$\mathcal{H}_b = \mathcal{H} - H_a$$

olsun.

$$i \frac{\partial \psi}{\partial t} = (H_a + H_b) \psi$$

Schrödinger eşitliğinde

$$\Psi = \exp(-iH_a t) \Phi$$

alınırsa Φ için Schrödinger denklemi

$$i \frac{\partial \Phi}{\partial t} = H_b \Phi \text{ olur.} \quad (2.2)$$

Gözlenen sinyal

$$S = \frac{d}{dt} \langle \Psi(t) | M_x | \Psi(t) \rangle = \frac{d}{dt} \langle \Phi(t) | e^{iH_a t} M_x e^{-iH_a t} | \Phi(t) \rangle$$

ile orantılıdır. Burada M_x , örneğin toplam nükleer magnetik moment operatörüdür ve

$M_x = \gamma \hbar I_x + f(I')$ \mathcal{H}_a ile komütatif olduğu için

$$S = \frac{d}{dt} \langle \Phi(t) | M_x | \Phi(t) \rangle \quad (2.3)$$

olur.

(2.2)'ye göre sinyal $\Phi(t)$ ile belirlenir. $\Phi(t) \neq f(H_a)$; özdeş spinler arasındaki J_{pq} çiftlenmeleri gözlenemez. Örneğin HD için bir J vardır, H₂ için yoktur.

2.1.1. $J \ll \delta$ Hali

İki grup olsun: G ve G'. Bu gruplardaki spinler p tane I_k ve p' tane $I_{k'}$ olsun. Karşılıklı etkileşme sabiti J, kimyasal kayma $\delta = (\gamma - \gamma')H_0$ 'dan çok küçük olsun. Farklı çekirdeklere bu koşul her zaman gerçekleşir. (Zayıf alanlar hariç). İlgisiz terimleri çıkarılmış Hamiltoniyen

$$\hbar H = -(\gamma \hbar I_z + \gamma' \hbar I'_z)H_0 + \hbar J \cdot \vec{I} \cdot \vec{I}' \quad (2.4)$$

olup burada

$$H_0 |\gamma - \gamma'| \rangle \rangle J \text{ ve } \vec{I} = \sum_k I_k, \vec{I}' = \sum_{k'} I'_{k'}$$

alınmıştır. σ ve σ' maskemeleri γ ve γ' 'nün içindedir. Birinci derece pertürbasyon yönteminde, küçük çiftlenme terimi $\hbar J \cdot \vec{I} \cdot \vec{I}'$ yerine bunun bir parçası olan ve ana Hamiltoniyen $-(\gamma \hbar I_z + \gamma' \hbar I'_z)H_0$ ile komütatif olan $\hbar J I_z I'_z$ alınır. (Abragam 1973).

Sistemin enerji düzeyleri bu durumda

$$\hbar E_{MM'} = -(\gamma \hbar H_0 M + \gamma' \hbar H_0 M') + \hbar J M M' \quad (2.5)$$

ile verilir ki burada $I_z = M$, $I'_z = M'$ 'dür. Geçiş frekansları

$$\left. \begin{array}{l} \Delta M = 1, \Delta M' = 0 \text{ için } \omega = -\gamma H_0 + J M' \text{ ve} \\ \Delta M = 0, \Delta M' = 1 \text{ için } \omega' = -\gamma' H_0 + J M \end{array} \right\} \quad (2.6)$$

olur. Her bir grup için birer çokkatlı yapı gözlenir ki bunlarda $(2p'i + 1)$ ve $(2pi + 1)$ bileşen bulunur;

Burada i, G grubundaki p tane I_k spininin spini ve i' ile p' de G' grubu içindir.

$\omega = -\gamma H_0 + J M'$ bileşeninin bağlı şiddeti p' tane $I_{k'}$ spininin kaç yolla $I'_z = M'$ 'yü verdiğiine bağlıdır. Bu $P(x) = (1 + x + \dots + x^{2i'})^{p'}$ 'nün açılımındaki $x^{(p'i'+M')}$ 'nün katsayısı ile orantılıdır. Eğer deney sabit frekansta alan taranarak yapılırsa, G ve G' 'nün çokkatlı yapılarındaki ardışık çizgiler arasında ΔH ve $\Delta H'$ yani $|J / \gamma|$ ve $|J / \gamma'|$ aralıkları olur ve uygulanan alandan bağımsız ve $|\gamma' / \gamma|$ oranındadır.

2.1.2. $J \approx \delta$ Hali

P tane özdeş i spinli G grubu ile p' tane özdeş i' spinli G' grubu için ($AB_2, A_2B_2, A_2B_3, \dots$).

$$\hbar H = -(\gamma \hbar I_z + \gamma' \hbar I'_z) H_0 + \hbar J \cdot \vec{I} \cdot \vec{I}' \quad (2.7)$$

Hamiltoniyeni $J \cdot \vec{I} \cdot \vec{I}'$ yerine $J \cdot \vec{I}'_z \cdot \vec{I}_z$ koyarak köşegen hale getirilmelidir. Genel halde, aşağıdaki iyi kuantum sayıları geçerli olduğunda çözüm basitleşir.

$$F_z = I_z + I'_z, \quad |\vec{I}|^2 = I(I+1), \quad |\vec{I}'|^2 = I'(I'+1)$$

Eigen durumlar F_z, I ve I' 'nün belirli değerleri için yazılırlar.

$$|\zeta\rangle = \sum_M C_M |F_z, I, I', M\rangle \quad (2.8)$$

Burada $M = I_z$ olup bu iyi kuantum sayısı değildir. Sistemin tüm durumları F_z, I ve I' 'nün değerlerine göre ayrı manifoldlar halinde en çok $2I+1$ ya da $2I'+1$ 'den küçük olanının mertebesinde olan bir seküler eşitlik çözümlenerek bulunur. I ve I' spin toplamlarından biri $1/2$ ise eşitlik ikinci dereceden yüksek olmaz. Böylece eigen durumlar ve enerji düzeyleri açıkça yazılabilir. (Abragam 1973).

Geçiş olasılıkları, iki eigen durum arasında

$$P_{\zeta\zeta'} \propto |\langle \zeta | I_x + I'_x | \zeta' \rangle|^2 \quad (2.9)$$

ile hesaplanır. γ ve γ' arasındaki küçük farklar (2.9)'da önemsenmez. $I_x + I'_x$ ile I ve I' komütatif olduğundan, yalnızca $\Delta I = 0, \Delta I' = 0, \Delta F_z = \pm 1$ geçişlerine izin verilmiştir. Sistemin bu durumu F_z, I, I' ve diyelim ki I_z tarafından tamamen belirlenmemiştir. Örneğin G grubu üç tane $1/2$ spini içerse ($I = 1/2$) yapmanın iki yolu vardır ve iki tane $I = 1/2, I_z = 1/2$ ortogonal durum bulunur. Fazladan bir λ kuantum sayısı sistemi tam olarak betimlemek için gereklidir: $|F_z, I, I', I_z, \lambda\rangle$. Farklı λ değerli durumları i spinlerinin (ya da i') aralarındaki permütasyona göre farklı bir simetri karakteri gösterirler. Hamiltoniyen (r.f. kısmı dahil) i spinlerinin (ve i' spinlerinin) simetrik bir fonksiyonu olduğu için, λ 'dan bağımsızdır. Geçiş frekansları ve olasılıkları λ dikkate alınmadan hesaplanır.

$\zeta(I, I', F_z) \rightarrow \zeta'(I, I', F_z - 1)$ geçişine ait şiddet $N(I, I')$ ağırlığındadır. Bu sayı, p tane i spininden toplam spin I'yı ve p' tane i' spininden I'yü oluşturmanın farklı yollarının sayısıdır.

Her şeyden önce incelenen karmaşık bileşiği niteleyebilecek bir enerji Hamiltoniyeni yazmak gerekir. Bu Hamiltoniyen, elektronlar tarafından ekranlanmış bir çekirdekte Zeeman enerji terimi ile bağlaşım enerjisi teriminin toplamı şeklinde yazılır.

$$\mathcal{H} = -\hbar H_0 \sum_{i=1}^N \gamma_i (1 - \sigma_i) I_{zi} + \hbar \sum_{i < j} J_{ij} \vec{I}_i \cdot \vec{I}_j \quad (2.10)$$

Burada N, karmaşık bileşikteki rezonans çekirdekleri sayısını belirlemektedir; γ_i , i çekirdeğin jromagnetik oranı ve σ_i 'de aynı çekirdeğin ekranlama katsayısıdır. O halde birinci terim kimyasal kaymayı da içine alan Zeeman enerji terimidir. Eğer,

$$H_0 \gamma_i (1 - \sigma_i) = \omega_i \quad (2.11)$$

kısaltması yapılırsa Zeeman enerji terimi,

$$\mathcal{H}_z = -\hbar \sum_{i=1}^N \omega_i I_{zi} \quad (2.12)$$

olarak yazılır. (2. 1)'deki ikinci terim ise çekirdekler arasındaki spin-spin bağlaşım terimidir ve

$$\mathcal{H}_{s-s} = \hbar \sum_{i < j} J_{ij} (I_{zi} I_{zj} + I_{xi} I_{xj} + I_{yi} I_{yj}) \quad (2.13)$$

şeklinde yazılabilir. kuşkusuz burada toplama tüm olası çekirdek çiftleri üzerinden yapılmaktadır ve toplam olarak N tane çekirdeği olan bileşikte bu toplama $N(N-1)/2$ tane terim içerecektir. (Apaydın 1991)

Çoğu kez I_x ve I_y operatörleri I^+ ve I^- kayma operatörleri cinsinden yazılır. Buna göre, $I_{xi} I_{xj} + I_{yi} I_{yj} \equiv \frac{1}{2} (I_i^+ I_j^- + I_i^- I_j^+)$ özdeşliği geçerlidir ve

$$\mathcal{H}_{s-s} = \hbar \sum_{i < j} J_{ij} I_{zi} I_{zj} + \frac{\hbar}{2} \sum_{i < j} J_{ij} (I_i^+ I_j^- + I_i^- I_j^+) \quad (2.14)$$

iki terimin toplamı şeklinde yazılır. Kuşkusuz, birinci terim yalnızca köşegen eleman ve ikinci terim de yalnızca köşegen olmayan elemanlar içerecektir. Böylece karmaşık bileşiği niteleyen enerji Hamiltoniyeni,

$$\mathcal{H} = -\hbar \sum_{i=1}^N \omega_i I_{zi} + \hbar \sum_{i < j} J_{ij} I_{zi} I_{zj} + \frac{\hbar}{2} \sum_{i < j} J_{ij} (I_i^+ I_j^- + I_i^- I_j^+) \quad (2.15)$$

olarak belirlenmiş olur.

2.2. Kimyasal Kayma

Etil alkol ve toluenin proton sinyali alınmak istenirse ayırma gücü az olan bir spektrometrede ince yapı görülür. (Şekil 2.1 ve 2.2).



Şekil 2.1. Etilalkolün H¹-NMR ince yapısı. Şekil 2.2. Toluenin H¹-NMR ince yapısı.

KAYNAK: Yalçiner'in Ders Notlarından Alınmıştır.

Her gruptaki protonlar için, kılıf elektronlarının maskeleye etkisi nedeniyle, farklı yerel alanlar oluşur. Böylece her grup, farklı etkin alan altında, başka bir rezonans frekansında sinyal verir. σ bir katsayı olmak üzere:

$$H_{\text{yerel}} = -\sigma H_0$$

$$H_{\text{etkin}} = H_0 + H_{\text{yerel}} = (1-\sigma)H_0 = \frac{\omega}{\gamma}$$

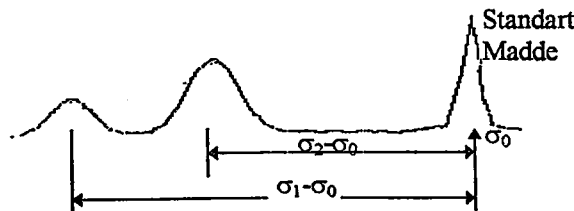
σ , hafif elektronlarda $\approx 10^{-5}$ olup 10^{-2} 'ye değin değişir. Örneğin alifatik etil alkoldeki -CH₃ ve aromatik toluendeki -CH₃ için farklı σ 'lar vardır.

Sıvılardaki Brown molekül hareketleri nedeniyle benzen halkası yön değiştirir ve bir σ_{ortalama} 'dan söz edilir. (Yalçiner'in Ders Notlarından Alınmıştır).

σ , incelenen maddenin ve σ_0 , standart maddenin maskeleye katsayısı olmak üzere δ kimyasal kayması = $\sigma - \sigma_0$ ya da

$$\delta = (\sigma - \sigma_0)10^6 \text{ ppm}$$

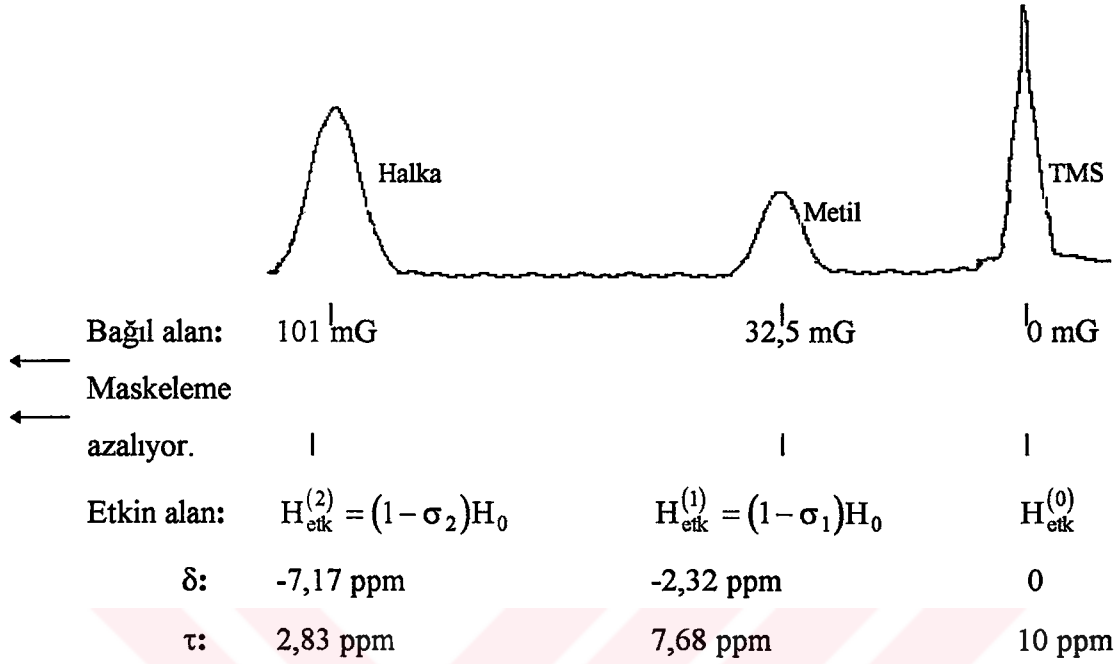
ile verilir. Burada ppm \equiv parts per million $\equiv 10^6$ demektir. $\sigma - \sigma_0$ çok küçük olduğundan 10^6 ile çarpılır ve ppm ile söylenir. Standart madde olarak, kimyasal tepkimelere girmeyen (inert) TMS, tetra metil silan (CH₃)₄Si kullanılır. Üstelik bu maddede proton çok olduğu için büyük ve kolayca tanınan bir sinyal verir. (Şekil 2.3).



Şekil 2.3. TMS standart maddesinin sinyali, kimyasal kaymayı göstermek için referanstır.

KAYNAK: Yalçiner'in Ders Notlarından Alınmıştır.

Çalışma frekansı 60 MHz olan ve ^1H rezonansı 14,09 kG'da çıkan bir spektrometre ile toluenin sinyali aşağıdaki gibidir.



$$H_{\text{etk}}^{(0)} = (1 - \sigma_0)H_0 \text{ 'dır.}$$

$$\delta^{(0)} = 0 \text{ seçilir.}$$

$$\delta^{(1)} = (\sigma_1 - \sigma_0) \cdot 10^6 \text{ ppm}$$

$$\delta^{(1)} = \frac{H_{\text{etk}}^{(0)} - H_{\text{etk}}^{(1)}}{H_0} \cdot 10^6 \text{ ppm}$$

[Sabit alan spektrometresinde]

$$= \frac{\omega^{(0)} - \omega^{(1)}}{\omega_0} \cdot 10^6 \text{ ppm}$$

$$= \frac{\gamma}{\omega_0} \cdot 10^6 \text{ ppm}$$

$$= \frac{\Delta\omega}{\omega_0} \cdot 10^6 \text{ ppm} = \frac{\Delta\nu}{\nu_0} \cdot 10^6 \text{ ppm} \quad [\text{Sabit frekans spektrometresinde}]$$

$\delta > 0$ ise $\sigma > \sigma_0$ 'dır. Ölçülen çekirdek grubu TMS'a bakarak daha kuvvetli maskelenmiş demektir.

Kimyacılar için τ ölçeği şöyle verilir:

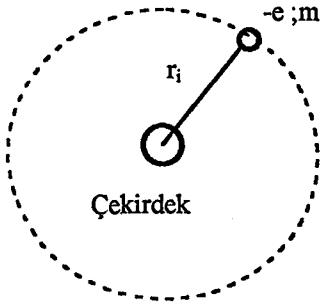
$$\tau = 10 - |\delta| \text{ ppm.}$$

Şimdi de kimyasal kaymayı ayrıntılı olarak inceleyelim.

Şekil 2.4'teki gibi bir atomun diamagnetik alınganlığı

$$\xi_D = -\frac{e^2}{6m} \sum_i \overline{r_i^2}$$

şeklinde verilir. İyi bilinen bir parametre olan χ hacimce alınganlıktır.



Şekil 2.4. Sembolik atom.

KAYNAK: Yalçiner'in Ders Notlarından Alınmıştır.

Öte yandan σ diamagnetik maskeleyesi

$$\sigma_D = \frac{e^2}{3m} \sum_i \left(\frac{1}{r_i^2} \right)$$

şeklinde elde edilir. Benzer şekilde paramagnetik alınganlık ξ_P ve paramagnetik maskeleye de σ_P ile gösterilebilir.

Bir molekül için hesaplanacak ξ_M , molekülü oluşturan atomlar için ξ_1, ξ_2, \dots değerleri hesaplanmışsa, Şekil 2.5'tekine benzer bağlar nedeniyle

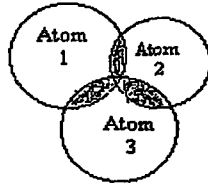
$$\xi_M < \xi_1 + \xi_2 + \dots$$

olmaktadır.

ξ_P ile ξ_D ve σ_P ile σ_D ters işaretlidirler.

Van Vleck'e göre : $\xi_M = \xi_D + \xi_P$

Ramsey'e göre : $\sigma_M = \sigma_D + \sigma_P$



Şekil 2.5. Taranmış kısımlar sembolik olarak bağları gösteriyor.

KAYNAK: Yalçiner'in Ders Notlarından Alınmıştır.

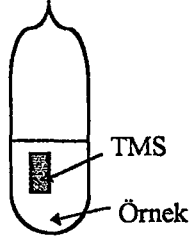
Pratikte referans olarak kullanılan madde çeşitli şekilde örneğe yerleştirilir.

- TMS, örnek içinde çözündürülür (normal, iç standart)
- TMS, örneğe kapiler içinde yerleştirilir (normal, dış standart)
- TMS yerine H_2O ya da H_6C_6 alınır (subnormal)

Dış standart iyi değildir ve bir düzeltme terimi gelir.

$$\delta = \delta_{\text{gözlenen}} + \frac{2\pi}{3}(\chi_0 - \chi)$$


χ_0 standart maddenin hacimce alınganlığı ve χ 'de ölçülen örneğin hacimce alınganlığıdır.



Şekil 2.6 Dış standart.

KAYNAK: Yalçiner'in Ders Notlarından Alınmıştır.

Bazı tipik moleküller için kimyasal kaymalar şöyledir:

<u>^1H rezonansı</u>	<u>δ (ppm)</u>	<u>^{11}B rezonansı</u>	<u>δ (ppm)</u>
TMS (iç standart)	0,00	$\text{B}(\text{OCH}_3)_3$	0
Sikloheksan	-1,43		
Metiliodür	-2,15	<u>^{13}C rezonansı</u>	<u>δ (ppm)</u>
Aseton	-2,17	CS_2 (standart)	0,0
Toluen ($-\text{CH}_3$)	-2,32	CH_3COOH	15,6
Dioksan	-3,70	Benzen	65
Su	-5,20	Metan (CH_4)	195,8
Bromoform	-6,85		
Toluen ($-\text{C}_6\text{H}_5$)	-7,17	<u>^{14}N rezonansında</u> NO_3^- standarttır.	
Benzen	-7,37	<u>^{17}O rezonansında</u> H_2O standarttır.	
<u>^{19}F rezonansı</u>	<u>δ (ppm)</u>	<u>^{27}Al rezonansında</u> $\text{AlCl}_3 \cdot 6\text{H}_2\text{O}$ standarttır.	
CF_3COOH (standart)	0,0		
$\text{C}_6\text{H}_5\text{F}$	36,6	<u>^{31}P rezonansı</u>	<u>δ (ppm)</u>
F_2 	61,5	H_3PO_4 (%85'lik çözelti)	0,0
H_2CFCF_3	-76,5	PBr_2	-227

<u>-X</u>	<u>orto -¹H'in δ'sı (ppm)</u>	
-H	0.00	(Benzen)
-NO ₂	-0,97	Bu substitüentler akseptör olup elektronları orto yerinden kendilerine çekerler.
-CHO	-0,73	
-CN	-0,30	
-CH ₃	0,10	Bu substitüentler donör olup elektronları orto yerine iterler.
-OCH ₃	0,23	
-OH	0,37	Böylece orto - ¹ H daha çok maskelenir.
-NH ₂	0,37	

¹³C rezonansı için de bir örnek verelim.

CH ₃ F	118 ppm
CH ₃ Cl	169 ppm
CH ₃ Br	184 ppm
CH ₃ I	216 ppm

C'un bulunduğu yerdeki elektron yoğunluğu CH₃F'de en az , CH₃I'da en çoktur.

¹⁹F rezonansı için şöyle bir şematik değer takımı verilebilir:

<u>Kovalent Bağ</u>		<u>İyon Bağ</u>
F ₂ (-507 ppm)	OF ₂ (-327 ppm)	NF ₃ (-219 ppm)
	CF ₄ (0 ppm)	BF ₃ (48 ppm)
	BeF ₂ (97 ppm)	HF(118 ppm)
ClF ₃ (-193 ppm)	PF ₃ (-43 ppm)	SiF ₄ (84 ppm)
BrF ₃ (-64 ppm)	AsF ₃ (-38 ppm)	GeF(99 ppm)
	SbF ₃ (-24 ppm)	
↑		↑
Paramagnetik	Sadece bağ nedeniyle büyük fark	Paramagnetik
kısım var.		kısım yok.

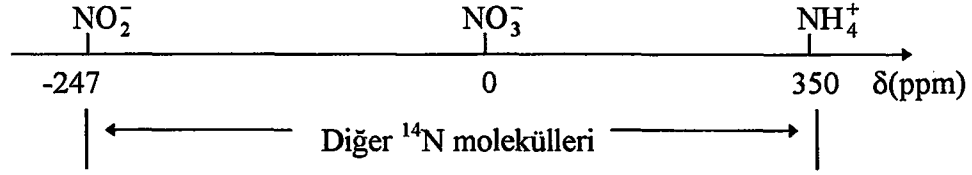
2.2.2. Kendi Atomundan İleri Gelen Paramagnetik Kısım (Bağlar)

Yukarıda ¹⁹F rezonansı için verilen tablo bu kesim için yeniden gözden geçirilmelidir. (Yalçiner'in Ders Notlarından Alınmıştır.)

¹¹B rezonansı için :

<u>Kovalent bağ</u>		<u>İyon bağ</u>
B(CH ₃) ₃	B(OCH ₃) ₃	BH ₄
-70	0	60
δ(ppm)		
← Diğer ¹¹ B molekülleri →		

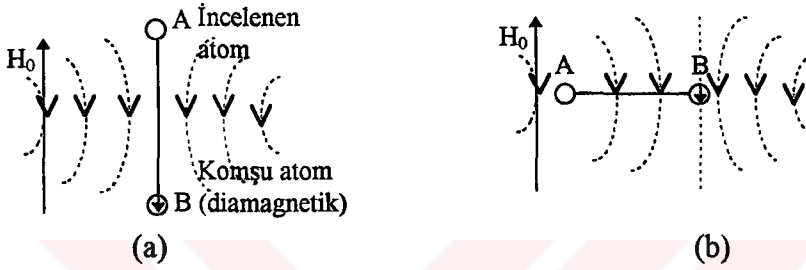
^{14}N rezonansı için :



2.2.3. Komşu Atomların Katkıları

A ile B' den oluşan bu dipol yerel magnetik alan oluşturur ve A' daki alan değişir.

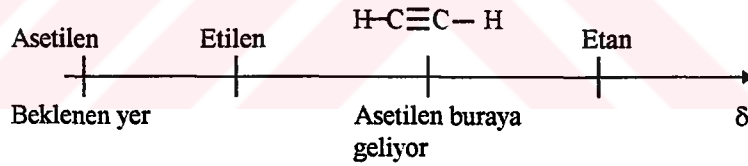
Yandaki örnek şekle göre alan zayıflar. (Yalçınar'ın Ders Notlarından Alınmıştır.).



Şekil 2.8. Komşu atomların diamagnetik katkıları.

KAYNAK: Yalçınar'ın Ders Notlarından Alınmıştır.

Asetilende protonlar beklenenden daha fazla maskelenirler.



2.2.4. Halka Akımları

Eğer halka H_0 'a dikse, halka içinde etkin alan H_0 ' dan küçüktür, dışında ise büyüktür. (Yalçınar'ın Ders Notlarından Alınmıştır.).

$$\omega = \frac{eH_0}{2m}$$

$$i = \frac{6e}{T} = \frac{6e\omega}{2\pi} = \frac{3e^2H_0}{2\pi m}$$

Burada T elektronun halkayı dolanma periyodudur. F halkanın alanı olmak üzere, i akımına eşlik eden magnetik moment şöyledir.

$$\mu = iF = \frac{3e^2H_0}{2\pi m} \pi R^2 = \frac{3e^2H_0R^2}{2m}$$

$$H_{\text{yereel}} = \frac{\langle \mu \rangle}{r^3} = \frac{\mu}{3r^3} = \frac{e^2 R^2 H_0}{2mr^3}$$

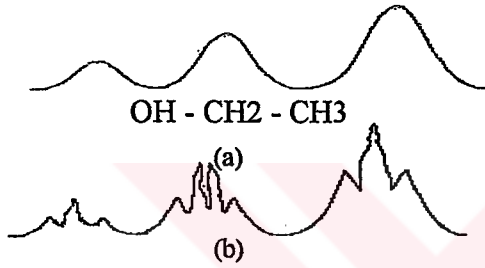
Maskeleme sabiti de:

$$\sigma = -\frac{H_{\text{yereel}}}{H_0} = -\frac{e^2 R^2}{2mr^3}$$

$$R = 1,4 \text{ \AA}, \quad r = 2,5 \text{ \AA}, \quad \sigma = -1,8 \cdot 10^{-6} \Rightarrow \Delta\delta = 1,8 \text{ ppm}$$

2.3. Dolaylı Spin-Spin Çiftlenmesi

Aynı moleküldeki farklı çekirdek magnetik momentlerinin çiftlenmesi aşırı ince yapıyı (HFS-Hyperfinestructure) verir.

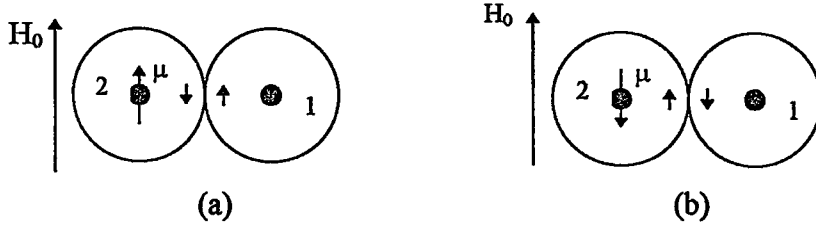


Şekil 2.9.(a)Etil alkolün ince yapısı ($^1H^1$ -rezonansı), (b) Etil alkolün aşırı ince yapısı ($^1H^1$ -rezonansı).

KAYNAK: Yalçiner'in Ders Notlarından Alınmıştır.

Enerji Hamiltoniyeninde bu çiftlenme, bir skaler etkileşme terimi $j h \vec{I}_1 \cdot \vec{I}_2$ terimi ile yer alır. Alana bağlı olmayan J 'nin birimi frekans olup Hz ile verilir.

Çekirdek rezonans spektrometrelerinin ayırım gücündeki gelişme sonucu, 1952'de ilk kez gözlenebilen dolaylı spin-spin çiftlenmesi molekül yapıları hakkında karar verebilmeyi sağlar. (Yalçiner'in Ders Notlarından Alınmıştır.).



Şekil 2.10. Komşu çekirdeğin dış magnetik alana etkisi.

KAYNAK: Yalçiner'in Ders Notlarından Alınmıştır.

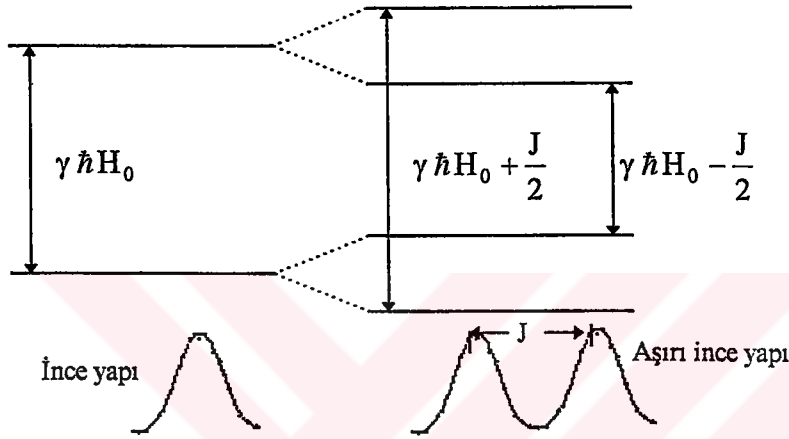
Sinyali ölçülen çekirdek 1 ile ve ona etki eden komşu çekirdekte 2 ile gösterilsin. (Şekil 2.10). 2'nin spini 1/2 ise, magnetik alanda iki farklı yönelme olasılığı vardır. 1 ve 2

çekirdekleri dolaysız olarak çiftlenmiyorlar; bağ elektronları aracılığı ile dolaylı olarak çiftleniyorlar.

(a) Bu durumda 1'in yerinde magnetik alan artar ve sinyal daha yüksek bir frekansta çıkar (Sabit dış magnetik alan için).

(b) Bu durumda 1'in yerinde magnetik alan azalır ve sinyal daha alçak bir frekansta çıkar (Sabit dış magnetik alan için).

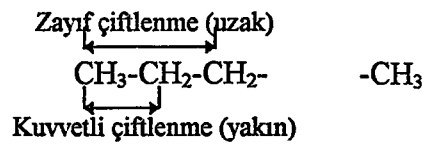
2'nin bu yönelmeleri için olasılıklar, Boltzmann dağılımına göre eşit sayılabilir. Böylece 1'in ince yapı sinyali şu şekle girer. (Şekil 2. 11).



Şekil 2.11. Komşu çekirdeğin ($I=1/2$) incelenen çekirdeğin sinyaline etkisi ($J=f$ (çevrenin elektron yoğunluğu)).

KAYNAK: Yalçın'ın Ders Notlarından Alınmıştır.

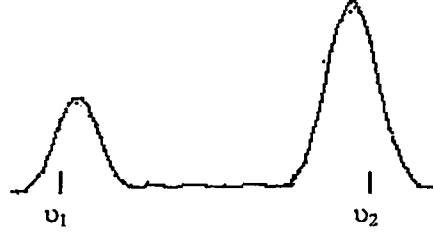
Çiftlenmenin şiddeti uzaklık arttıkça azalır.



Çeşitli çekirdekler için dolaylı spin-spin çiftlenme katsayıları şöyledir.

	<u>J (Hz)</u>		<u>J (Hz)</u>
H-H	0-25	F-F	0-160
B-H	20-180	F-H	600 (en çok)
B-F	15-100	P-H	10-700
$^{13}\text{C-H}$	120-250	P-F	1400'ün üstüne kadar
$^{14}\text{N-H}$	≈ 50		

ν_1 ve ν_2 farklı çekirdeklerin aynı dış magnetik alandaki rezonans frekansları ya da aynı cins çekirdeklerin kimyasal kaymasından ileri gelen farklı frekanslar olsun. (Şekil 2.12). Zayıf alanlarda bunlar birbirine yakın olurlar, ancak yine de



Şekil 2.12. İki farklı frekansta elde edilen NMR sinyali.

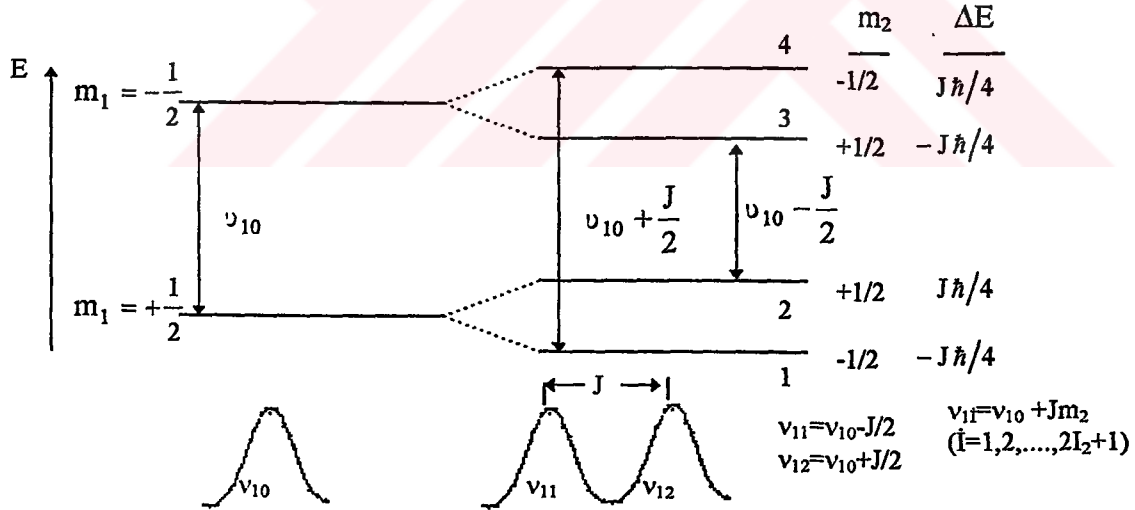
KAYNAK: Yalçiner'in Ders Notlarından Alınmıştır.

$$|\nu_1 - \nu_2| \gg J$$

koşulu sağlanabilir. Bu durumda $H' = Jh\vec{I}_1 \cdot \vec{I}_2$ terimi Hamiltoniyende bir pertürbasyon olarak ele alınabilir.

$$\Delta E = J h m_1 m_2 \quad \Rightarrow (\Delta E' \text{yi verir.})$$

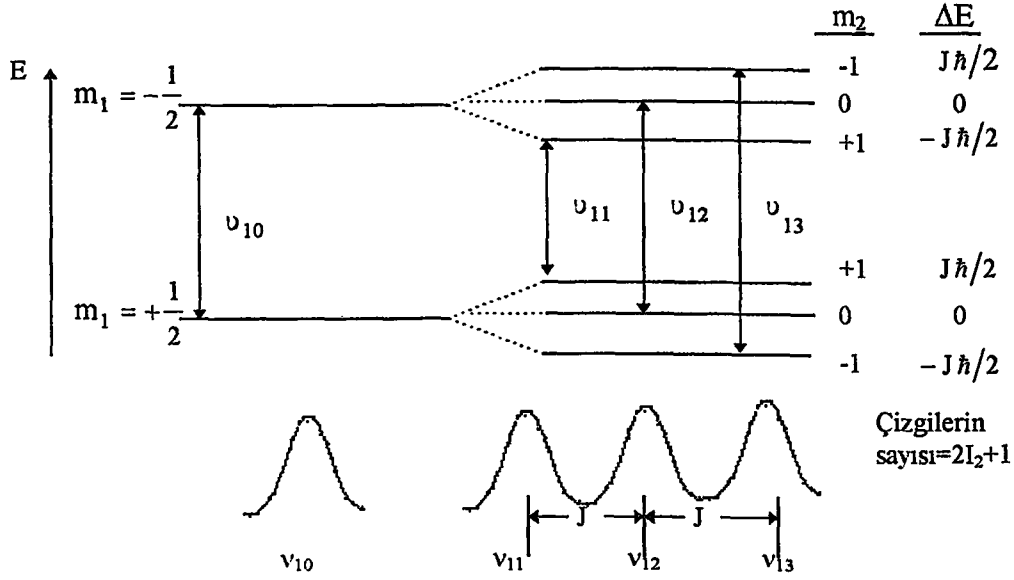
Böylece, $I_1=I_2=1/2$ ise (Bir tek komşu çekirdek için) Şekil 2.13'teki durum elde edilir.



Şekil 2.13. $I_1=I_2=1/2$ ise, bir tek komşu çekirdek bulunması halinde NMR sinyali.

KAYNAK: Yalçiner'in Ders Notlarından Alınmıştır.

$I_1=1/2, I_2=1$ ise (Bir tek komşu çekirdek için) Şekil 2.14'teki durum elde edilir.



Şekil 2.14. $I_1=1/2, I_2=1$ ise, bir tek komşu çekirdek bulunması halinde NMR sinyali.

KAYNAK: Yalçınar'ın Ders Notlarından Alınmıştır.

2.4. n Özdeş Çekirdek ile Çiftlenme

Özdeş komşu çekirdeklerin sayısı n olsun. Burada özdeş sözcüğü, iki çekirdek (ya da daha çok çekirdek) aralarında yer değiştirdiği zaman incelenen örneğin kimyasal yapısının aynı kaldığını ve sözü edilen çekirdeklerin aynı yerel alanı gördüğünü belirtiyor. 1 indisi incelenen, 2 indisi komşu çekirdekleri göstermek üzere, bu durumda pertürbasyon Hamiltoniyeni

$$H' = Jh\vec{I}_1 \cdot \sum \vec{I}_2$$

Komşu çekirdek spinlerinin her farklı düzenlemesi için pertürbasyon Hamiltoniyeni $\Delta E = Jhm_1 \sum I_{2z}$ verir.

Örnek olarak $\text{CH}_3\text{-CH}_2\text{-OH}$ (etil alkol)'ü ele alalım.

$-\text{CH}_3$ grubunun $^1\text{H}^1$ ince yapı sinyaline, komşusu $-\text{CH}_2$ 'nin dolaylı etkisini ve

CH_2 grubunun $^1\text{H}^1$ ince yapı sinyaline, komşusu $-\text{CH}_3$ 'ün dolaylı etkisini inceleyelim. (KAYNAK: Yalçınar'ın Ders Notlarından Alınmıştır.).

Öte yandan spini I_2 olan N özdeş komşu çekirdeğin spinleri $2nI_2+1$ farklı şekilde düzenlenebilirler.

3. MATERYAL VE YÖNTEM

3.1. AB₂ SİSTEMİ. Kuramda yer alan gösterimlere göre AB₂ sisteminde

$$P_A = 1 \quad i_A = 1/2 \quad I^A = \sum i_A = 1/2 \quad I_z^A = \mp 1/2$$

$$P_B = 2 \quad i_B = 1/2 \quad I^B = \sum i_B = 1; 0 \quad I_z^B = 1, 0, -1; 0 \text{ yazılabilir.}$$

AB₂ sisteminin dalga fonksiyonları hesaplanmış ve Çizelge 3.1'de verilmiştir.

Çizelge 3.1. AB₂ sistemin dalga fonksiyonları.

F_z	$I^A = 1/2, I^B = 1$	$I^A = 1/2, I^B = 0$
-3/2	$\varphi_6 = \left -\frac{1}{2}, -1 \right\rangle$	
-1/2	$\varphi_5 = \left -\frac{1}{2}, 0 \right\rangle$ $\varphi_4 = \left +\frac{1}{2}, -1 \right\rangle$	$\varphi_8 = \left -\frac{1}{2}, 0 \right\rangle$
+1/2	$\varphi_3 = \left -\frac{1}{2}, +1 \right\rangle$ $\varphi_2 = \left +\frac{1}{2}, 0 \right\rangle$	$\varphi_7 = \left +\frac{1}{2}, 0 \right\rangle$
+3/2	$\varphi_1 = \left +\frac{1}{2}, +1 \right\rangle$	

Aynı F_z , I^A ve I^B değerine sahip olan manifoldların ayrı ayrı matrisleri yazılarak özdeğer problemi çözülebilir. Bir manifoldta ait matris ve özdeğer işlemleri diğer manifoldlardan etkilenmez. Buna göre aşağıda AB₂ sisteminin her bir manifoldu için sırasıyla matris elemanları, özdeğerler ve enerji düzey şeması elde edilmiştir.

3.1.1. Matris Elemanları. Köşegen üzerindeki elemanlar

$$H^0 = -v_A I_z^A - v_B I_z^B + J I_z^A I_z^B \text{ Hamiltoniyeni ile } \langle \varphi_i | H^0 | \varphi_i \rangle \text{ ifadesine göre}$$

hesaplanır. Birinci manifold'ta bir dalga fonksiyonu vardır. Buna göre $\varphi_1 = \left| +1/2, +1 \right\rangle$ için

$$v_A - v_B = \delta \text{ olmak üzere}$$

$$\langle +1/2, +1 | H^0 | +1/2, +1 \rangle = -\frac{v_A}{2} - v_B + \frac{J}{2} = -\frac{3v_A + v_B}{2} + \frac{\delta}{4} + \frac{J}{2}$$

elde edilir. Benzer şekilde

İkinci manifold'ta iki dalga fonksiyonu vardır. Buna göre φ_2 ve φ_3 'ten oluşan 2×2 'lik matrisin köşegen elemanları

$$\langle +1/2, 0 | H^0 | +1/2, 0 \rangle = -\frac{v_A}{2} = -\frac{1}{2} \frac{v_A + v_B}{2} - \frac{\delta}{4}$$

$$\langle -1/2, +1 | H^0 | -1/2, +1 \rangle = \frac{v_A}{2} - v_B - \frac{J}{2} = -\frac{1}{2} \frac{v_A + v_B}{2} + \frac{3\delta}{4} - \frac{J}{2}$$

ve köşegen dışı elemanları ise

$$\langle \varphi_i | H' | \varphi_j \rangle$$

ifadesine göre

$$H' = \frac{J}{2} (I_+^A I_-^B + I_-^A I_+^B)$$

Hamiltoniyeni kullanarak

$$\langle \varphi_2 | H' | \varphi_3 \rangle = \langle +1/2, 0 | H' | -1/2, +1 \rangle = \frac{J}{2}$$

şeklinde elde edilir.

Üçüncü manifold'ta iki dalga fonksiyonu vardır. Buna göre φ_4 ve φ_5 'ten oluşan 2×2 'lik matrisin köşegen elemanları

$$\langle +1/2, -1 | H^0 | +1/2, -1 \rangle = -\frac{v_A}{2} + v_B - \frac{J}{2} = \frac{1}{2} \frac{v_A + v_B}{2} - \frac{3\delta}{4} - \frac{J}{2}$$

$$\langle -1/2, 0 | H^0 | -1/2, 0 \rangle = \frac{v_A}{2} = \frac{1}{2} \frac{v_A + v_B}{2} + \frac{\delta}{4}$$

$$\langle \varphi_4 | H' | \varphi_5 \rangle = \langle +1/2, -1 | H' | -1/2, 0 \rangle = \frac{J}{2}$$

Dördüncü manifold'ta bir dalga fonksiyonu φ_6 vardır.

$$\langle -1/2, -1 | H^0 | -1/2, -1 \rangle = \frac{v_A}{2} + v_B + \frac{J}{2} = \frac{3}{2} \frac{v_A + v_B}{2} - \frac{\delta}{4} + \frac{J}{2}$$

Beşinci manifold'ta bir dalga fonksiyonu φ_7 vardır.

$$\langle +1/2, 0 | H^0 | +1/2, 0 \rangle = -\frac{v_A}{2} = -\frac{1}{2} \frac{v_A + v_B}{2} - \frac{\delta}{4}$$

Altıncı manifold'ta bir dalga fonksiyonu φ_8 vardır.

$$\langle -1/2, 0 | H^0 | -1/2, 0 \rangle = \frac{v_A}{2} = \frac{1}{2} \frac{v_A + v_B}{2} + \frac{\delta}{4}$$

eşitlikleri elde edilir.

3.1.2. Özdeğerler. En az 2×2 'lik matrislerde özdeğerleri ve karıştırma katsayılarını elde etmek gerekir. İkinci manifold'ta φ_2 ve φ_3 karışırlar. Sekular determinant

$$\begin{vmatrix} -\frac{1}{2} \frac{v_A + v_B}{2} - \frac{\delta}{4} - E & \frac{J}{2} \\ \frac{J}{2} & -\frac{1}{2} \frac{v_A + v_B}{2} + \frac{3\delta}{4} - \frac{J}{2} - E \end{vmatrix} = 0$$

olup özdeğerler δ ve J 'ye değerler verilerek JACOBI programı ile bilgisayarda elde edilir.

Üçüncü manifold'ta φ_4 ve φ_5 karışırlar. Buna ait sekular determinant

$$\begin{vmatrix} \frac{1}{2} \frac{v_A + v_B}{2} - \frac{3\delta}{4} - \frac{J}{2} - E & \frac{J}{2} \\ \frac{J}{2} & \frac{1}{2} \frac{v_A + v_B}{2} + \frac{\delta}{4} - E \end{vmatrix} = 0$$

olup özdeğerler δ ve J 'ye değerler verilerek JACOBI programı ile bilgisayarda elde edilir.

3.1.3. Enerji Düzey Şeması

Sistemin tümü için E^0 değerleri ve bunların üzerine binmiş olarak hesaplanan özdeğerler Şekil 3.1'de manifoldlar gözetilerek verilmiştir.

F_2	E^0	$I^A = 1/2, I^B = 1$	$I^A = 1/2, I^B = 0$
$-3/2$	$\frac{3}{2} \frac{v_A + v_B}{2}$	$(-\delta + 2J)/4$ (6)	
$-1/2$	$\frac{1}{2} \frac{v_A + v_B}{2}$	$\frac{\delta}{4}$ (5) $(-3\delta - 2J)/4$ (4)	$\frac{\delta}{4}$ (8)
$+1/2$	$-\frac{1}{2} \frac{v_A + v_B}{2}$	$(3\delta - 2J)/4$ (3) $-\delta/4$ (2)	$-\delta/4$ (7)
$+3/2$	$-\frac{3}{2} \frac{v_A + v_B}{2}$	$(\delta + 2J)/4$ (1)	

Şekil 3.1. AB_2 sisteminin enerji düzey şeması.

3.2. A_2B_2 SİSTEMİ Kuramda yer alan gösterimlere göre A_2B_2 sisteminde

$$P_A = 2 \quad i_A = 1/2 \quad I^A = \sum i_A = 1; 0 \quad I_z^A = 1, 0, -1; 0$$

$$P_B = 2 \quad i_B = 1/2 \quad I^B = \sum i_B = 1; 0 \quad I_z^B = 1, 0, -1; 0 \text{ yazılabilir.}$$

A_2B_2 sisteminin dalga fonksiyonları hesaplanmış ve Çizelge 3.2'de verilmiştir.

Çizelge 3.2. A_2B_2 sistemin dalga fonksiyonları.

F_z	$I^A = 1, I^B = 1$	$I^A = 1, I^B = 0$	$I^A = 0, I^B = 1$	$I^A = 0, I^B = 0$
-2	$\varphi_9 = -1, -1\rangle$			
-1	$\varphi_8 = -1, 0\rangle$ $\varphi_7 = 0, -1\rangle$	$\varphi_{12} = -1, 0\rangle$	$\varphi_{15} = 0, -1\rangle$	
0	$\varphi_6 = -1, +1\rangle$ $\varphi_5 = 0, 0\rangle$ $\varphi_4 = +1, -1\rangle$	$\varphi_{11} = 0, 0\rangle$	$\varphi_{14} = 0, 0\rangle$	$\varphi_{16} = 0, 0\rangle$
+1	$\varphi_3 = 0, +1\rangle$ $\varphi_2 = +1, 0\rangle$	$\varphi_{10} = +1, 0\rangle$	$\varphi_{13} = 0, +1\rangle$	
+2	$\varphi_1 = +1, +1\rangle$			

Aynı F_z , I^A ve I^B değerine sahip olan manifoldların ayrı ayrı matrisleri yazılarak özdeğer problemi çözülebilir. Bir manifolda ait matris ve özdeğer işlemleri diğer manifoldlardan etkilenmez. Buna göre aşağıda A_2B_2 sisteminin her bir manifoldu için sırasıyla matris elemanları, özdeğerler ve enerji düzey şeması elde edilmiştir.

3.2.1. Matris Elemanları. Köşegen üzerindeki elemanlar

$H^0 = -v_A I_z^A - v_B I_z^B + J I_z^A I_z^B$ Hamiltoniyeni ile $\langle \varphi_i | \mathcal{H}^0 | \varphi_i \rangle$ ifadesine göre hesaplanır.

Birinci manifold'ta bir dalga fonksiyonu vardır. Buna göre: $\varphi_1 = |+1, +1\rangle$ için

$$v_A - v_B = \delta$$

olmak üzere

$$\langle +1, +1 | \mathcal{H}^0 | +1, +1 \rangle = -v_A - v_B + J = -(v_A + v_B) + J$$

elde edilir. Benzer şekilde

İkinci manifold'ta iki dalga fonksiyonu vardır. Buna göre φ_2 ve φ_3 'ten oluşan 2×2 'lik matrisin köşegen elemanları

$$\langle +1, 0 | \mathcal{H}^0 | +1, 0 \rangle = -v_A = -\frac{(v_A + v_B)}{2} - \frac{\delta}{2}$$

$$\langle 0, +1 | \mathcal{H}^0 | 0, +1 \rangle = -v_B = -\frac{(v_A + v_B)}{2} + \frac{\delta}{2}$$

ve köşegen dışı elemanları ise

$$\langle \varphi_i | \mathcal{H}' | \varphi_j \rangle$$

ifadesine göre

$$\mathcal{H}' = \frac{J}{2} (I_+^A I_-^B + I_-^A I_+^B)$$

Hamiltoniyeni kullanılarak

$$\langle \varphi_2 | \mathcal{H}' | \varphi_3 \rangle = \langle +1, 0 | \mathcal{H}' | 0, +1 \rangle = \frac{J}{2}$$

şeklinde elde edilir.

Üçüncü manifold'ta üç dalga fonksiyonu vardır. Buna göre φ_4 , φ_5 ve φ_6 'dan oluşan 3×3 'lük matrisin köşegen elemanları

$$\langle +1, -1 | \mathcal{H}^0 | +1, -1 \rangle = -v_A + v_B - J = -\delta - J$$

$$\langle 0, 0 | \mathcal{H}^0 | 0, 0 \rangle = 0$$

$$\langle -1, +1 | \mathcal{H}^0 | -1, +1 \rangle = v_A - v_B - J = \delta - J$$

köşegen dışı elemanları ise

$$\langle \varphi_4 | \mathcal{H}' | \varphi_5 \rangle = \langle +1, -1 | \mathcal{H}' | 0, 0 \rangle = \frac{J}{2}$$

$$\langle \varphi_4 | \mathcal{H}' | \varphi_6 \rangle = \langle +1, -1 | \mathcal{H}' | -1, +1 \rangle = 0$$

$$\langle \varphi_5 | \mathcal{H}' | \varphi_6 \rangle = \langle 0, 0 | \mathcal{H}' | -1, +1 \rangle = \frac{J}{2}$$

şeklinde elde edilir.

Dördüncü manifold'ta iki dalga fonksiyonu vardır. Buna göre φ_7 ve φ_8 'den oluşan

2×2 'lik matrisin köşegen elemanları

$$\langle 0, -1 | \mathcal{H}^0 | 0, -1 \rangle = v_B = \frac{(v_A + v_B)}{2} - \frac{\delta}{2}$$

$$\langle -1, 0 | \mathcal{H}^0 | -1, 0 \rangle = v_A = \frac{(v_A + v_B)}{2} + \frac{\delta}{2}$$

köşegen dışı elemanları ise

$$\langle \varphi_7 | \mathcal{H} | \varphi_8 \rangle = \langle 0, -1 | \mathcal{H} | -1, 0 \rangle = \frac{J}{2}$$

Beşinci manifold'ta bir dalga fonksiyonu φ_9 vardır.

$$\langle -1, -1 | \mathcal{H}^0 | -1, -1 \rangle = (v_A + v_B) + J$$

Altıncı manifold'ta bir dalga fonksiyonu φ_{10} vardır.

$$\langle +1, 0 | \mathcal{H}^0 | +1, 0 \rangle = -v_A = -\frac{(v_A + v_B)}{2} - \frac{\delta}{2}$$

Yedinci manifold'ta bir dalga fonksiyonu φ_{11} vardır.

$$\langle 0, 0 | \mathcal{H}^0 | 0, 0 \rangle = 0$$

Sekizinci manifold'ta bir dalga fonksiyonu φ_{12} vardır.

$$\langle -1, 0 | \mathcal{H}^0 | -1, 0 \rangle = v_A = \frac{(v_A + v_B)}{2} + \frac{\delta}{2}$$

Dokuzuncu manifold'ta bir dalga fonksiyonu φ_{13} vardır.

$$\langle 0, +1 | \mathcal{H}^0 | 0, +1 \rangle = -v_B = -\frac{(v_A + v_B)}{2} + \frac{\delta}{2}$$

Onuncu manifold'ta bir dalga fonksiyonu φ_{14} vardır.

$$\langle 0, 0 | \mathcal{H}^0 | 0, 0 \rangle = 0$$

Onbirinci manifold'ta bir dalga fonksiyonu φ_{15} vardır.

$$\langle 0, -1 | \mathcal{H}^0 | 0, -1 \rangle = v_B = \frac{(v_A + v_B)}{2} - \frac{\delta}{2}$$

Onikinci manifold'ta bir dalga fonksiyonu φ_{16} vardır.

$$\langle 0, 0 | \mathcal{H}^0 | 0, 0 \rangle = 0$$

eşitlikleri elde edilir.

3.2.2. Özdeğerler. En az 2×2 'lik matrislerde özdeğerleri ve karıştırma katsayılarını elde etmek gerekir. İkinci manifold'ta φ_2 ve φ_3 karışırlar. Sekular determinant

$$\begin{vmatrix} -\frac{v_A + v_B}{2} - \frac{\delta}{2} - E & \frac{J}{2} \\ \frac{J}{2} & -\frac{v_A + v_B}{2} + \frac{\delta}{2} - E \end{vmatrix} = 0$$

olup özdeğerler δ ve J 'ye değerler verilerek JACOBI programı ile bilgisayarda elde edilir.

Üçüncü manifold'ta φ_4, φ_5 ve φ_6 karışırlar. Buna ait sekular determinant

$$\begin{vmatrix} -\delta - J - E & \frac{J}{2} & 0 \\ \frac{J}{2} & -E & \frac{J}{2} \\ 0 & \frac{J}{2} & \delta - J - E \end{vmatrix} = 0$$

olup özdeğerler δ ve J 'ye değerler verilerek JACOBI programı ile bilgisayarda elde edilir.

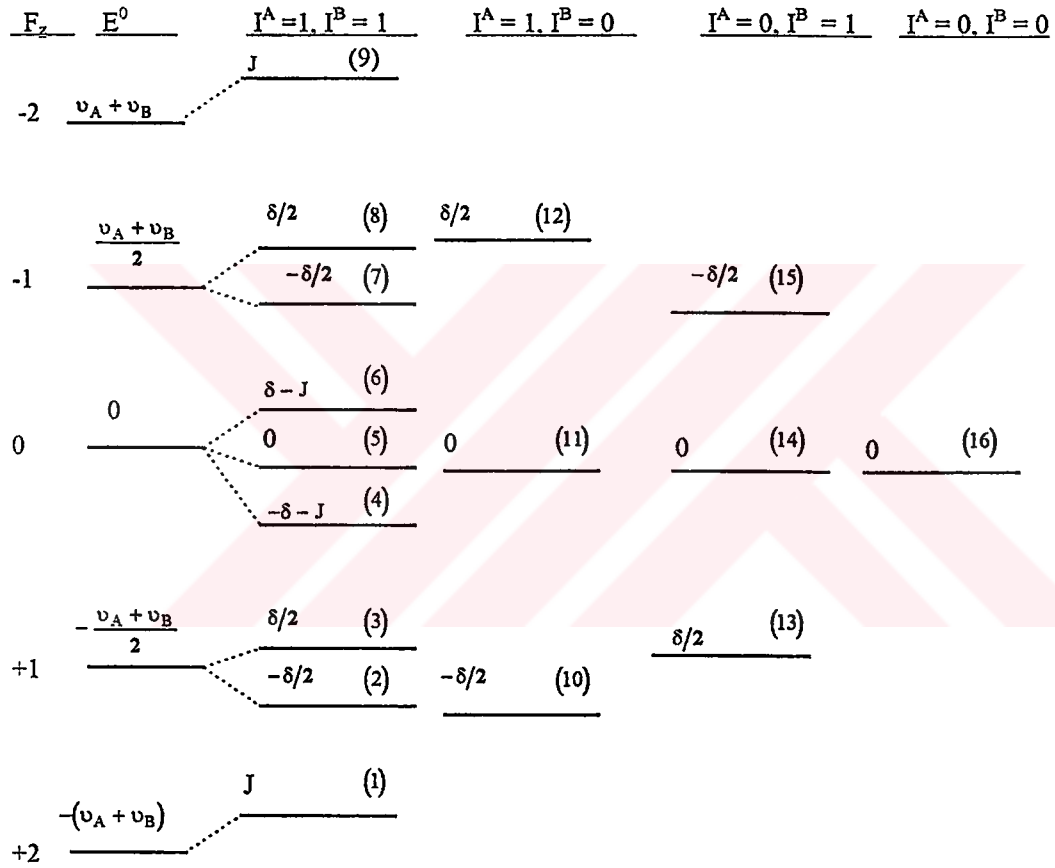
Dördüncü manifold'ta φ_7 ve φ_8 karışırlar. Buna ait sekular determinant

$$\begin{vmatrix} \frac{v_A + v_B}{2} - \frac{\delta}{2} - E & \frac{J}{2} \\ \frac{J}{2} & \frac{v_A + v_B}{2} + \frac{\delta}{2} - E \end{vmatrix} = 0$$

olup özdeğerler δ ve J 'ye değerler verilerek JACOBI programı ile bilgisayarda elde edilir.

3.2.3. Enerji Düzey Şeması

Sistemin tümü için E^0 değerleri ve bunların üzerine binmiş olarak hesaplanan özdeğerler Şekil 3.2'de manifoldlar gözetilerek verilmiştir.



Şekil 3.2. A_2B_2 Sisteminin enerji düzey şeması.

3.3. A_2B_3 SİSTEMİ. Kuramda yer alan gösterimlere göre A_2B_3 sisteminde

$$P_A = 2 \quad i_A = 1/2 \quad I^A = \sum i_A = 1; 0 \quad I_z^A = 1, 0, -1; 0$$

$$P_B = 3 \quad i_B = 1/2 \quad I^B = \sum i_B = 3/2; 1/2 \quad I_z^B = 3/2, 1/2, -1/2, -3/2; 1/2, -1/2$$

yazılabilir.

A_2B_3 sisteminin dalga fonksiyonları hesaplanmış ve Çizelge 3.3'te verilmiştir.

Çizelge 3.3. A_2B_3 sistemin dalga fonksiyonları.

F_z	$I^A = 1, I^B = 3/2$	$I^A = 1, I^B = 1/2$	$I^A = 0, I^B = 3/2$	$I^A = 0, I^B = 1/2$
-5/2	$\varphi_{12} = -1, -3/2\rangle$			
-3/2	$\varphi_{11} = -1, -1/2\rangle$ $\varphi_{10} = 0, -3/2\rangle$	$\varphi_{18} = -1, -1/2\rangle$	$\varphi_{22} = 0, -3/2\rangle$	
-1/2	$\varphi_9 = -1, +1/2\rangle$ $\varphi_8 = 0, -1/2\rangle$ $\varphi_7 = +1, -3/2\rangle$	$\varphi_{17} = -1, +1/2\rangle$ $\varphi_{16} = 0, -1/2\rangle$	$\varphi_{21} = 0, -1/2\rangle$	$\varphi_{24} = 0, -1/2\rangle$
+1/2	$\varphi_6 = -1, +3/2\rangle$ $\varphi_5 = 0, +1/2\rangle$ $\varphi_4 = +1, -1/2\rangle$	$\varphi_{15} = 0, +1/2\rangle$ $\varphi_{14} = +1, -1/2\rangle$	$\varphi_{20} = 0, +1/2\rangle$	$\varphi_{23} = 0, +1/2\rangle$
+3/2	$\varphi_3 = 0, +3/2\rangle$ $\varphi_2 = +1, +1/2\rangle$	$\varphi_{13} = +1, +1/2\rangle$	$\varphi_{19} = 0, +3/2\rangle$	
+5/2	$\varphi_1 = +1, +3/2\rangle$			

Aynı F_z , I^A ve I^B değerine sahip olan manifoldların ayrı ayrı matrisleri yazılarak özdeğer problemi çözülebilir. Bir manifolda ait matris ve özdeğer işlemleri diğer manifoldlardan etkilenmez. Buna göre aşağıda A_2B_3 sisteminin her bir manifoldu için sırasıyla matris elemanları, özdeğerler ve enerji düzey şeması elde edilmiştir.

3.3.1. Matris Elemanları. Köşegen üzerindeki elemanlar

$H^0 = -v_A I_z^A - v_B I_z^B + J I_z^A \cdot I_z^B$ Hamiltoniyeni ile $\langle \varphi_i | H^0 | \varphi_i \rangle$ ifadesine göre hesaplanır.

Birinci manifold'ta bir dalga fonksiyonu vardır. Buna göre $\varphi_1 = | +1, 3/2 \rangle$ için

$$v_A - v_B = \delta$$

olmak üzere

$$\langle +1, +3/2 | H^0 | +1, +3/2 \rangle = -v_A - \frac{3v_B}{2} + \frac{3J}{2} = -\frac{5v_A + v_B}{2} + \frac{\delta}{4} + \frac{3J}{2}$$

elde edilir. Benzer şekilde

İkinci manifold'ta iki dalga fonksiyonu vardır. Buna göre φ_2 ve φ_3 'ten oluşan 2×2 'lik matrisin köşegen elemanları

$$\langle +1, +1/2 | H^0 | +1, +1/2 \rangle = -v_A - \frac{v_B}{2} + \frac{J}{2} = -\frac{3v_A + v_B}{2} - \frac{\delta}{4} + \frac{J}{2}$$

$$\langle 0, +3/2 | H^0 | 0, +3/2 \rangle = -\frac{3v_B}{2} = -\frac{3v_A + v_B}{2} + \frac{3\delta}{4}$$

ve köşegen dışı elemanı ise

$$\langle \varphi_i | H^0 | \varphi_j \rangle$$

ifadesine göre

$$H^0 = \frac{J}{2} (I_+^A I_-^B + I_-^A I_+^B)$$

Hamiltoniyeni kullanarak

$$\langle \varphi_2 | H^0 | \varphi_3 \rangle = \langle +1, +1/2 | H^0 | 0, +3/2 \rangle = \frac{J}{2}$$

şeklinde elde edilir.

Üçüncü manifold'ta üç dalga fonksiyonu vardır. Buna göre φ_4 , φ_5 ve φ_6 'dan oluşan 3×3 'lük matrisin köşegen elemanları

$$\langle +1, -1/2 | H^0 | +1, -1/2 \rangle = -v_A + \frac{v_B}{2} - \frac{J}{2} = -\frac{1v_A + v_B}{2} - \frac{3\delta}{4} - \frac{J}{2}$$

$$\langle 0, +1/2 | H^0 | 0, +1/2 \rangle = -\frac{v_B}{2} = -\frac{1v_A + v_B}{2} + \frac{\delta}{4}$$

$$\langle -1, +3/2 | H^0 | -1, +3/2 \rangle = v_A - \frac{3v_B}{2} - \frac{3J}{2} = -\frac{1v_A + v_B}{2} + \frac{5\delta}{4} - \frac{3J}{2}$$

ve köşegen dışı elemanları ise

$$\langle \varphi_4 | H' | \varphi_5 \rangle = \langle +1, -1/2 | H' | 0, +1/2 \rangle = \frac{J}{2}$$

$$\langle \varphi_5 | H' | \varphi_6 \rangle = \langle 0, +1/2 | H' | -1, +3/2 \rangle = \frac{J}{2}$$

$$\langle \varphi_4 | H' | \varphi_6 \rangle = \langle +1, -1/2 | H' | -1, +3/2 \rangle = 0$$

şeklinde elde edilir.

Dördüncü manifold'ta üç dalga fonksiyonu vardır. Buna göre φ_7 , φ_8 ve φ_9 'den oluşan 3×3 'lük matrisin köşegen elemanları

$$\langle +1, -3/2 | H^0 | +1, -3/2 \rangle = -v_A + \frac{3v_B}{2} - \frac{3J}{2} = \frac{1}{2} \frac{v_A + v_B}{2} - \frac{5\delta}{4} - \frac{3J}{2}$$

$$\langle 0, -1/2 | H^0 | 0, -1/2 \rangle = +\frac{v_B}{2} = \frac{1}{2} \frac{v_A + v_B}{2} - \frac{\delta}{4}$$

$$\langle -1, +1/2 | H^0 | -1, +1/2 \rangle = v_A - \frac{v_B}{2} - \frac{J}{2} = \frac{1}{2} \frac{v_A + v_B}{2} + \frac{3\delta}{4} - \frac{J}{2}$$

ve köşegen dışı elemanları ise

$$\langle \varphi_7 | H' | \varphi_8 \rangle = \langle +1, -3/2 | H' | 0, -1/2 \rangle = \frac{J}{2}$$

$$\langle \varphi_7 | H' | \varphi_9 \rangle = \langle +1, -3/2 | H' | -1, +1/2 \rangle = 0$$

$$\langle \varphi_8 | H' | \varphi_9 \rangle = \langle 0, -1/2 | H' | -1, +1/2 \rangle = \frac{J}{2}$$

şeklinde elde edilir.

Beşinci manifold'ta iki dalga fonksiyonu vardır. Buna göre φ_{10} ve φ_{11} 'den oluşan 2×2 'lik matrisin köşegen elemanları

$$\langle 0, -3/2 | H^0 | 0, -3/2 \rangle = +\frac{3v_B}{2} = \frac{3}{2} \frac{v_A + v_B}{2} - \frac{3\delta}{4}$$

$$\langle -1, -1/2 | H^0 | -1, -1/2 \rangle = v_A + \frac{v_B}{2} + \frac{J}{2} = \frac{3}{2} \frac{v_A + v_B}{2} + \frac{\delta}{4} + \frac{J}{2}$$

ve köşegen dışı elemanı ise

$$\langle \varphi_{10} | H' | \varphi_{11} \rangle = \langle 0, -3/2 | H' | -1, -1/2 \rangle = \frac{J}{2}$$

şeklinde elde edilir.

Altıncı manifold'ta bir dalga fonksiyonu φ_{12} vardır.

$$\langle -1, -3/2 | H^0 | -1, -3/2 \rangle = v_A + \frac{3v_B}{2} + \frac{3J}{2} = \frac{5}{2} \frac{v_A + v_B}{2} - \frac{\delta}{4} + \frac{3J}{2}$$

Yedinci manifold'ta bir dalga fonksiyonu φ_{13} vardır.

$$\langle +1, +1/2 | H^0 | +1, +1/2 \rangle = -v_A - \frac{v_B}{2} + \frac{J}{2} = -\frac{3}{2} \frac{v_A + v_B}{2} - \frac{\delta}{4} + \frac{J}{2}$$

Sekizinci manifold'ta iki dalga fonksiyonu vardır. Buna göre φ_{14} ve φ_{15} 'den oluşan 2×2 'lik matrisin köşegen elemanları

$$\langle +1, -1/2 | H^0 | +1, -1/2 \rangle = -v_A + \frac{v_B}{2} - \frac{J}{2} = -\frac{1}{2} \frac{v_A + v_B}{2} - \frac{3\delta}{4} - \frac{J}{2}$$

$$\langle 0, +1/2 | H^0 | 0, +1/2 \rangle = -\frac{v_B}{2} = -\frac{1}{2} \frac{v_A + v_B}{2} + \frac{\delta}{4}$$

ve köşegen dışı elemanı ise

$$\langle \varphi_{14} | H' | \varphi_{15} \rangle = \langle +1, -1/2 | H' | 0, +1/2 \rangle = \frac{J}{2}$$

şeklinde elde edilir.

Dokuzuncu manifold'ta iki dalga fonksiyonu vardır. Buna göre φ_{16} ve φ_{17} 'den oluşan 2×2 'lik matrisin köşegen elemanları

$$\langle 0, -1/2 | H^0 | 0, -1/2 \rangle = +\frac{v_B}{2} = \frac{1}{2} \frac{v_A + v_B}{2} - \frac{\delta}{4}$$

$$\langle -1, +1/2 | H^0 | -1, +1/2 \rangle = v_A - \frac{v_B}{2} - \frac{J}{2} = \frac{1}{2} \frac{v_A + v_B}{2} + \frac{3\delta}{4} - \frac{J}{2}$$

ve köşegen dışı elemanı ise

$$\langle \varphi_{16} | H' | \varphi_{17} \rangle = \langle 0, -1/2 | H' | -1, +1/2 \rangle = \frac{J}{2}$$

şeklinde elde edilir.

Onuncu manifold'ta bir dalga fonksiyonu φ_{18} vardır.

$$\langle -1, -1/2 | H^0 | -1, -1/2 \rangle = v_A + \frac{v_B}{2} + \frac{J}{2} = \frac{3}{2} \frac{v_A + v_B}{2} + \frac{\delta}{4} + \frac{J}{2}$$

Onbirinci manifold'ta bir dalga fonksiyonu φ_{19} vardır.

$$\langle 0, +3/2 | H^0 | 0, +3/2 \rangle = -\frac{3v_B}{2} = -\frac{3}{2} \frac{v_A + v_B}{2} + \frac{3\delta}{4}$$

Onikinci manifold'ta bir dalga fonksiyonu φ_{20} vardır.

$$\langle 0, +1/2 | H^0 | 0, +1/2 \rangle = -\frac{\nu_B}{2} = -\frac{1}{2} \frac{\nu_A + \nu_B}{2} + \frac{\delta}{4}$$

Onüçüncü manifold'ta bir dalga fonksiyonu φ_{21} vardır.

$$\langle 0, -1/2 | H^0 | 0, -1/2 \rangle = +\frac{\nu_B}{2} = \frac{1}{2} \frac{\nu_A + \nu_B}{2} - \frac{\delta}{4}$$

Ondördüncü manifold'ta bir dalga fonksiyonu φ_{22} vardır.

$$\langle 0, -3/2 | H^0 | 0, -3/2 \rangle = +\frac{3\nu_B}{2} = \frac{3}{2} \frac{\nu_A + \nu_B}{2} - \frac{3\delta}{4}$$

Onbeşinci manifold'ta bir dalga fonksiyonu φ_{23} vardır.

$$\langle 0, +1/2 | H^0 | 0, +1/2 \rangle = -\frac{\nu_B}{2} = -\frac{1}{2} \frac{\nu_A + \nu_B}{2} + \frac{\delta}{4}$$

Onaltıncı manifold'ta bir dalga fonksiyonu φ_{24} vardır.

$$\langle 0, -1/2 | H^0 | 0, -1/2 \rangle = +\frac{\nu_B}{2} = \frac{1}{2} \frac{\nu_A + \nu_B}{2} - \frac{\delta}{4}$$

eşitlikleri elde edilir.

3.3.2. Özdeğerler. En az 2×2 'lik matrislerde özdeğerleri ve karıştırma katsayılarını elde etmek gerekir. İkinci manifold'ta φ_2 ve φ_3 karışırlar. Sekular determinant

$$\begin{vmatrix} -\frac{3}{2} \frac{\nu_A + \nu_B}{2} - \frac{\delta}{4} + \frac{J}{2} - E & \frac{J}{2} \\ \frac{J}{2} & -\frac{3}{2} \frac{\nu_A + \nu_B}{2} + \frac{3\delta}{4} - E \end{vmatrix} = 0$$

olup özdeğerler δ ve J 'ye değerler verilerek JACOBI programı ile bilgisayarda elde edilir.

Üçüncü manifold'ta φ_4, φ_5 ve φ_6 karışırlar. Buna ait sekular determinant

$$\begin{vmatrix} \frac{1}{2} \frac{\nu_A + \nu_B}{2} - \frac{3\delta}{4} - \frac{J}{2} - E & \frac{J}{2} & 0 \\ \frac{J}{2} & -\frac{1}{2} \frac{\nu_A + \nu_B}{2} + \frac{\delta}{4} - E & \frac{J}{2} \\ 0 & \frac{J}{2} & -\frac{1}{2} \frac{\nu_A + \nu_B}{2} + \frac{5\delta}{4} - \frac{3J}{2} - E \end{vmatrix} = 0$$

olup özdeğerler δ ve J 'ye değerler verilerek JACOBI programı ile bilgisayarda elde edilir.

Dördüncü manifold'ta φ_7 , φ_8 ve φ_9 karışır. Buna ait sekular determinant

$$\begin{vmatrix} \frac{1}{2} \frac{v_A + v_B}{2} - \frac{5\delta}{4} - \frac{3J}{2} - E & \frac{J}{2} & 0 \\ \frac{J}{2} & \frac{1}{2} \frac{v_A + v_B}{2} - \frac{\delta}{4} - E & \frac{J}{2} \\ 0 & \frac{J}{2} & \frac{1}{2} \frac{v_A + v_B}{2} + \frac{3\delta}{4} - \frac{J}{2} - E \end{vmatrix} = 0$$

olup özdeğerler δ ve J 'ye değerler verilerek JACOBI programı ile bilgisayarda elde edilir.

Beşinci manifold'ta φ_{10} ve φ_{11} karışır. Buna ait sekular determinant

$$\begin{vmatrix} \frac{3}{2} \frac{v_A + v_B}{2} - \frac{3\delta}{4} - E & \frac{J}{2} \\ \frac{J}{2} & \frac{3}{2} \frac{v_A + v_B}{2} + \frac{\delta}{4} + \frac{J}{2} - E \end{vmatrix} = 0$$

olup özdeğerler δ ve J 'ye değerler verilerek JACOBI programı ile bilgisayarda elde edilir.

Sekizinci manifold'ta φ_{14} ve φ_{15} karışır. Buna ait sekular determinant

$$\begin{vmatrix} \frac{1}{2} \frac{v_A + v_B}{2} - \frac{3\delta}{4} - \frac{J}{2} - E & \frac{J}{2} \\ \frac{J}{2} & -\frac{1}{2} \frac{v_A + v_B}{2} + \frac{\delta}{4} - E \end{vmatrix} = 0$$

olup özdeğerler δ ve J 'ye değerler verilerek JACOBI programı ile bilgisayarda elde edilir.

Dokuzuncu manifold'ta φ_{16} ve φ_{17} karışır. Buna ait sekular determinant

$$\begin{vmatrix} \frac{1}{2} \frac{v_A + v_B}{2} - \frac{\delta}{4} - E & \frac{J}{2} \\ \frac{J}{2} & \frac{1}{2} \frac{v_A + v_B}{2} + \frac{3\delta}{4} - \frac{J}{2} - E \end{vmatrix} = 0$$

olup özdeğerler δ ve J 'ye değerler verilerek JACOBI programı ile bilgisayarda elde edilir.

3.3.3. Enerji Düzey Şeması

Sistemin tümü için E^0 değerleri ve bunların üzerine binmiş olarak hesaplanan özdeğerler Şekil 3.3'de manifoldlar gözetilerek verilmiştir.

$$\begin{array}{l}
 \underline{E_z} \quad \underline{E^0} \quad \underline{I^A = 1, I^B = 3/2} \quad \underline{I^A = 1, I^B = 1/2} \quad \underline{I^A = 0, I^B = 3/2} \quad \underline{I^A = 0, I^B = 1/2} \\
 -5/2 \quad \frac{5 v_A + v_B}{2 \quad 2} \quad \underline{(-\delta + 6J)/4} \quad (12) \\
 \\
 -3/2 \quad \frac{3 v_A + v_B}{2 \quad 2} \quad \underline{(\delta + 2J)/4} \quad (11) \quad \underline{(\delta + 2J)/4} \quad (18) \\
 \quad \quad \quad \underline{-3\delta/4} \quad (10) \quad \quad \quad \underline{-3\delta/4} \quad (22) \\
 \\
 -1/2 \quad \frac{1 v_A + v_B}{2 \quad 2} \quad \underline{(3\delta - 2J)/4} \quad (9) \quad \underline{(3\delta - 2J)/4} \quad (17) \\
 \quad \quad \quad \underline{-\delta/4} \quad (8) \quad \underline{-\delta/4} \quad (16) \quad \underline{-\delta/4} \quad (21) \quad \underline{-\delta/4} \quad (24) \\
 \quad \quad \quad \underline{(-5\delta - 6J)/4} \quad (7) \\
 \\
 +1/2 \quad \frac{1 v_A + v_B}{2 \quad 2} \quad \underline{(5\delta - 6J)/4} \quad (6) \\
 \quad \quad \quad \underline{\delta/4} \quad (5) \quad \underline{\delta/4} \quad (15) \quad \underline{\delta/4} \quad (20) \quad \underline{\delta/4} \quad (23) \\
 \quad \quad \quad \underline{(-3\delta - 2J)/4} \quad (4) \quad \underline{(-3\delta - 2J)/4} \quad (14) \\
 \\
 +3/2 \quad \frac{3 v_A + v_B}{2 \quad 2} \quad \underline{3\delta/4} \quad (3) \quad \quad \quad \underline{3\delta/4} \quad (19) \\
 \quad \quad \quad \underline{(-\delta + 2J)/4} \quad (2) \quad \quad \quad \underline{(-\delta + 2J)/4} \quad (13) \\
 \\
 +5/2 \quad \frac{5 v_A + v_B}{2 \quad 2} \quad \underline{(\delta + 6J)/4} \quad (1)
 \end{array}$$

Şekil 3.3. A_2B_3 Sisteminin enerji düzey şeması.

3.4. ABC VE ANX SİSTEMLERİ.

ANX Sistemi: Kimyasal kaymaları oldukça farklı üç çekirdek durumuna karşı gelir. Sistemi niteleyen enerji Hamiltoniyeni (2. 15) bağıntısının ilk iki teriminde N=3 alınarak bulunur.

$$H = -\omega_A I_Z^A - \omega_N I_Z^N - \omega_X I_Z^X + J_{AN} I_Z^A I_Z^N + J_{AX} I_Z^A I_Z^X + J_{NX} I_Z^N I_Z^X \\ + \frac{1}{2} [J_{AN} (I_+^A I_-^N + I_-^A I_+^N) + J_{AX} (I_+^A I_-^X + I_-^A I_+^X) + J_{NX} (I_+^N I_-^X + I_-^N I_+^X)]$$

ABC Sistemi: Sistemi niteleyen Enerji Hamiltoniyeni (2. 15) bağıntısında N=3 alınarak bulunur. Bu Hamiltoniyen yapısal olarak ANX sistemi için de geçerlidir; ancak ABC sisteminde kimyasal kaymalar, dolaylı spin-spin bağlaşım katsayıları mertebesindedir.

$$H = -\omega_A I_Z^A - \omega_B I_Z^B - \omega_C I_Z^C + J_{AB} I_Z^A I_Z^B + J_{AC} I_Z^A I_Z^C + J_{BC} I_Z^B I_Z^C \\ + \frac{1}{2} [J_{AB} (I_+^A I_-^B + I_-^A I_+^B) + J_{AC} (I_+^A I_-^C + I_-^A I_+^C) + J_{BC} (I_+^B I_-^C + I_-^B I_+^C)]$$

Kuramda yer alan gösterimlere göre ABC (ya da ANX) sisteminde,

$$\begin{array}{llll} P_A = 1 & i_A = 1/2 & I^A = \sum i_A = 1/2 & I_Z^A = \pm 1/2 \\ P_B = 1 & i_B = 1/2 & I^B = \sum i_B = 1/2 & I_Z^B = \pm 1/2 \\ P_C = 1 & i_C = 1/2 & I^C = \sum i_C = 1/2 & I_Z^C = \pm 1/2 \end{array}$$

ABC sisteminin dalga fonksiyonları hesaplanmış ve Çizelge 3.4'te verilmiştir.

Çizelge 3.4. ABC sistemin dalga fonksiyonları.

F_z	$I^A = 1/2, I^B = 1/2, I^C = 1/2$
-3/2	$\varphi_8 = \left -\frac{1}{2}, -\frac{1}{2}, -\frac{1}{2} \right\rangle$
-1/2	$\varphi_7 = \left -\frac{1}{2}, -\frac{1}{2}, +\frac{1}{2} \right\rangle$
	$\varphi_6 = \left -\frac{1}{2}, +\frac{1}{2}, -\frac{1}{2} \right\rangle$
	$\varphi_5 = \left +\frac{1}{2}, -\frac{1}{2}, -\frac{1}{2} \right\rangle$
+1/2	$\varphi_4 = \left -\frac{1}{2}, +\frac{1}{2}, +\frac{1}{2} \right\rangle$
	$\varphi_3 = \left +\frac{1}{2}, -\frac{1}{2}, +\frac{1}{2} \right\rangle$
	$\varphi_2 = \left +\frac{1}{2}, +\frac{1}{2}, -\frac{1}{2} \right\rangle$
+3/2	$\varphi_1 = \left +\frac{1}{2}, +\frac{1}{2}, +\frac{1}{2} \right\rangle$

Aynı F_z , I^A , I^B ve I^C değerine sahip olan manifoldların ayrı ayrı matrisleri yazılarak özdeğer problemi çözülebilir. Bir manifoldta ait matris ve özdeğer işlemleri diğer manifoldlardan etkilenmez. Buna göre aşağıda ABC sisteminin her bir manifoldu için sırasıyla matris elemanları, özdeğerler ve enerji düzey şeması elde edilmiştir

3.4.1. Matris Elemanları. Köşegen üzerindeki elemanlar

$$H^0 = -(\nu_A I_z^A + \nu_B I_z^B + \nu_C I_z^C) + J_{AB} I_z^A I_z^B + J_{AC} I_z^A I_z^C + J_{BC} I_z^B I_z^C$$

Hamiltoniyeni ile $\langle \varphi_i | H^0 | \varphi_i \rangle$ ifadesine göre hesaplanır. Birinci manifold'ta bir dalga fonksiyonu vardır. Buna göre $\varphi_1 = | +1/2, +1/2, +1/2 \rangle$ için $\nu_A - \nu_B = \delta_{AB}$

$$\nu_B - \nu_C = \delta_{BC}$$

ve

$$\nu_A - \nu_C = \delta_{AC} \text{ olmak üzere}$$

$$\langle +1/2, +1/2, +1/2 | H^0 | +1/2, +1/2, +1/2 \rangle = -\frac{\nu_A}{2} - \frac{\nu_B}{2} - \frac{\nu_C}{2} + \frac{J_{AB}}{4} + \frac{J_{BC}}{4} + \frac{J_{AC}}{4} = -\frac{3\nu_A + \nu_B + \nu_C}{2} + \frac{1}{4}(J_{AB} + J_{AC} + J_{BC})$$

elde edilir.

İkinci manifold'ta üç dalga fonksiyonu vardır. Buna göre φ_2 , φ_3 ve φ_4 'den oluşan 3×3 'lük matrisin köşegen elemanları

$$\langle +1/2, +1/2, -1/2 | H^0 | +1/2, +1/2, -1/2 \rangle = -\frac{1}{2} \frac{\nu_A + \nu_B + \nu_C}{3} - \frac{1}{3} (\delta_{AC} + \delta_{BC}) + \frac{1}{4} (J_{AB} - J_{AC} - J_{BC})$$

$$\langle +1/2, -1/2, +1/2 | H^0 | +1/2, -1/2, +1/2 \rangle = -\frac{1}{2} \frac{\nu_A + \nu_B + \nu_C}{3} - \frac{1}{3} (\delta_{AB} - \delta_{BC}) + \frac{1}{4} (-J_{AB} + J_{AC} - J_{BC})$$

$$\langle -1/2, +1/2, +1/2 | H^0 | -1/2, +1/2, +1/2 \rangle = -\frac{1}{2} \frac{\nu_A + \nu_B + \nu_C}{3} + \frac{1}{3} (\delta_{AB} + \delta_{AC}) + \frac{1}{4} (-J_{AB} - J_{AC} + J_{BC})$$

ve köşegen dışı elemanı ise

$$\langle \varphi_i | H^0 | \varphi_j \rangle$$

ifadesine göre

$$H^0 = \frac{1}{2} [J_{AB} (I_+^A I_-^B + I_-^A I_+^B) + J_{AC} (I_+^A I_-^C + I_-^A I_+^C) + J_{BC} (I_+^B I_-^C + I_-^B I_+^C)] \quad \text{Hamiltoniyeni}$$

kullanılarak

$$\langle \varphi_2 | \mathcal{H}' | \varphi_3 \rangle = \langle +1/2, +1/2, -1/2 | \mathcal{H}' | +1/2, -1/2, +1/2 \rangle = \frac{J_{BC}}{2}$$

$$\langle \varphi_2 | \mathcal{H}' | \varphi_4 \rangle = \langle +1/2, +1/2, -1/2 | \mathcal{H}' | -1/2, +1/2, +1/2 \rangle = \frac{J_{AC}}{2}$$

$$\langle \varphi_3 | \mathcal{H}' | \varphi_4 \rangle = \langle +1/2, -1/2, +1/2 | \mathcal{H}' | -1/2, +1/2, +1/2 \rangle = \frac{J_{AB}}{2}$$

şeklinde elde edilir.

Üçüncü manifold'ta üç dalga fonksiyonu vardır. Buna göre φ_5 , φ_6 ve φ_7 'den oluşan 3×3 'lük matrisin köşegen elemanları

$$\langle +1/2, -1/2, -1/2 | \mathcal{H}^0 | +1/2, -1/2, -1/2 \rangle = \frac{1}{2} \frac{v_A + v_B + v_C}{3} - \frac{1}{3} (\delta_{AB} + \delta_{AC}) + \frac{1}{4} (-J_{AB} - J_{AC} + J_{BC})$$

$$\langle -1/2, +1/2, -1/2 | \mathcal{H}^0 | -1/2, +1/2, -1/2 \rangle = \frac{1}{2} \frac{v_A + v_B + v_C}{3} - \frac{1}{3} (-\delta_{AB} + \delta_{BC}) + \frac{1}{4} (-J_{AB} + J_{AC} - J_{BC})$$

$$\langle -1/2, -1/2, +1/2 | \mathcal{H}^0 | -1/2, -1/2, +1/2 \rangle = \frac{1}{2} \frac{v_A + v_B + v_C}{3} + \frac{1}{3} (\delta_{AC} + \delta_{BC}) + \frac{1}{4} (J_{AB} - J_{AC} - J_{BC})$$

ve köşegen dışı elemanları ise

$$\langle \varphi_5 | \mathcal{H}' | \varphi_6 \rangle = \langle +1/2, -1/2, -1/2 | \mathcal{H}' | -1/2, +1/2, -1/2 \rangle = \frac{J_{AB}}{2}$$

$$\langle \varphi_6 | \mathcal{H}' | \varphi_7 \rangle = \langle -1/2, +1/2, -1/2 | \mathcal{H}' | -1/2, -1/2, +1/2 \rangle = \frac{J_{BC}}{2}$$

$$\langle \varphi_5 | \mathcal{H}' | \varphi_7 \rangle = \langle +1/2, -1/2, -1/2 | \mathcal{H}' | -1/2, -1/2, +1/2 \rangle = \frac{J_{AC}}{2}$$

şeklinde elde edilir.

Dördüncü manifold'ta bir dalga fonksiyonu φ_8 vardır.

$$\langle -1/2, -1/2, -1/2 | \mathcal{H}^0 | -1/2, -1/2, -1/2 \rangle = \frac{3}{2} \frac{v_A + v_B + v_C}{3} + \frac{1}{4} (J_{AB} + J_{AC} + J_{BC})$$

şeklinde elde edilir.

3.4.2. Özdeğerler. En az 2×2 'lik matrislerde özdeğerleri ve karıştırma katsayılarını elde etmek gerekir. İkinci manifold'ta φ_2 , φ_3 ve φ_4 karışırlar. Sekular determinant

$$-\frac{1}{2} \frac{v_A + v_B + v_C}{3} - E = -V \text{ de\u011fi\u015fen de\u011fi\u015ftirmesi yap\u0131larak a\u015fa\u011fdaki \u015fekilde}$$

elde edilir.

$$\begin{vmatrix} -\frac{1}{3}(\delta_{AC} + \delta_{BC}) + \frac{1}{4}(J_{AB} - J_{AC} - J_{BC}) - V & \frac{J_{BC}}{2} & \frac{J_{AC}}{2} \\ \frac{J_{BC}}{2} & -\frac{1}{3}(\delta_{AB} - \delta_{BC}) - \frac{1}{4}(J_{AB} - J_{AC} + J_{BC}) - V & \frac{J_{AB}}{2} \\ \frac{J_{AC}}{2} & \frac{J_{AB}}{2} & \frac{1}{3}(\delta_{AB} + \delta_{AC}) - \frac{1}{4}(J_{AB} + J_{AC} - J_{BC}) - V \end{vmatrix} = 0$$

olup \u0131zde\u011ferler δ_{ij} ve J_{ij} 'ye de\u011ferler verilerek JACOBI program\u0131 ile bilgisayarda elde edilir.

\u00dc\u00e7\u00fcnc\u00fc manifold'ta φ_5 , φ_6 ve φ_7 karışırlar. Sekular determinant

$$\frac{1}{2} \frac{v_A + v_B + v_C}{3} - E = -L \text{ de\u011fi\u015fen de\u011fi\u015ftirmesi yap\u0131larak a\u015fa\u011fdaki determinant}$$

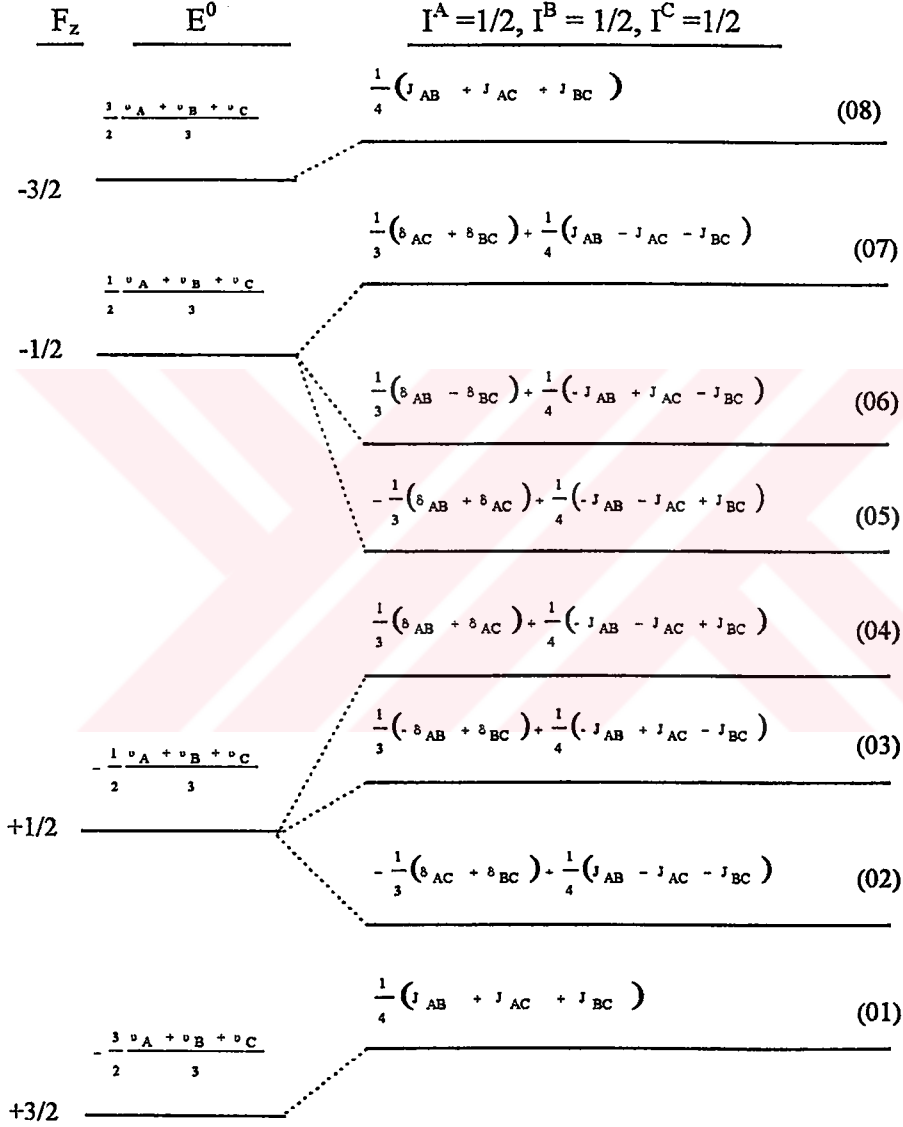
elde edilir.

$$\begin{vmatrix} -\frac{1}{3}(\delta_{AB} + \delta_{AC}) + \frac{1}{4}(-J_{AB} - J_{AC} + J_{BC}) - L & \frac{J_{BC}}{2} & \frac{J_{AC}}{2} \\ \frac{J_{BC}}{2} & \frac{1}{3}(\delta_{AB} - \delta_{BC}) + \frac{1}{4}(-J_{AB} + J_{AC} - J_{BC}) - L & \frac{J_{AB}}{2} \\ \frac{J_{AC}}{2} & \frac{J_{AB}}{2} & \frac{1}{3}(\delta_{AC} + \delta_{BC}) + \frac{1}{4}(J_{AB} - J_{AC} - J_{BC}) - L \end{vmatrix} = 0$$

olup \u0131zde\u011ferler δ_{ij} ve J_{ij} 'ye de\u011ferler verilerek JACOBI program\u0131 ile bilgisayarda elde edilir.

3.4.3. Enerji Düzey Şeması

Sistemin tümü için E^0 değerleri ve bunların üzerine binmiş olarak hesaplanan özdeğerler Şekil 3.4'de manifoldlar gözetilerek verilmiştir.



Şekil 3.4. ABC Sisteminin enerji düzey şeması

3.5. A₃BC SİSTEMİ. Kuramda yer alan gösterimlere göre A₃BC sisteminde

$$P_A = 3 \quad i_A = 1/2 \quad I^A = \sum i_A = 3/2; 1/2 \quad I_Z^A = 3/2; 1/2; -1/2; -3/2; 1/2; -1/2$$

$$P_B = 1 \quad i_B = 1/2 \quad I^B = \sum i_B = 1/2 \quad I_Z^B = \pm 1/2$$

$$P_C = 1 \quad i_C = 1/2 \quad I^C = \sum i_C = 1/2 \quad I_Z^C = \pm 1/2$$

A₃BC sisteminin dalga fonksiyonları hesaplanmış ve Çizelge 3.5'te verilmiştir.

Çizelge 3.5. A₃BC sisteminin dalga fonksiyonları.

F _z	I ^A = 3/2, I ^B = 1/2, I ^C = 1/2	I ^A = 1/2, I ^B = 1/2, I ^C = 1/2
-5/2	$\varphi_{16} = \left -\frac{3}{2}, -\frac{1}{2}, -\frac{1}{2} \right\rangle$	
-3/2	$\varphi_{15} = \left -\frac{3}{2}, -\frac{1}{2}, +\frac{1}{2} \right\rangle$ $\varphi_{14} = \left -\frac{3}{2}, +\frac{1}{2}, -\frac{1}{2} \right\rangle$ $\varphi_{13} = \left -\frac{1}{2}, -\frac{1}{2}, -\frac{1}{2} \right\rangle$	$\varphi_{24} = \left -\frac{1}{2}, -\frac{1}{2}, -\frac{1}{2} \right\rangle$
-1/2	$\varphi_{12} = \left -\frac{3}{2}, +\frac{1}{2}, +\frac{1}{2} \right\rangle$ $\varphi_{11} = \left -\frac{1}{2}, -\frac{1}{2}, +\frac{1}{2} \right\rangle$ $\varphi_{10} = \left -\frac{1}{2}, +\frac{1}{2}, -\frac{1}{2} \right\rangle$ $\varphi_9 = \left +\frac{1}{2}, -\frac{1}{2}, -\frac{1}{2} \right\rangle$	$\varphi_{23} = \left -\frac{1}{2}, -\frac{1}{2}, +\frac{1}{2} \right\rangle$ $\varphi_{22} = \left -\frac{1}{2}, +\frac{1}{2}, -\frac{1}{2} \right\rangle$ $\varphi_{21} = \left +\frac{1}{2}, -\frac{1}{2}, -\frac{1}{2} \right\rangle$
+1/2	$\varphi_8 = \left -\frac{1}{2}, +\frac{1}{2}, +\frac{1}{2} \right\rangle$ $\varphi_7 = \left +\frac{1}{2}, -\frac{1}{2}, +\frac{1}{2} \right\rangle$ $\varphi_6 = \left +\frac{1}{2}, +\frac{1}{2}, -\frac{1}{2} \right\rangle$ $\varphi_5 = \left +\frac{3}{2}, -\frac{1}{2}, -\frac{1}{2} \right\rangle$	$\varphi_{20} = \left -\frac{1}{2}, +\frac{1}{2}, +\frac{1}{2} \right\rangle$ $\varphi_{19} = \left +\frac{1}{2}, -\frac{1}{2}, +\frac{1}{2} \right\rangle$ $\varphi_{18} = \left +\frac{1}{2}, +\frac{1}{2}, -\frac{1}{2} \right\rangle$
+3/2	$\varphi_4 = \left +\frac{1}{2}, +\frac{1}{2}, +\frac{1}{2} \right\rangle$ $\varphi_3 = \left +\frac{3}{2}, -\frac{1}{2}, +\frac{1}{2} \right\rangle$ $\varphi_2 = \left +\frac{3}{2}, +\frac{1}{2}, -\frac{1}{2} \right\rangle$	$\varphi_{17} = \left +\frac{1}{2}, +\frac{1}{2}, +\frac{1}{2} \right\rangle$
+5/2	$\varphi_1 = \left +\frac{3}{2}, +\frac{1}{2}, +\frac{1}{2} \right\rangle$	

Aynı F_z, I^A, I^B ve I^C değerine sahip olan manifoldların ayrı ayrı matrisleri yazılarak özdeğer problemi çözülebilir. Bir manifolda ait matris ve özdeğer işlemleri diğer

manifoldlardan etkilenmez. Buna göre aşağıda A_3BC sisteminin her bir manifoldu için sırasıyla matris elemanları, özdeğerler ve enerji düzey şeması elde edilmiştir

3.5.1. Matris Elemanları. Köşegen üzerindeki elemanlar

$$H^0 = -(\nu_A I_z^A + \nu_B I_z^B + \nu_C I_z^C) + J_{AB} \cdot I_z^A \cdot I_z^B + J_{AC} \cdot I_z^A \cdot I_z^C + J_{BC} \cdot I_z^B \cdot I_z^C$$

Hamiltoniyeni ile $\langle \varphi_1 | H^0 | \varphi_1 \rangle$ ifadesine göre hesaplanır. Birinci manifold'ta bir dalga

fonksiyonu vardır. Buna göre

$$\varphi_1 = | +1/2, +1/2, +1/2 \rangle$$

için

$$\nu_A - \nu_B = \delta_{AB} \quad \nu_B - \nu_C = \delta_{BC} \quad \text{ve} \quad \nu_A - \nu_C = \delta_{AC}$$

olmak üzere

$$\begin{aligned} \langle +3/2, +1/2, +1/2 | H^0 | +3/2, +1/2, +1/2 \rangle &= -\frac{3\nu_A}{2} - \frac{\nu_B}{2} - \frac{\nu_C}{2} + \frac{3J_{AB}}{4} + \frac{J_{BC}}{4} + \frac{3J_{AC}}{4} \\ &= -\frac{5\nu_A + \nu_B + \nu_C}{3} - \frac{1}{3}(\delta_{AB} + \delta_{AC}) + \frac{1}{4}(3J_{AB} + 3J_{AC} + J_{BC}) \end{aligned}$$

elde edilir.

İkinci manifold'ta üç dalga fonksiyonu vardır. Buna göre φ_2 , φ_3 ve φ_4 'den oluşan 3×3 'lük matrisin köşegen elemanları

$$\langle +3/2, +1/2, -1/2 | H^0 | +3/2, +1/2, -1/2 \rangle = -\frac{3\nu_A + \nu_B + \nu_C}{3} - \delta_{AC} + \frac{1}{4}(3J_{AB} - 3J_{AC} - J_{BC})$$

$$\langle +3/2, -1/2, +1/2 | H^0 | +3/2, -1/2, +1/2 \rangle = -\frac{3\nu_A + \nu_B + \nu_C}{3} - \delta_{AB} + \frac{1}{4}(-3J_{AB} + 3J_{AC} - J_{BC})$$

$$\langle +1/2, +1/2, +1/2 | H^0 | +1/2, +1/2, +1/2 \rangle = -\frac{3\nu_A + \nu_B + \nu_C}{3} + \frac{1}{4}(J_{AB} + J_{AC} + J_{BC})$$

ve köşegen dışı elemanı ise

$$\langle \varphi_i | H^0 | \varphi_j \rangle$$

ifadesine göre

$$H' = \frac{1}{2} [J_{AB} (I_+^A I_-^B + I_-^A I_+^B) + J_{AC} (I_+^A I_-^C + I_-^A I_+^C) + J_{BC} (I_+^B I_-^C + I_-^B I_+^C)]$$

Hamiltoniyeni kullanılarak

$$\langle \varphi_2 | \mathcal{H}' | \varphi_3 \rangle = \langle +3/2, +1/2, -1/2 | \mathcal{H}' | +3/2, -1/2, +1/2 \rangle = \frac{J_{BC}}{2}$$

$$\langle \varphi_2 | \mathcal{H}' | \varphi_4 \rangle = \langle +3/2, +1/2, -1/2 | \mathcal{H}' | +1/2, +1/2, +1/2 \rangle = \frac{J_{AC}}{2}$$

$$\langle \varphi_3 | \mathcal{H}' | \varphi_4 \rangle = \langle +3/2, -1/2, +1/2 | \mathcal{H}' | +1/2, +1/2, +1/2 \rangle = \frac{J_{AB}}{2}$$

şeklinde elde edilir.

Üçüncü manifold'ta dört dalga fonksiyonu vardır. Buna göre $\varphi_5, \varphi_6, \varphi_7$ ve φ_8 'den oluşan 4×4 'lük matrisin köşegen elemanları

$$\langle +3/2, -1/2, -1/2 | \mathcal{H}^0 | +3/2, -1/2, -1/2 \rangle = -\frac{1}{2} \frac{v_A + v_B + v_C}{3} - \frac{2}{3} (\delta_{AB} + \delta_{AC}) + \frac{1}{4} (-3J_{AB} - 3J_{AC} + J_{BC})$$

$$\langle +1/2, +1/2, -1/2 | \mathcal{H}^0 | +1/2, +1/2, -1/2 \rangle = -\frac{1}{2} \frac{v_A + v_B + v_C}{3} - \frac{1}{3} (\delta_{AC} + \delta_{BC}) + \frac{1}{4} (J_{AB} - J_{AC} - J_{BC})$$

$$\langle +1/2, -1/2, +1/2 | \mathcal{H}^0 | +1/2, -1/2, +1/2 \rangle = -\frac{1}{2} \frac{v_A + v_B + v_C}{3} - \frac{1}{3} (\delta_{AB} - \delta_{BC}) + \frac{1}{4} (-J_{AB} + J_{AC} - J_{BC})$$

$$\langle -1/2, +1/2, +1/2 | \mathcal{H}^0 | -1/2, +1/2, +1/2 \rangle = -\frac{1}{2} \frac{v_A + v_B + v_C}{3} + \frac{1}{3} (\delta_{AB} + \delta_{AC}) + \frac{1}{4} (-J_{AB} - J_{AC} + J_{BC})$$

ve köşegen dışı elemanları

$$\langle \varphi_5 | \mathcal{H}' | \varphi_6 \rangle = \langle +3/2, -1/2, -1/2 | \mathcal{H}' | +1/2, +1/2, -1/2 \rangle = \frac{J_{AB}}{2}$$

$$\langle \varphi_5 | \mathcal{H}' | \varphi_7 \rangle = \langle +3/2, -1/2, -1/2 | \mathcal{H}' | +1/2, -1/2, +1/2 \rangle = \frac{J_{AC}}{2}$$

$$\langle \varphi_5 | \mathcal{H}' | \varphi_8 \rangle = \langle +3/2, -1/2, -1/2 | \mathcal{H}' | -1/2, +1/2, +1/2 \rangle = 0$$

$$\langle \varphi_6 | \mathcal{H}' | \varphi_7 \rangle = \langle +1/2, +1/2, -1/2 | \mathcal{H}' | +1/2, -1/2, +1/2 \rangle = \frac{J_{BC}}{2}$$

$$\langle \varphi_6 | \mathcal{H}' | \varphi_8 \rangle = \langle +1/2, +1/2, -1/2 | \mathcal{H}' | -1/2, +1/2, +1/2 \rangle = \frac{J_{AC}}{2}$$

$$\langle \varphi_7 | \mathcal{H}' | \varphi_8 \rangle = \langle +1/2, -1/2, +1/2 | \mathcal{H}' | -1/2, +1/2, +1/2 \rangle = \frac{J_{AB}}{2}$$

Dördüncü manifold'ta dört dalga fonksiyonu vardır. Buna göre $\varphi_9, \varphi_{10}, \varphi_{11}$ ve φ_{12} 'den oluşan 4×4 'lük matrisin köşegen elemanları

$$\langle +1/2, -1/2, -1/2 | \mathcal{H}^0 | +1/2, -1/2, -1/2 \rangle = +\frac{1}{2} \frac{v_A + v_B + v_C}{3} - \frac{1}{3} (\delta_{AB} + \delta_{AC}) + \frac{1}{4} (-J_{AB} - J_{AC} + J_{BC})$$

$$\langle -1/2, +1/2, -1/2 | H^0 | -1/2, +1/2, -1/2 \rangle = +\frac{1}{2} \frac{v_A + v_B + v_C}{3} + \frac{1}{3} (\delta_{AB} - \delta_{BC}) + \frac{1}{4} (-J_{AB} + J_{AC} - J_{BC})$$

$$\langle -1/2, -1/2, +1/2 | H^0 | -1/2, -1/2, +1/2 \rangle = +\frac{1}{2} \frac{v_A + v_B + v_C}{3} + \frac{1}{3} (\delta_{AC} + \delta_{BC}) + \frac{1}{4} (J_{AB} - J_{AC} - J_{BC})$$

$$\langle -3/2, +1/2, +1/2 | H^0 | -3/2, +1/2, +1/2 \rangle = +\frac{1}{2} \frac{v_A + v_B + v_C}{3} + \frac{2}{3} (\delta_{AB} + \delta_{AC}) + \frac{1}{4} (-3J_{AB} - 3J_{AC} + J_{BC})$$

ve köşegen dışı elemanları

$$\langle \varphi_9 | \mathcal{H}' | \varphi_{10} \rangle = \langle +1/2, -1/2, -1/2 | \mathcal{H}' | -1/2, +1/2, -1/2 \rangle = \frac{J_{AB}}{2}$$

$$\langle \varphi_9 | \mathcal{H}' | \varphi_{11} \rangle = \langle +1/2, -1/2, -1/2 | \mathcal{H}' | -1/2, -1/2, +1/2 \rangle = \frac{J_{AC}}{2}$$

$$\langle \varphi_9 | \mathcal{H}' | \varphi_{12} \rangle = \langle +1/2, -1/2, -1/2 | \mathcal{H}' | -3/2, +1/2, +1/2 \rangle = 0$$

$$\langle \varphi_{10} | \mathcal{H}' | \varphi_{11} \rangle = \langle -1/2, +1/2, -1/2 | \mathcal{H}' | -1/2, -1/2, +1/2 \rangle = \frac{J_{BC}}{2}$$

$$\langle \varphi_{10} | \mathcal{H}' | \varphi_{12} \rangle = \langle -1/2, +1/2, -1/2 | \mathcal{H}' | -3/2, +1/2, +1/2 \rangle = \frac{J_{AC}}{2}$$

$$\langle \varphi_{11} | \mathcal{H}' | \varphi_{12} \rangle = \langle -1/2, -1/2, +1/2 | \mathcal{H}' | -3/2, +1/2, +1/2 \rangle = \frac{J_{AB}}{2}$$

şeklinde elde edilir.

Beşinci manifold'ta üç dalga fonksiyonu vardır. Buna göre φ_{13} , φ_{14} ve φ_{15} 'den oluşan 3×3 'lük matrisin köşegen elemanları

$$\langle -1/2, -1/2, -1/2 | H^0 | -1/2, -1/2, -1/2 \rangle = +\frac{3}{2} \frac{v_A + v_B + v_C}{3} + \frac{1}{4} (J_{AB} + J_{AC} + J_{BC})$$

$$\langle -3/2, +1/2, -1/2 | H^0 | -3/2, +1/2, -1/2 \rangle = +\frac{3}{2} \frac{v_A + v_B + v_C}{3} + \delta_{AB} + \frac{1}{4} (-3J_{AB} + 3J_{AC} - J_{BC})$$

$$\langle -3/2, -1/2, +1/2 | H^0 | -3/2, -1/2, +1/2 \rangle = +\frac{3}{2} \frac{v_A + v_B + v_C}{3} + \delta_{AC} + \frac{1}{4} (3J_{AB} - 3J_{AC} - J_{BC})$$

ve köşegen dışı elemanları

$$\langle \varphi_{13} | \mathcal{H}' | \varphi_{14} \rangle = \langle -1/2, -1/2, -1/2 | \mathcal{H}' | -3/2, +1/2, -1/2 \rangle = \frac{J_{AB}}{2}$$

$$\langle \varphi_{13} | \mathcal{H}' | \varphi_{15} \rangle = \langle -1/2, -1/2, -1/2 | \mathcal{H}' | -3/2, -1/2, +1/2 \rangle = \frac{J_{AC}}{2}$$

$$\langle \varphi_{14} | \mathcal{H}' | \varphi_{15} \rangle = \langle -3/2, +1/2, -1/2 | \mathcal{H}' | -3/2, -1/2, +1/2 \rangle = \frac{J_{BC}}{2}$$

şeklinde elde edilir.

Altıncı manifold'ta bir dalga fonksiyonu φ_{16} vardır.

$$\langle -3/2, -1/2, -1/2 | H^0 | -3/2, -1/2, -1/2 \rangle = +\frac{5}{2} \frac{\nu_A + \nu_B + \nu_C}{3} + \frac{1}{3} (\delta_{AB} + \delta_{AC}) + \frac{1}{4} (3J_{AB} + 3J_{AC} + J_{BC})$$

Yedinci manifold'ta bir dalga fonksiyonu φ_{17} vardır.

$$\langle +1/2, +1/2, +1/2 | H^0 | +1/2, +1/2, +1/2 \rangle = -\frac{3}{2} \frac{\nu_A + \nu_B + \nu_C}{3} + \frac{1}{4} (J_{AB} + J_{AC} + J_{BC})$$

Sekizinci manifold'ta üç dalga fonksiyonu vardır. Buna göre φ_{18} , φ_{19} , ve φ_{20} 'den oluşan 3×3 'lük matrisin köşegen elemanları

$$\langle +1/2, +1/2, -1/2 | H^0 | +1/2, +1/2, -1/2 \rangle = -\frac{1}{2} \frac{\nu_A + \nu_B + \nu_C}{3} - \frac{1}{3} (\delta_{AC} + \delta_{BC}) + \frac{1}{4} (J_{AB} - J_{AC} - J_{BC})$$

$$\langle +1/2, -1/2, +1/2 | H^0 | +1/2, -1/2, +1/2 \rangle = -\frac{1}{2} \frac{\nu_A + \nu_B + \nu_C}{3} - \frac{1}{3} (\delta_{AB} - \delta_{BC}) + \frac{1}{4} (-J_{AB} + J_{AC} - J_{BC})$$

$$\langle -1/2, +1/2, +1/2 | H^0 | -1/2, +1/2, +1/2 \rangle = -\frac{1}{2} \frac{\nu_A + \nu_B + \nu_C}{3} + \frac{1}{3} (\delta_{AB} + \delta_{AC}) + \frac{1}{4} (-J_{AB} - J_{AC} + J_{BC})$$

ve köşegen dışı elemanları

$$\langle \varphi_{18} | \mathcal{H}' | \varphi_{19} \rangle = \langle +1/2, +1/2, -1/2 | \mathcal{H}' | +1/2, -1/2, +1/2 \rangle = \frac{J_{BC}}{2}$$

$$\langle \varphi_{18} | \mathcal{H}' | \varphi_{20} \rangle = \langle +1/2, +1/2, -1/2 | \mathcal{H}' | -1/2, +1/2, +1/2 \rangle = \frac{J_{AC}}{2}$$

$$\langle \varphi_{19} | \mathcal{H}' | \varphi_{20} \rangle = \langle +1/2, -1/2, +1/2 | \mathcal{H}' | -1/2, +1/2, +1/2 \rangle = \frac{J_{AB}}{2}$$

şeklinde elde edilir.

Dokuzuncu manifold'ta üç dalga fonksiyonu vardır. Buna göre φ_{21} , φ_{22} , ve φ_{23} 'den oluşan 3×3 'lük matrisin köşegen elemanları

$$\langle +1/2, -1/2, -1/2 | H^0 | +1/2, -1/2, -1/2 \rangle = +\frac{1}{2} \frac{\nu_A + \nu_B + \nu_C}{3} - \frac{1}{3} (\delta_{AB} + \delta_{AC}) + \frac{1}{4} (-J_{AB} - J_{AC} + J_{BC})$$

$$\langle -1/2, +1/2, -1/2 | H^0 | -1/2, +1/2, -1/2 \rangle = +\frac{1}{2} \frac{\nu_A + \nu_B + \nu_C}{3} + \frac{1}{3} (\delta_{AB} - \delta_{BC}) + \frac{1}{4} (-J_{AB} + J_{AC} - J_{BC})$$

$$\langle -1/2, -1/2, +1/2 | H^0 | -1/2, -1/2, +1/2 \rangle = +\frac{1}{2} \frac{\nu_A + \nu_B + \nu_C}{3} + \frac{1}{3} (\delta_{AC} + \delta_{BC}) + \frac{1}{4} (J_{AB} - J_{AC} - J_{BC})$$

ve köşegen dışı elemanları

$$\langle \varphi_{21} | \mathcal{H}' | \varphi_{22} \rangle = \langle +1/2, -1/2, -1/2 | \mathcal{H}' | -1/2, +1/2, -1/2 \rangle = \frac{J_{AB}}{2}$$

$$\langle \varphi_{21} | \mathcal{H} | \varphi_{23} \rangle = \langle +1/2, -1/2, -1/2 | \mathcal{H} | -1/2, -1/2, +1/2 \rangle = \frac{J_{AC}}{2}$$

$$\langle \varphi_{22} | \mathcal{H} | \varphi_{23} \rangle = \langle -1/2, +1/2, -1/2 | \mathcal{H} | -1/2, -1/2, +1/2 \rangle = \frac{J_{BC}}{2}$$

şeklinde elde edilir.

Onuncu manifold'ta bir dalga fonksiyonu φ_{24} vardır.

$$\langle -1/2, -1/2, -1/2 | \mathcal{H}^0 | -1/2, -1/2, -1/2 \rangle = +\frac{3}{2} \frac{v_A + v_B + v_C}{3} + \frac{1}{4} (J_{AB} + J_{AC} + J_{BC})$$

eşitlikleri elde edilir.

3.5.2. Özdeğerler. En az 2×2 'lik matrislerde özdeğerleri ve karıştırma katsayılarını elde etmek gerekir. İkinci manifold'ta φ_2 , φ_3 ve φ_4 karışırlar. Sekular determinant

$-\frac{3}{2} \frac{v_A + v_B + v_C}{3} - E = -V$ değişken değiştirilmesi yapılarak aşağıdaki şekilde elde edilir.

$$\begin{vmatrix} -\delta_{AC} + \frac{1}{4}(3J_{AB} - 3J_{AC} - J_{BC}) - V & \frac{J_{BC}}{2} & \frac{J_{AC}}{2} \\ \frac{J_{BC}}{2} & -\delta_{AB} + \frac{1}{4}(-3J_{AB} + 3J_{AC} - J_{BC}) - V & \frac{J_{AB}}{2} \\ \frac{J_{AC}}{2} & \frac{J_{AB}}{2} & \frac{1}{4}(J_{AB} + J_{AC} + J_{BC}) - V \end{vmatrix} = 0$$

olup özdeğerler δ_{ij} ve J_{ij} 'ye değerler verilerek JACOBI programı ile bilgisayarda elde edilir.

Üçüncü manifold'ta φ_5 , φ_6 , φ_7 ve φ_8 karışırlar. Sekular determinant

$-\frac{1}{2} \frac{v_A + v_B + v_C}{3} - E = -L$ değişken değiştirilmesi yapılarak aşağıdaki şekilde elde edilir.

$$\begin{vmatrix} \frac{2}{3}(-\delta_{AB} - \delta_{AC}) + \frac{1}{4}(-3J_{AB} - 3J_{AC} + J_{BC}) - L & \frac{J_{AB}}{2} & \frac{J_{AC}}{2} & 0 \\ \frac{J_{AB}}{2} & \frac{1}{3}(-\delta_{AC} - \delta_{BC}) + \frac{1}{4}(J_{AB} - J_{AC} - J_{BC}) - L & \frac{J_{BC}}{2} & \frac{J_{AC}}{2} \\ \frac{J_{AC}}{2} & \frac{J_{BC}}{2} & \frac{1}{3}(-\delta_{AB} + \delta_{BC}) + \frac{1}{4}(-J_{AB} + J_{AC} - J_{BC}) - L & \frac{J_{AB}}{2} \\ 0 & \frac{J_{AC}}{2} & \frac{J_{AB}}{2} & \frac{1}{3}(\delta_{AB} + \delta_{AC}) + \frac{1}{4}(-J_{AB} - J_{AC} + J_{BC}) - L \end{vmatrix} = 0$$

olup özdeğerler δ_{ij} ve J_{ij} 'ye değerler verilerek JACOBI programı ile bilgisayarda elde edilir.

Dördüncü manifold'ta ϕ_9 , ϕ_{10} , ϕ_{11} ve ϕ_{12} karışır. Sekular determinant

$$+ \frac{1}{2} \frac{v_A + v_B + v_C}{3} - E = -U \text{ de\u0131şken de\u0131ştirmesi yapılarak a\u015fa\u011fdaki \u015fekilde}$$

elde edilir.

$$\begin{vmatrix} -\frac{1}{3}(\delta_{AB} + \delta_{AC}) + \frac{1}{4}(-J_{AB} - J_{AC} + J_{BC}) - U & \frac{J_{AB}}{2} & \frac{J_{AC}}{2} & 0 \\ \frac{J_{AB}}{2} & \frac{1}{3}(\delta_{AB} - \delta_{BC}) + \frac{1}{4}(-J_{AB} + J_{AC} - J_{BC}) - U & \frac{J_{BC}}{2} & \frac{J_{AC}}{2} \\ \frac{J_{AC}}{2} & \frac{J_{BC}}{2} & \frac{1}{3}(\delta_{AC} + \delta_{BC}) + \frac{1}{4}(J_{AB} - J_{AC} - J_{BC}) - U & \frac{J_{AB}}{2} \\ 0 & \frac{J_{AC}}{2} & \frac{J_{AB}}{2} & \frac{2}{3}(\delta_{AB} + \delta_{AC}) + \frac{1}{4}(-3J_{AB} - 3J_{AC} + J_{BC}) - U \end{vmatrix} = 0$$

olup özdeğerler δ_{ij} ve J_{ij} 'ye değerler verilerek JACOBI programı ile bilgisayarda elde edilir.

Beşinci manifold'ta ϕ_{13} , ϕ_{14} ve ϕ_{15} karışır. Sekular determinant

$$\frac{3}{2} \frac{v_A + v_B + v_C}{3} - E = -K \text{ de\u0131şken de\u0131ştirmesi yapılarak a\u015fa\u011fdaki \u015fekilde elde}$$

edilir.

$$\begin{vmatrix} \frac{1}{4}(J_{AB} + J_{AC} + J_{BC}) - K & \frac{J_{AB}}{2} & \frac{J_{AC}}{2} \\ \frac{J_{AB}}{2} & \delta_{AB} + \frac{1}{4}(-3J_{AB} + 3J_{AC} - J_{BC}) - K & \frac{J_{BC}}{2} \\ \frac{J_{AC}}{2} & \frac{J_{BC}}{2} & \delta_{AC} + \frac{1}{4}(3J_{AB} - 3J_{AC} - J_{BC}) - K \end{vmatrix} = 0$$

olup özdeğerler δ_{ij} ve J_{ij} 'ye değerler verilerek JACOBI programı ile bilgisayarda elde edilir.

Sekizinci manifold'ta φ_{18} , φ_{19} ve φ_{20} karışır. Sekular determinant

$-\frac{1}{2} \frac{v_A + v_B + v_C}{3} - E = -F$ değişken değiştirmesi yapılarak aşağıdaki şekilde elde edilir.

$$\begin{vmatrix} -\frac{1}{3}(\delta_{AC} + \delta_{BC}) + \frac{1}{4}(J_{AB} - J_{AC} - J_{BC}) - F & \frac{J_{BC}}{2} & \frac{J_{AC}}{2} \\ \frac{J_{BC}}{2} & \frac{1}{3}(\delta_{AB} + \delta_{BC}) + \frac{1}{4}(-J_{AB} + J_{AC} - J_{BC}) - F & \frac{J_{AB}}{2} \\ \frac{J_{AC}}{2} & \frac{J_{AB}}{2} & \frac{1}{3}(\delta_{AB} + \delta_{AC}) + \frac{1}{4}(-J_{AB} - J_{AC} + J_{BC}) - F \end{vmatrix} = 0$$

olup özdeğerler δ_{ij} ve J_{ij} 'ye değerler verilerek JACOBI programı ile bilgisayarda elde edilir.

Dokuzuncu manifold'ta φ_{21} , φ_{22} ve φ_{23} karışır. Sekular determinant

$\frac{1}{2} \frac{v_A + v_B + v_C}{3} - E = -T$ değişken değiştirmesi yapılarak aşağıdaki şekilde elde edilir.

$$\begin{vmatrix} -\frac{1}{3}(\delta_{AB} + \delta_{AC}) + \frac{1}{4}(-J_{AB} - J_{AC} + J_{BC}) - T & \frac{J_{AB}}{2} & \frac{J_{AC}}{2} \\ \frac{J_{AB}}{2} & \frac{1}{3}(\delta_{AB} - \delta_{BC}) + \frac{1}{4}(-J_{AB} + J_{AC} - J_{BC}) - T & \frac{J_{BC}}{2} \\ \frac{J_{AC}}{2} & \frac{J_{BC}}{2} & \frac{1}{3}(\delta_{AC} + \delta_{BC}) + \frac{1}{4}(J_{AB} - J_{AC} - J_{BC}) - T \end{vmatrix} = 0$$

olup özdeğerler δ_{ij} ve J_{ij} 'ye değerler verilerek JACOBI programı ile bilgisayarda elde edilir.

3.5.3. Enerji Düzey Şeması. Sistemin tümü için E^0 değerleri ve bunların üzerine binmiş olarak hesaplanan özdeğerler Şekil 3.5'te manifoldlar gözetilerek verilmiştir.

F_z	E^0	$\Gamma^A = 3/2, \Gamma^B = 1/2, \Gamma^C = 1/2$	$\Gamma^A = 1/2, \Gamma^B = 1/2, \Gamma^C = 1/2$
	$\frac{5v_A + v_B + v_C}{2 \quad 3}$	$\frac{1}{3}(\delta_{AB} + \delta_{AC}) + \frac{1}{4}(3J_{AB} + 3J_{AC} + J_{BC})$ (16)	
-5/2		$\delta_{AC} + \frac{1}{4}(3J_{AB} - 3J_{AC} - J_{BC})$ (15)	
		$\delta_{AB} + \frac{1}{4}(-3J_{AB} + 3J_{AC} - J_{BC})$ (14)	
	$\frac{3v_A + v_B + v_C}{2 \quad 3}$	$\frac{1}{4}(J_{AB} + J_{AC} + J_{BC})$ (13)	$\frac{1}{4}(J_{AB} + J_{AC} + J_{BC})$ (24)
-3/2		$\frac{2}{3}(\delta_{AB} + \delta_{AC}) + \frac{1}{4}(-3J_{AB} - 3J_{AC} + J_{BC})$ (12)	$\frac{2}{3}(\delta_{AB} + \delta_{AC}) + \frac{1}{4}(-3J_{AB} - 3J_{AC} + J_{BC})$ (23)
	$\frac{1v_A + v_B + v_C}{2 \quad 3}$	$\frac{1}{3}(\delta_{AC} + \delta_{BC}) + \frac{1}{4}(J_{AB} - J_{AC} - J_{BC})$ (11)	$\frac{1}{3}(\delta_{AC} + \delta_{BC}) + \frac{1}{4}(J_{AB} - J_{AC} - J_{BC})$ (22)
-1/2		$\frac{1}{3}(\delta_{AB} - \delta_{BC}) + \frac{1}{4}(-J_{AB} + J_{AC} - J_{BC})$ (10)	$\frac{1}{3}(\delta_{AB} - \delta_{BC}) + \frac{1}{4}(-J_{AB} + J_{AC} - J_{BC})$ (21)
		$-\frac{1}{3}(\delta_{AB} + \delta_{AC}) + \frac{1}{4}(-J_{AB} - J_{AC} + J_{BC})$ (09)	
		$\frac{1}{3}(\delta_{AB} + \delta_{AC}) + \frac{1}{4}(-J_{AB} - J_{AC} + J_{BC})$ (08)	$\frac{1}{3}(\delta_{AB} + \delta_{AC}) + \frac{1}{4}(-J_{AB} - J_{AC} + J_{BC})$ (20)
	$\frac{1v_A + v_B + v_C}{2 \quad 3}$	$\frac{1}{3}(-\delta_{AB} + \delta_{BC}) + \frac{1}{4}(-J_{AB} + J_{AC} - J_{BC})$ (07)	$\frac{1}{3}(-\delta_{AB} + \delta_{BC}) + \frac{1}{4}(-J_{AB} + J_{AC} - J_{BC})$ (19)
+1/2		$-\frac{1}{3}(\delta_{AC} + \delta_{BC}) + \frac{1}{4}(J_{AB} - J_{AC} - J_{BC})$ (06)	$-\frac{1}{3}(\delta_{AC} + \delta_{BC}) + \frac{1}{4}(J_{AB} - J_{AC} - J_{BC})$ (18)
		$-\frac{2}{3}(\delta_{AB} + \delta_{AC}) + \frac{1}{4}(-3J_{AB} - 3J_{AC} + J_{BC})$ (05)	
	$\frac{3v_A + v_B + v_C}{2 \quad 3}$	$\frac{1}{4}(J_{AB} + J_{AC} + J_{BC})$ (04)	$\frac{1}{4}(J_{AB} + J_{AC} + J_{BC})$ (17)
+3/2		$-\delta_{AB} + \frac{1}{4}(-3J_{AB} + 3J_{AC} - J_{BC})$ (03)	
		$-\delta_{AC} + \frac{1}{4}(3J_{AB} - 3J_{AC} - J_{BC})$ (02)	
	$\frac{5v_A + v_B + v_C}{2 \quad 3}$	$-\frac{1}{3}(\delta_{AB} + \delta_{AC}) + \frac{1}{4}(3J_{AB} + 3J_{AC} + J_{BC})$ (01)	

Şekil 3.5. A_3BC sisteminin enerji düzey şeması.

4. SONUÇLAR VE TARTIŞMA

4.1. AB₂ Sistemi.

4.1.1. Karıştırma Katsayıları;

Aynı F_z , I^A ve I^B değerine sahip φ_2 ve φ_3 dalga fonksiyonları $\Psi_2 = a\varphi_2 + b\varphi_3$ ve $\Psi_3 = a'\varphi_2 + b'\varphi_3$ olmak üzere iki dalga fonksiyonu verecek şekilde karışırlar. Aynı şekilde aynı F_z , I^A ve I^B değerine sahip φ_4 ve φ_5 dalga fonksiyonları $\Psi_4 = c\varphi_4 + d\varphi_5$ ve $\Psi_5 = c'\varphi_4 + d'\varphi_5$ olmak üzere iki dalga fonksiyonu verecek şekilde karışırlar. Karıştırma katsayıları JACOBI programı kullanılarak elde edilmiş ve Çizelge 4.1'de gösterilmiştir.

4.1.2. Geçiş Olasılıkları.

NMR spektrumlarında geçiş olasılıkları aşağıdaki ifade ile elde edilir.

$$P_{ij} = \left[\langle \Psi_j | H'' | \Psi_i \rangle \right]^2$$

burada

$$H'' = \frac{1}{2} (I_+^A + I_-^A + I_+^B + I_-^B)$$

şeklindedir. Karıştırma katsayıları cinsinden geçiş olasılıkları aşağıda hesaplanmıştır.

(1) \leftrightarrow (2,3) geçişleri için:

$$P_{12} = \left[\langle a|1/2,0\rangle + b|-1/2,1\rangle | H'' | 1/2,1 \rangle \right]^2 = \frac{1}{4}(a+b)^2, \quad P_{13} = \frac{1}{4}(a'+b')^2$$

(2,3) \leftrightarrow (4,5) geçişleri için:

$$P_{24} = \left[\langle c|1/2,-1\rangle + d|-1/2,0\rangle | H'' | a|1/2,0\rangle + b|-1/2,1\rangle \right]^2$$

$$P_{24} = \frac{1}{4} [a(c+d) + db]^2, \quad P_{25} = \frac{1}{4} [a(c'+d') + d'b']^2$$

$$P_{34} = \frac{1}{4} [a'(c+d) + db']^2, \quad P_{35} = \frac{1}{4} [a'(c'+d') + d'b']^2$$

(4,5) \leftrightarrow (6) geçişleri için:

$$P_{46} = \left[\langle -1/2,-1 | H'' | c|1/2,-1\rangle + d|-1/2,0\rangle \right]^2 \Rightarrow P_{46} = \frac{1}{4}(c+d)^2, \quad P_{56} = \frac{1}{4}(c'+d')^2$$

(7) \leftrightarrow (8) geçişi için:

$$P_{78} = \left[\langle -1/2,0 | H'' | 1/2,0 \rangle \right]^2 \Rightarrow P_{78} = 0,25$$

AB₂ sistemi için geçiş türü, geçiş frekansları ve şiddetleri Çizelge 4.2'de verilmiştir.

Çizelge 4.1. AB_2 sistemi için karıştırma katsayıları.

$\delta=100$ Hz, $J=10$ Hz		$\delta=40$ Hz, $J=10$ Hz		$\delta=20$ Hz, $J=10$ Hz	
a = 0,9986	b = -0,0524	a = 0,9903	b = -0,1387	a = 0,9571	b = -0,2898
a' = 0,0524	b' = 0,9986	a' = 0,1387	b' = 0,9903	a' = 0,2898	b' = 0,9571
c = 0,9989	d = -0,0475	c = 0,9940	d = -0,1091	c = 0,9820	d = -0,1891
c' = 0,0475	d' = 0,9989	c' = 0,1091	d' = 0,9940	c' = 0,1891	d' = 0,9820

Çizelge 4.1. (Devamı).

$\delta=13,97$ Hz, $J=8,08$ Hz		$\delta=48,60$ Hz, $J=5,70$ Hz	
a = 0,9422	b = -0,3349	a = 0,9981	b = -0,0619
a' = 0,3349	b' = 0,9422	a' = 0,0619	b' = 0,9981
c = 0,9779	d = -0,2093	c = 0,9985	d = -0,0551
c' = 0,2093	d' = 0,9779	c' = 0,0551	d' = 0,9985

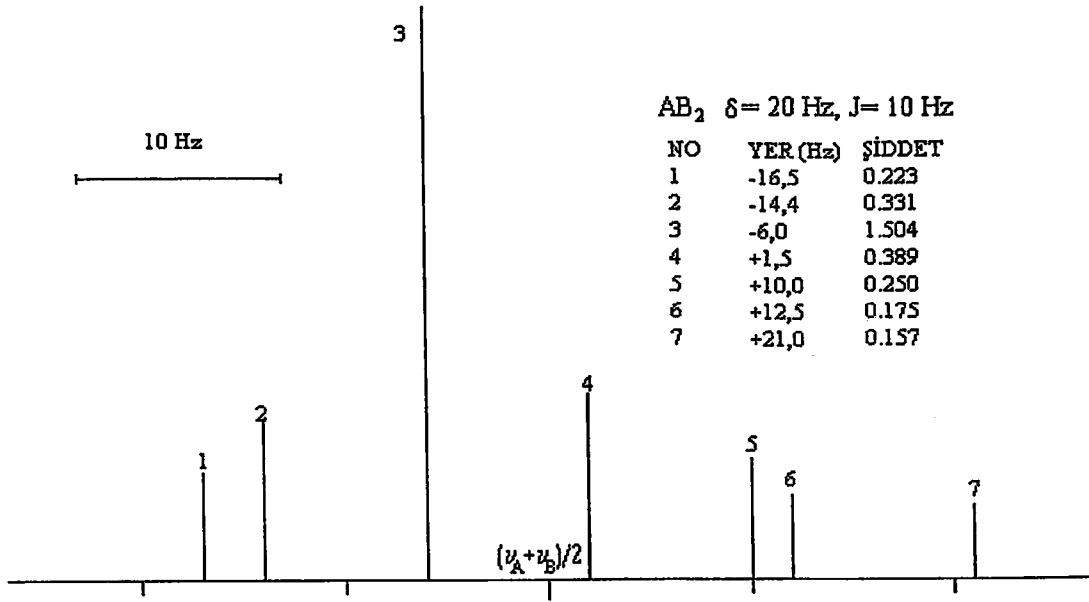
Şekil 4.1'de $\delta=20$ Hz, $J=10$ Hz alınarak elde edilmiş olan, AB_2 spektrumu görülüyor. Şekil 4.2'de $\delta=40$ Hz, $J=10$ Hz alınarak elde edilen spektrumda AB_2 'den AX_2 'ye gidiş belirginleşmektedir. Şekil 4.3'te $\delta=100$ Hz, $J=10$ Hz alındığında AX_2 sinyaline benzer bir sinyal bulunmuştur.

Şekil 4.4'te Benzil alkolün methylene ve hydroxyl grubu protonlarının deneysel ve $\delta = 48,60$ Hz , $J = 5,70$ Hz kuramsal spektrumları alt alta verilmiştir.

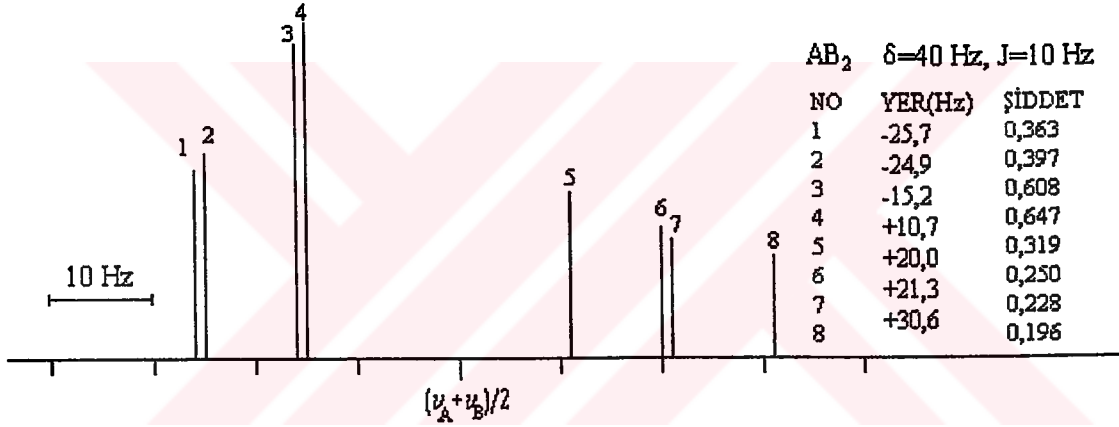
Şekil 4.5'te 1,2,3-Trichlorobenzen'in deneysel ve $\delta = 13,97$ Hz ve $J = 8,08$ Hz için elde ettiğimiz kuramsal spektrumları alt alta verilmiştir.

Tablo 4.2. AB₂ Sisteminin geçiş frekansları ve şiddetleri.

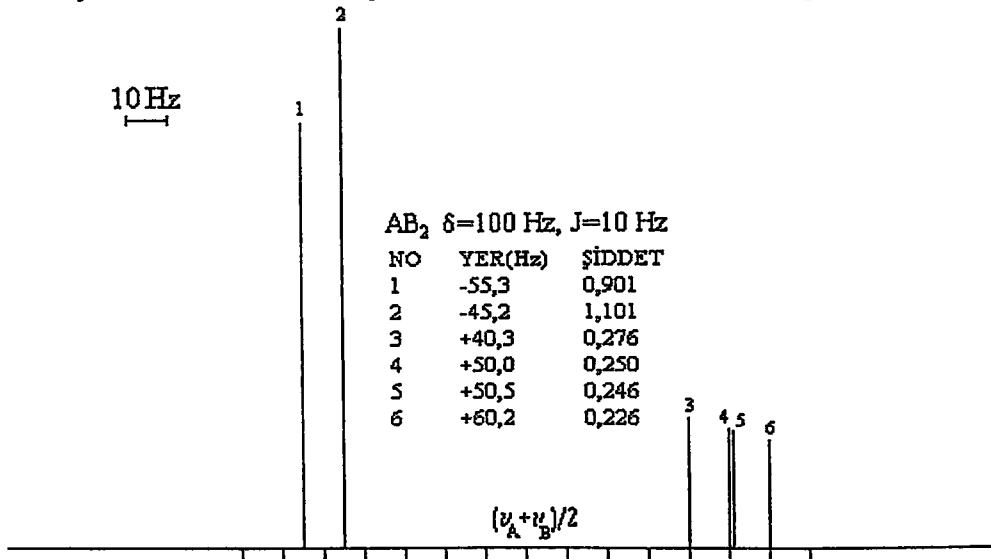
P _{ij}	Geçiş Türü	1.Örnek		2.Örnek		3.Örnek		4.Örnek		5.Örnek	
		$\delta=100\text{Hz}, J=10\text{ Hz}$	Şiddet	$\delta=40\text{Hz}, J=10\text{ Hz}$	Geçiş Frekansı	Şiddet	$\delta=20\text{ Hz}, J=10\text{ Hz}$	Geçiş Frekansı	Şiddet	$\delta=13,97\text{ Hz}, J=8,08\text{ Hz}$	Geçiş Frekansı
P _{1,2}	B	-55,2624	0,448	-25,7003	0,362	-16,5139	0,222	-12,4610	0,184	-27,3269	0,438
P _{1,3}	A	40,2624	0,276	10,7003	0,319	1,5139	0,389	0,3410	0,408	18,7769	0,281
P _{2,4}	B	-54,9752	0,454	-24,8486	0,398	-14,4490	0,332	-10,4537	0,316	-27,1305	0,446
P _{2,5}	A	50,5000	0,246	21,2492	0,228	12,4768	0,175	9,2857	0,156	24,6343	0,245
P _{3,5}	B	-45,0248	0,554	-15,1514	0,646	-5,5510	0,818	-3,5163	0,870	-21,4695	0,564
P _{4,6}	A	60,2376	0,226	30,5489	0,196	20,9629	0,157	15,9297	0,148	30,1574	0,223
P _{5,6}	B	-45,2376	0,548	-15,5489	0,608	-5,9629	0,686	-3,8097	0,704	-21,6074	0,556
P _{7,8}	A	50,0000	0,250	20,0000	0,250	10,0000	0,250	6,9850	0,250	24,300	0,250



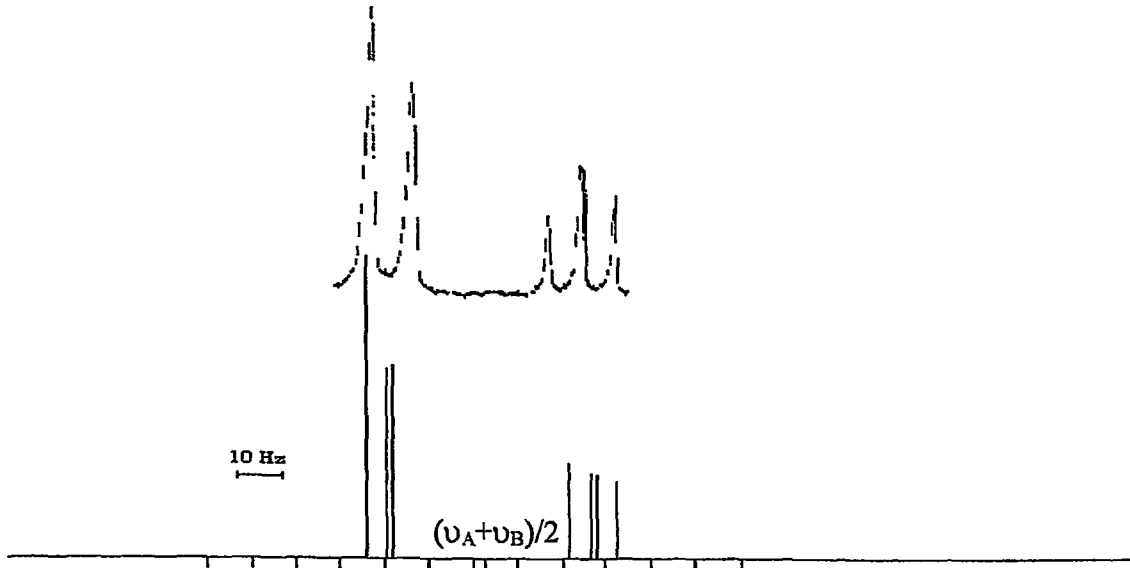
Şekil 4.1. AB₂ sistemi için $\delta=20$ Hz, J=10 Hz için örnek spektrum.



Şekil 4.2. AB₂ sistemi için $\delta=40$ Hz, J=10 Hz için örnek spektrum.

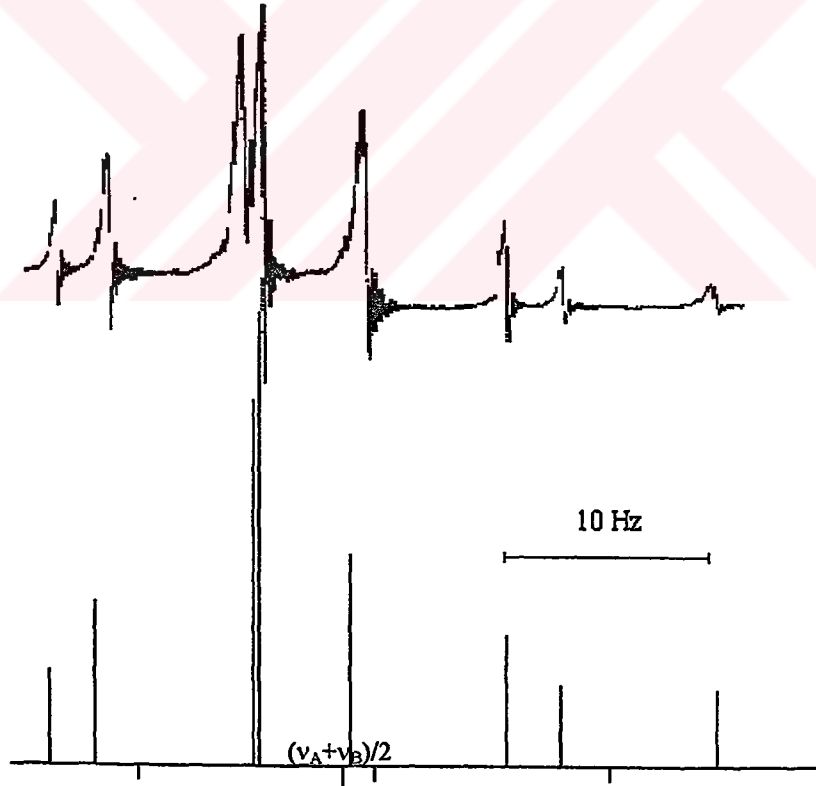


Şekil 4.3. AB₂ sistemi için $\delta=100$ Hz, J=10 Hz için örnek spektrum.



Şekil 4.4. Benzyl alkolün methylene ve hydroxyl grubu protonlarının deneysel ve kuramsal proton spektrumu. ($\delta = 48,60$ Hz ve $J = 5,70$ Hz).

KAYNAK: P.L. Corio, Structure of High-Resolution NMR spectra, Academic Press New York, 1966, s.201



Şekil 4.5. 1,2,3-Trichlorobenzen'in deneysel ve kuramsal proton spektrumu. ($\delta = 13,97$ Hz ve $J = 8,08$ Hz).

KAYNAK: P.L. Corio, Structure of High-Resolution NMR spectra, Academic Press New York, 1966, s.202

4.2 A₂B₂ Sistemi.

4.2.1. Karıştırma katsayıları;

Aynı F_z , I^A ve I^B değerine sahip φ_2 ve φ_3 dalga fonksiyonları $\Psi_2 = a\varphi_2 + b\varphi_3$ ve $\Psi_3 = a'\varphi_2 + b'\varphi_3$ olmak üzere iki dalga fonksiyonu verecek şekilde karışırlar. Aynı şekilde Aynı F_z , I^A ve I^B değerine sahip φ_4, φ_5 ve φ_6 dalga fonksiyonları karışarak $\Psi_4 = c\varphi_4 + d\varphi_5 + e\varphi_6$, $\Psi_5 = c'\varphi_4 + d'\varphi_5 + e'\varphi_6$ ve $\Psi_6 = c''\varphi_4 + d''\varphi_5 + e''\varphi_6$ olmak üzere üç dalga fonksiyonu verecek şekilde karışırlar. Aynı F_z , I^A ve I^B değerine sahip φ_7 ve φ_8 dalga fonksiyonları karışarak $\Psi_7 = k\varphi_7 + l\varphi_8$ ve $\Psi_8 = k'\varphi_7 + l'\varphi_8$ olmak üzere iki dalga fonksiyonu verecek şekilde karışırlar. Karıştırma katsayıları JACOBI programı kullanılarak elde edilmiş ve Çizelge 4.3'de gösterilmiştir.

4.2.2. Geçiş Olasılıkları.

NMR spektrumlarında geçiş olasılıkları aşağıdaki ifade ile elde edilir.

$$P_{ij} = \left[\langle \Psi_j | H'' | \Psi_i \rangle \right]^2$$

burada

$$H'' = \frac{1}{2} (I_+^A + I_-^A + I_+^B + I_-^B)$$

şeklinde dir. Karıştırma katsayıları cinsinden geçiş olasılıkları aşağıda hesaplanmıştır.

(1) \Leftrightarrow (2,3) geçişleri için:

$$P_{12} = \left[\langle a|+1,0\rangle + b|0,+1\rangle | H'' | +1,+1\rangle \right]^2 = \frac{1}{4}(a+b)^2, \quad P_{13} = \frac{1}{4}(a'+b')^2$$

(2,3) \Leftrightarrow (4,5,6) geçişleri için:

$$P_{24} = \left[\langle c|+1,-1\rangle + d|0,0\rangle + e|-1,+1\rangle | H'' | a|+1,0\rangle + b|0,+1\rangle \right]^2$$

$$P_{24} = \frac{1}{4}[a(c+d)+b(d+e)]^2, \quad P_{25} = \frac{1}{4}[a(c'+d')+b(d'+e')]^2, \quad P_{26} = \frac{1}{4}[a(c''+d'')+b(d''+e'')]^2$$

$$P_{34} = \frac{1}{4}[a'(c+d)+b'(d+e)]^2, \quad P_{35} = \frac{1}{4}[a'(c'+d')+b'(d'+e')]^2, \quad P_{36} = \frac{1}{4}[a'(c''+d'')+b'(d''+e'')]^2$$

(4,5,6) \Leftrightarrow (7,8) geçişleri için:

$$P_{47} = \left[\langle k|0,-1\rangle + l|-1,0\rangle | H'' | c|+1,-1\rangle + d|0,0\rangle + e|-1,+1\rangle \right]^2$$

$$P_{47} = \frac{1}{4}[k(c+d)+l(d+e)]^2, \quad P_{48} = \frac{1}{4}[k(c'+d')+l(d'+e')]^2$$

$$P_{57} = \frac{1}{4}[k'(c+d)+l'(d+e)]^2, \quad P_{58} = \frac{1}{4}[k'(c'+d')+l'(d'+e')]^2$$

Tablo 4.3. A_2B_2 sistemi için karıştırma katsayıları.

$\delta=100$ Hz, $J=10$ Hz		$\delta=40$ Hz, $J=10$ Hz	
a = 0,9988	b = 0,0498	a = 0,9925	b = 0,1222
a' = -0,0498	b' = 0,9988	a' = -0,1222	b' = 0,9925
c = 0,9990	d = 0,0452	c = 0,9951	d = 0,0982
c' = -0,0453	d' = 0,9974	c' = -0,0985	d' = 0,9819
c'' = 0,0011	d'' = -0,0554	c'' = 0,0061	d'' = -0,1619
f = 0,9988	g = 0,0498	f = 0,9925	g = 0,1222
f' = -0,0498	g' = 0,9988	f' = -0,1222	g' = 0,9925
			e = 0,0099
			e' = 0,1617
			e'' = 0,9868

Tablo 4.3. (Devamı).

$\delta=20$ Hz, $J=10$ Hz		$\delta=35,96$ Hz, $J=7$ Hz	
a = 0,9732	b = 0,2298	a = 0,9954	b = -0,0960
a' = -0,2298	b' = 0,9732	a' = 0,0960	b' = 0,9954
c = 0,9869	d = 0,1546	c = 0,9968	d = -0,0802
c' = -0,1602	d' = 0,9040	c' = 0,0801	d' = 0,9897
c'' = 0,0196	d'' = -0,3986	c'' = 0,0508	d'' = 0,1190
f = 0,9732	g = 0,2298	f = 0,9954	g = -0,0960
f' = -0,2298	g' = 0,9732	f' = 0,0960	g' = 0,9954
			e = 0,0038
			e' = -0,1191
			e'' = 0,9929

$$P_{67} = \frac{1}{4} [k''(c+d) + l''(d+e)]^2, \quad P_{68} = \frac{1}{4} [k''(c'+d') + l''(d'+e')]^2$$

(7,8) \leftrightarrow (9) geçişleri için:

$$P_{79} = \left[\langle -1, -1 | \mathcal{H}'' | k | 0, -1 \rangle + | -1, 0 \rangle \right]^2 = \frac{1}{4} (k+1)^2, \quad P_{8,9} = \frac{1}{4} (k'+1')^2$$

(10) \leftrightarrow (11), (11) \leftrightarrow (12), (13) \leftrightarrow (14) ve (14) \leftrightarrow (15) geçişleri için:

$$P_{10,11} = \left[\langle 0, 0 | \mathcal{H}'' | +1, 0 \rangle \right]^2 = 0,25, \quad P_{11,12} = \left[\langle -1, 0 | \mathcal{H}'' | 0, 0 \rangle \right]^2 = 0,25$$

$$P_{13,14} = \left[\langle 0, 0 | \mathcal{H}'' | 0, +1 \rangle \right]^2 = 0,25, \quad P_{14,15} = \left[\langle 0, -1 | \mathcal{H}'' | 0, 0 \rangle \right]^2 = 0,25$$

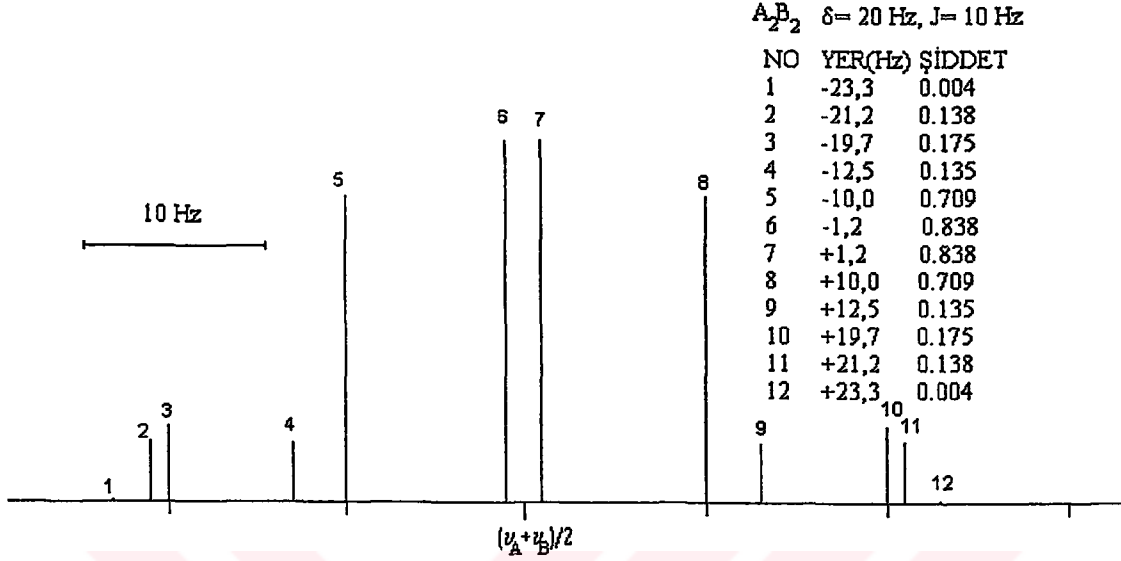
A_2B_2 sistemi için geçiş türü, geçiş frekansları ve şiddetleri Çizelge 4.4'de verilmiştir.

Şekil 4.6'da $\delta=20$ Hz, $J=10$ Hz alınarak elde edilmiş olan, A_2B_2 spektrumu görülüyor. Şekil 4.7'de $\delta=40$ Hz, $J=10$ Hz alınarak elde edilen spektrumda A_2B_2 'den A_2X_2 'ye gidiş belirginleşmektedir. Şekil 4.8'de $\delta=100$ Hz, $J=10$ Hz alındığında A_2X_2 sinyaline benzer bir sinyal bulunmuştur.

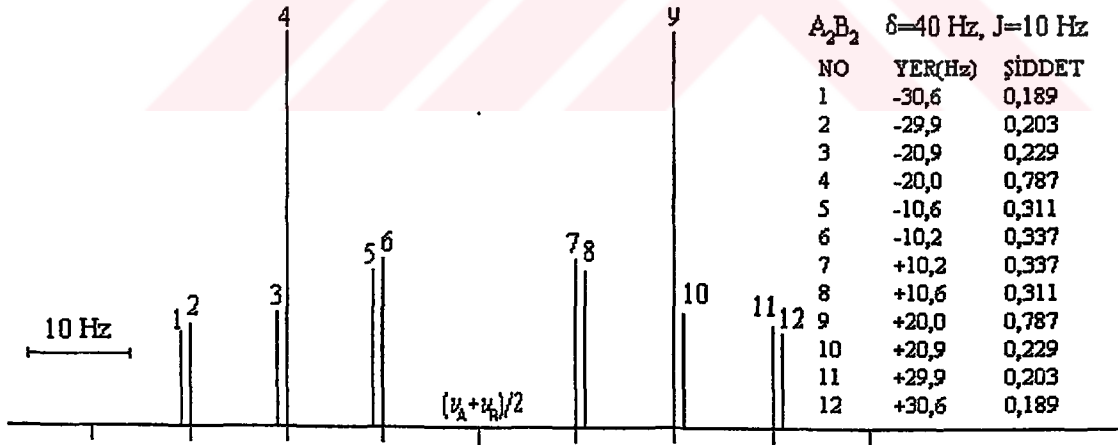
Şekil 4.9'da Pure ethylene monothiocarbonate protonlarının deneysel ve $\delta = 35,96$ Hz, $J = 7$ Hz kuramsal spektrumları alt alta verilmiştir.

Tablo 4.4. A₂B₂ Sisteminin geiř frekansları ve řiddetleri.

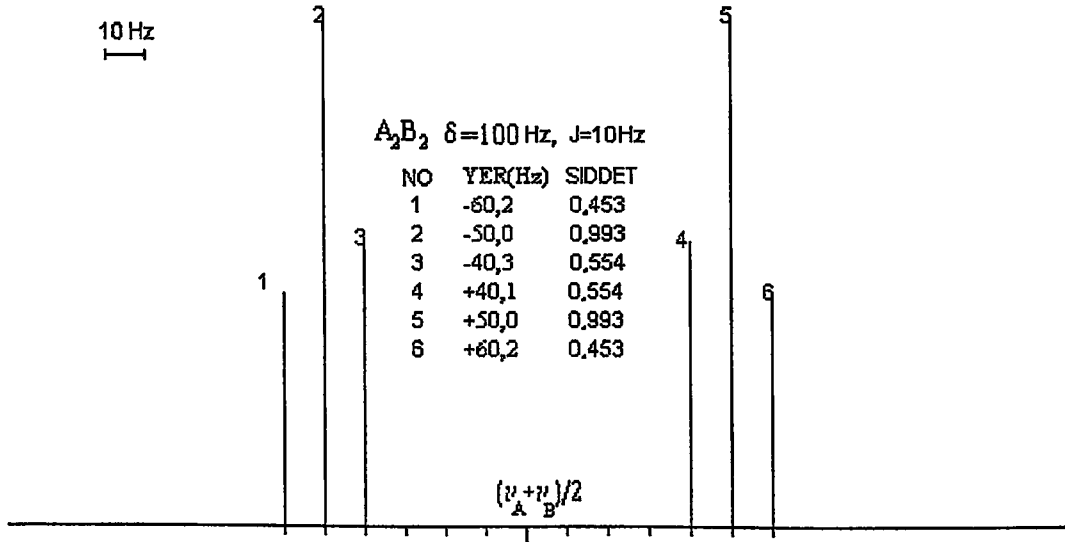
P _{ij}	Geiř Tr	1.rnek		2.rnek		3.rnek		4.rnek	
		$\delta=100\text{Hz}, J=10\text{ Hz}$	$\delta=40\text{ Hz}, J=10\text{ Hz}$	$\delta=20\text{ Hz}, J=10\text{ Hz}$	$\delta=35,96\text{ Hz}, J=7\text{ Hz}$				
		Geiř Frekansı	řiddet	Geiř Frekansı	řiddet	Geiř Frekansı	řiddet	Geiř Frekansı	řiddet
P _{1,2}	B	-60,2494	0,225	-30,6155	0,189	-21,1803	0,138	-25,3175	0,202
P _{1,3}	A	40,2494	0,275	10,6155	0,311	1,1803	0,362	11,3175	0,298
P _{2,4}	B	-59,9777	0,228	-29,8826	0,203	-19,6468	0,175	-24,9269	0,211
P _{2,5}	A	50,1992	0,247	20,2942	0,287	9,8463	0,209	18,1825	0,241
P _{3,5}	B	-50,2996	0,246	-20,9368	0,229	-12,5143	0,135	-18,4525	0,235
P _{2,6}	Karıřık	-	-	-	-	23,3414	0,004	-	-
P _{3,6}	A	40,0279	0,279	10,2039	0,337	0,9808	0,476	11,0619	0,315
P _{4,7}	A	59,9777	0,228	29,8826	0,203	19,6468	0,175	24,9269	0,211
P _{5,7}	B	-50,1992	0,247	-20,2943	0,287	-9,8463	0,209	-18,1825	0,241
P _{6,7}	Karıřık	-	-	-	-	-23,3414	0,004	-	-
P _{5,8}	A	50,2996	0,246	20,9368	0,229	12,5143	0,135	18,4525	0,235
P _{6,8}	B	-40,2494	0,279	-10,2039	0,337	-0,9808	0,476	-11,0619	0,315
P _{7,9}	A	60,2494	0,225	30,6155	0,189	21,1803	0,138	25,3175	0,202
P _{8,9}	B	-40,2494	0,275	-10,6155	0,311	-1,1803	0,362	-11,3175	0,298
P _{10,11}	A	50,0000	0,250	20,0000	0,250	10,0000	0,250	17,9800	0,250
P _{11,12}	A	50,0000	0,250	20,0000	0,250	10,0000	0,250	17,9800	0,250
P _{13,14}	B	-50,0000	0,250	-20,0000	0,250	-10,0000	0,250	-17,9800	0,250
P _{14,15}	B	-50,0000	0,250	-20,0000	0,250	-10,0000	0,250	-17,9800	0,250



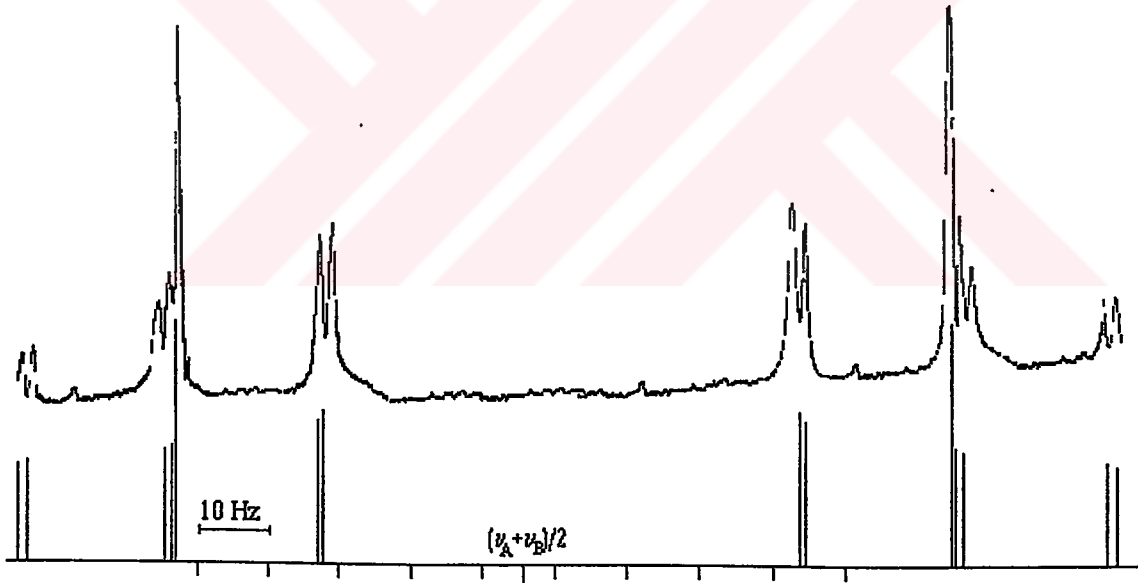
Şekil 4.6. A_2B_2 sistemi için $\delta=20$ Hz, $J=10$ Hz için örnek spektrum.



Şekil 4.7. A_2B_2 sistemi için $\delta=40$ Hz, $J=10$ Hz için örnek spektrum.



Şekil 4.8. A_2B_2 sistemi için $\delta=100$ Hz, $J=10$ Hz için örnek spektrum.



Şekil 4.9. Pure ethylene monothiocarbonate protonlarının deneysel ve kuramsal spektrumu ($\delta=35,96$ Hz, $J=7$ Hz).

KAYNAK: P.L. Corio, Structure of High-Resolution NMR spectra, Academic Press New York, 1966, s.241

4.3. A₂B₃ Sistemi.

4.3.1. Karıştırma Katsayıları;

Aynı F_z , I^A ve I^B değerine sahip φ_2 ve φ_3 dalga fonksiyonları $\Psi_2 = a\varphi_2 + b\varphi_3$ ve $\Psi_3 = a'\varphi_2 + b'\varphi_3$ olmak üzere iki dalga fonksiyonu verecek şekilde karışırlar. Aynı şekilde aynı F_z , I^A ve I^B değerine sahip φ_4, φ_5 ve φ_6 dalga fonksiyonları $\Psi_4 = c\varphi_4 + d\varphi_5 + e\varphi_6$, $\Psi_5 = c'\varphi_4 + d'\varphi_5 + e'\varphi_6$ ve $\Psi_6 = c''\varphi_4 + d''\varphi_5 + e''\varphi_6$ olmak üzere üç dalga fonksiyonu verecek şekilde karışırlar. Aynı şekilde aynı F_z , I^A ve I^B değerine sahip φ_7, φ_8 ve φ_9 dalga fonksiyonları $\Psi_7 = f\varphi_7 + g\varphi_8 + h\varphi_9$, $\Psi_8 = f'\varphi_7 + g'\varphi_8 + h'\varphi_9$ ve $\Psi_9 = f''\varphi_7 + g''\varphi_8 + h''\varphi_9$ olmak üzere üç dalga fonksiyonu verecek şekilde karışırlar. Aynı şekilde aynı F_z , I^A ve I^B değerine sahip φ_{10} ve φ_{11} dalga fonksiyonları $\Psi_{10} = j\varphi_{10} + k\varphi_{11}$ ve $\Psi_{11} = j'\varphi_{10} + k'\varphi_{11}$ olmak üzere iki dalga fonksiyonu verecek şekilde karışırlar. Aynı şekilde aynı F_z , I^A ve I^B değerine sahip φ_{14} ve φ_{15} dalga fonksiyonları $\Psi_{14} = l\varphi_{14} + m\varphi_{15}$ ve $\Psi_{15} = l'\varphi_{14} + m'\varphi_{15}$ olmak üzere iki dalga fonksiyonu verecek şekilde karışırlar. Aynı şekilde aynı F_z , I^A ve I^B değerine sahip φ_{16} ve φ_{17} dalga fonksiyonları $\Psi_{16} = p\varphi_{16} + q\varphi_{17}$ ve $\Psi_{17} = p'\varphi_{16} + q'\varphi_{17}$ olmak üzere iki dalga fonksiyonu verecek şekilde karışırlar. Karıştırma katsayıları JACOBI programı kullanılarak elde edilmiş ve Çizelge 4.5'de gösterilmiştir.

4.3.2. Geçiş Olasılıkları.

NMR spektrumlarında geçiş olasılıkları aşağıdaki ifade ile elde edilir.

$$P_{ij} = \left[\langle \Psi_j | H'' | \Psi_i \rangle \right]^2$$

burada

$$H'' = \frac{1}{2} (I_+^A + I_-^A + I_+^B + I_-^B)$$

şeklindedir. Karıştırma katsayıları cinsinden geçiş olasılıkları aşağıda hesaplanmıştır.

(1) \Leftrightarrow (2,3) geçişleri için:

$$P_{12} = \left[\langle a|+1,+1/2\rangle + b|0,+3/2\rangle |H''|+1,+3/2\rangle \right]^2 = \frac{1}{4}(a+b)^2, \quad P_{13} = \frac{1}{4}(a'+b')^2$$

(2,3) \Leftrightarrow (4,5,6) geçişleri için:

$$P_{24} = \left[\langle c|+1,-1/2\rangle + d|0,+1/2\rangle + e|-1,+3/2\rangle |H''|a|+1,+1/2\rangle + b|0,+3/2\rangle \right]^2$$

$$P_{24} = \frac{1}{4}[a(c+d)+b(d+e)]^2, \quad P_{25} = \frac{1}{4}[a(c'+d')+b(d'+e')]^2, \quad P_{26} = \frac{1}{4}[a(c''+d'')+b(d''+e'')]^2$$

$$P_{34} = \frac{1}{4}[a'(c+d)+b'(d+e)]^2, \quad P_{35} = \frac{1}{4}[a'(c'+d')+b'(d'+e')]^2, \quad P_{36} = \frac{1}{4}[a'(c''+d'')+b'(d''+e'')]^2$$

(4,5,6) \Leftrightarrow (7,8,9) geçişleri için:

$$P_{47} = \left[\langle f|+1,-3/2\rangle + g|0,-1/2\rangle + h|-1,+1/2\rangle |H''|c|+1,-1/2\rangle + d|0,+1/2\rangle + e|-1,+3/2\rangle \right]^2$$

$$P_{47} = \frac{1}{4}[c(f+g)+d(g+h)+eh]^2, \quad P_{48} = \frac{1}{4}[c(f'+g')+d(g'+h')+eh']^2$$

$$P_{49} = \frac{1}{4}[c(f''+g'')+d(g''+h'')+eh'']^2, \quad P_{57} = \frac{1}{4}[c'(f+g)+d'(g+h)+e'h]^2$$

$$P_{58} = \frac{1}{4}[c'(f'+g')+d'(g'+h')+e'h']^2, \quad P_{59} = \frac{1}{4}[c'(f''+g'')+d'(g''+h'')+e'h'']^2$$

$$P_{67} = \frac{1}{4}[c''(f+g)+d''(g+h)+e''h]^2, \quad P_{68} = \frac{1}{4}[c''(f'+g')+d''(g'+h')+e''h']^2$$

$$P_{69} = \frac{1}{4}[c''(f''+g'')+d''(g''+h'')+e''h'']^2$$

(7,8,9) \Leftrightarrow (10,11) geçişleri için:

$$P_{7,10} = \left[\langle j|0,-3/2\rangle + k|-1,-1/2\rangle |H''|f|+1,-3/2\rangle + g|0,-1/2\rangle + h|-1,+1/2\rangle \right]^2$$

$$P_{7,10} = \frac{1}{4}[j(f+g)+k(g+h)]^2, \quad P_{7,11} = \frac{1}{4}[j'(f+g)+k'(g+h)]^2$$

$$P_{8,10} = \frac{1}{4}[j(f'+g')+k(g'+h')]^2, \quad P_{8,11} = \frac{1}{4}[j'(f'+g')+k'(g'+h')]^2$$

$$P_{9,10} = \frac{1}{4}[j(f''+g'')+k(g''+h'')]^2, \quad P_{9,11} = \frac{1}{4}[j'(f''+g'')+k'(g''+h'')]^2$$

(10,11) \Leftrightarrow (12) geçişleri için:

$$P_{10,12} = \left[\langle -1,-3/2|H''|j|0,-3/2\rangle + k|-1,-1/2\rangle \right]^2 = \frac{1}{4}(j+k)^2, \quad P_{11,12} = \frac{1}{4}(j'+k')^2$$

(13) \Leftrightarrow (14,15) geçişleri için:

$$P_{13,14} = \left[\left\langle |1, -1/2\rangle + m|0, +1/2\rangle |H^n| +1, +1/2\rangle \right\rangle \right]^2 = \frac{1}{4}(1+m)^2, \quad P_{13,15} = \frac{1}{4}(1'+m')^2$$

(14,15) \Leftrightarrow (16,17) geçişleri için:

$$P_{14,16} = \left[\left\langle p|0, -1/2\rangle + q|-1, +1/2\rangle |H^n| |1, -1/2\rangle + m|0, +1/2\rangle \right\rangle \right]^2$$

$$P_{14,16} = \frac{1}{4} [p + m(p+q)]^2, \quad P_{14,17} = \frac{1}{4} [p' + m(p'+q)']^2$$

$$P_{15,16} = \frac{1}{4} [l'p + m'(p+q)]^2, \quad P_{15,17} = \frac{1}{4} [l'p' + m'(p'+q)']^2$$

(16,17) \Leftrightarrow (18) geçişleri için:

$$P_{16,18} = \left[\left\langle -1, -1/2 | \mathcal{H}^n | p|0, -1/2\rangle + q|-1, +1/2\rangle \right\rangle \right]^2 = \frac{1}{4}(p+q)^2, \quad P_{17,18} = \frac{1}{4}(p'+q')^2$$

(19) \Leftrightarrow (20), (20) \Leftrightarrow (21), (21) \Leftrightarrow (22) ve (23) \Leftrightarrow (24) geçişleri için:

$$P_{19,20} = \left[\left\langle 0, +1/2 | \mathcal{H}^n | 0, +3/2\rangle \right\rangle \right]^2 = 0,25, \quad P_{20,21} = \left[\left\langle 0, -1/2 | \mathcal{H}^n | 0, +1/2\rangle \right\rangle \right]^2 = 0,25$$

$$P_{21,22} = \left[\left\langle 0, -3/2 | \mathcal{H}^n | 0, -1/2\rangle \right\rangle \right]^2 = 0,25, \quad P_{23,24} = \left[\left\langle 0, -1/2 | \mathcal{H}^n | 0, +1/2\rangle \right\rangle \right]^2 = 0,25$$

A_2B_3 sistemi için geçiş türü, geçiş frekansları ve şiddetleri Çizelge 4.6'da verilmiştir.

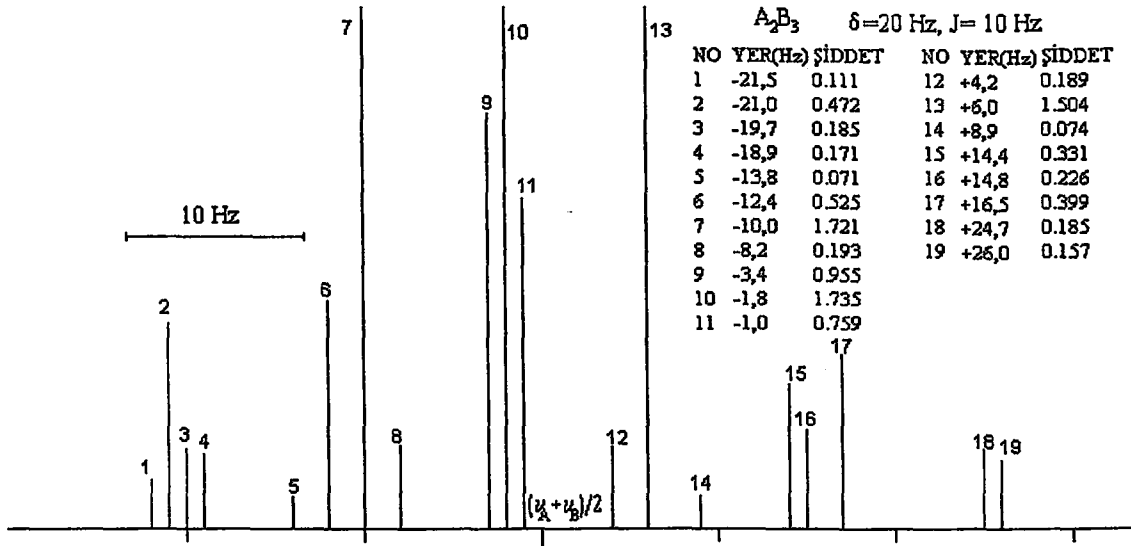
Şekil 4.10'da $\delta=20$ Hz, $J=10$ Hz alınarak elde edilmiş olan, A_2B_3 spektrumu görülmüyor. Şekil 4.11'de $\delta=40$ Hz, $J=10$ Hz alınarak elde edilen spektrumda A_2B_3 'den A_2X_3 'ye gidiş belirginleşmektedir. Şekil 4.12'de $\delta=100$ Hz, $J=10$ Hz alındığında A_2X_3 sinyaline benzer bir sinyal bulunmuştur. Şekil 4.13'de $\delta=54,1$ Hz, $J=7,5$ Hz alınarak elde edilmiş olan, A_2B_3 spektrumu görülmüyor.

Tablo 4.5. A_2B_3 sistemi için karıştırma katsayıları.

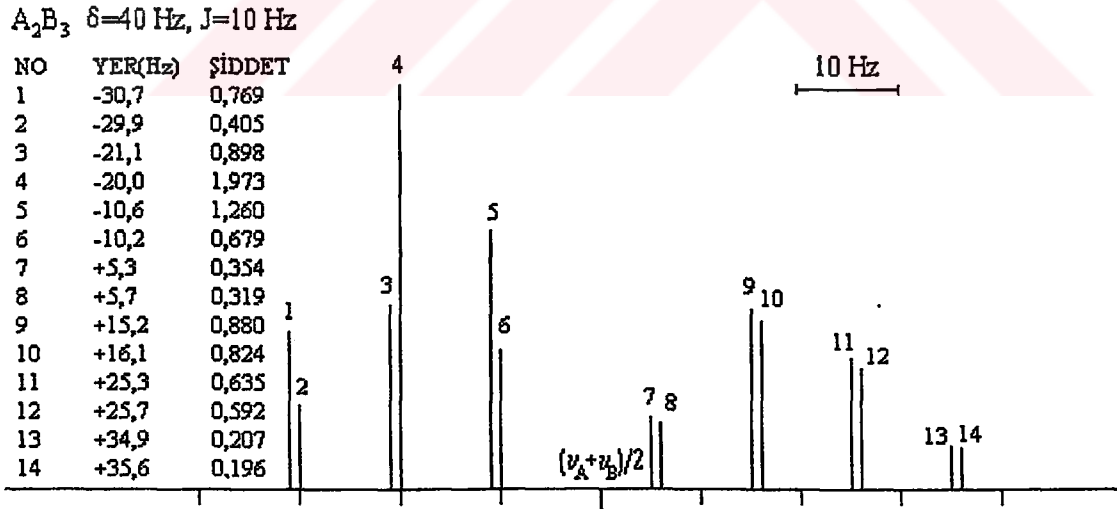
$\delta = 100$ Hz, $J = 10$ Hz		$\delta = 40$ Hz, $J = 10$ Hz		$\delta = 20$ Hz, $J = 10$ Hz		$\delta = 54,10$ Hz, $J = 7,50$ Hz	
a = 0,9986	b = -0,0524	a = 0,9903	b = -0,1387	a = 0,9571	b = -0,2898	a = 0,9973	b = -0,0739
a' = 0,0524	b' = 0,9986	a' = 0,1387	b' = 0,9903	a' = 0,2898	b' = 0,9571	a' = 0,0739	b' = 0,9573
c = 0,9989	d = -0,0474	c = 0,9940	d = -0,1086	c = 0,9815	d = -0,1739	c = 0,9979	d = -0,0642
c' = 0,0474	d' = 0,9972	c' = 0,1091	d' = 0,9754	c' = 0,1890	d' = 0,8133	c' = 0,0642	d' = 0,9942
c'' = 0,0012	d'' = 0,0586	c'' = 0,0077	d'' = 0,1918	c'' = 0,0305	d'' = 0,5553	c'' = 0,0032	d'' = 0,0868
e = 0,9991	f = -0,0433	e = 0,9959	f = -0,0896	e = 0,9902	f = -0,1364	e = 0,9984	f = -0,0570
e' = 0,0433	f' = 0,9977	e' = 0,0898	f' = 0,9861	e' = 0,1387	f' = 0,9447	e' = 0,0569	f' = 0,9956
e'' = 0,0010	f'' = 0,0525	e'' = 0,0050	f'' = 0,1399	e'' = 0,0137	f'' = 0,2981	e'' = 0,0024	f'' = 0,0740
g = 0,9989	h = -0,0475	g = 0,9940	h = -0,1091	g = 0,9820	h = -0,1891	g = 0,9979	h = -0,0644
g' = 0,0475	h' = 0,9989	g' = 0,1091	h' = 0,9940	g' = 0,1891	h' = 0,9820	g' = 0,0644	h' = 0,9979
i = 0,9989	j = -0,0475	i = 0,9940	j = -0,1091	i = 0,9820	j = -0,1891	i = 0,9979	j = -0,0644
i' = 0,0475	j' = 0,9989	i' = 0,1091	j' = 0,9940	i' = 0,1891	j' = 0,9820	i' = 0,0644	j' = 0,9979
k = 0,9986	l = -0,0524	k = 0,9903	l = -0,1387	k = 0,9571	l = -0,2898	k = 0,9973	l = -0,0739
k' = 0,0524	l' = 0,9986	k' = 0,1387	l' = 0,9903	k' = 0,2898	l' = 0,9571	k' = 0,0739	l' = 0,9973

Tablo 4.6. A_2B_3 Sisteminin geçiş frekansları ve şiddetleri.

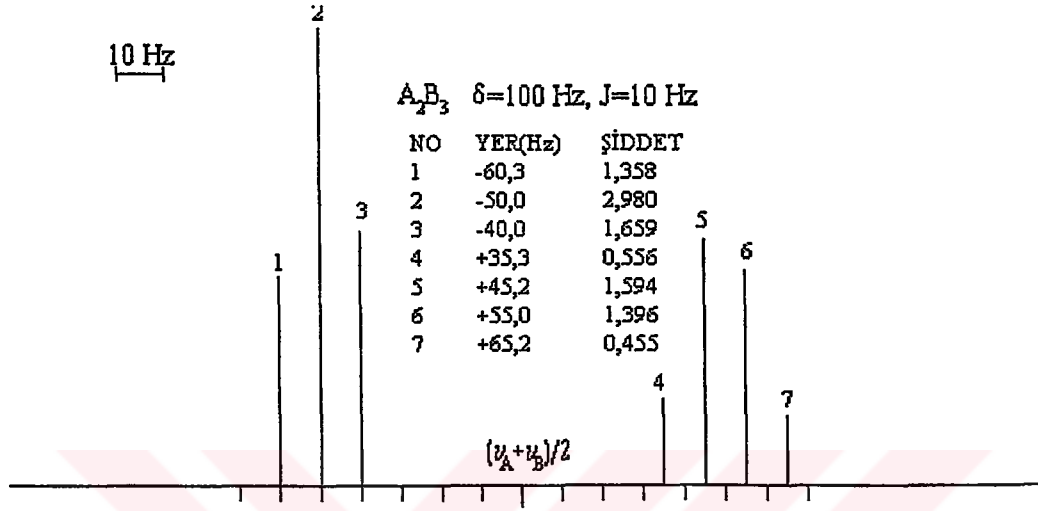
P_i	Geçiş Türü	1.Örnek		2.Örnek		3.Örnek		4.Örnek	
		$\delta=100$ Hz, $J=10$ Hz	Şiddet	$\delta=40$ Hz, $J=10$ Hz	Şiddet	$\delta=20$ Hz, $J=10$ Hz	Şiddet	$\delta=54,1$ Hz, $J=7,5$ Hz	Şiddet
		Geçiş Frekansı	Geçiş Frekansı	Geçiş Frekansı	Geçiş Frekansı	Geçiş Frekansı	Geçiş Frekansı	Geçiş Frekansı	Geçiş Frekansı
P_{12}	B	-60,2624	0,224	-30,7003	0,181	-21,5139	0,111	-34,8278	0,213
P_{13}	A	35,2624	0,276	5,7003	0,319	-3,4861	0,389	16,0778	0,287
P_{24}	B	-59,9754	0,227	-29,8528	0,198	-19,4779	0,162	-34,5148	0,219
P_{25}	A	45,2067	0,247	15,2777	0,233	4,1979	0,189	23,4937	0,244
P_{35}	B	-50,3181	0,246	-21,1229	0,215	-13,8299	0,071	-27,4119	0,242
P_{26}	Karışık	-	-	-	-	14,8217	0,010	-	-
P_{36}	A	35,0312	0,280	5,2754	0,354	-3,2061	0,566	15,8490	0,295
P_{47}	B	-59,9794	0,229	-29,9000	0,207	-19,7180	0,185	-34,5223	0,222
P_{48}	A	55,1922	0,248	25,3006	0,238	15,4429	0,216	30,9791	0,245
P_{58}	B	-49,9899	0,247	-19,8299	0,235	-8,2329	0,193	-27,0294	0,245
P_{68}	Karışık	-	-	-	-	-18,8567	0,009	-	-
P_{59}	A	45,3185	0,246	16,1282	0,215	8,8716	0,074	23,6625	0,242
P_{69}	B	-40,0308	0,280	-10,2701	0,354	-1,7522	0,569	-19,5984	0,295
P_{710}	A	64,9736	0,229	34,9042	0,207	24,7469	0,185	38,2728	0,222
P_{810}	B	-50,1920	0,247	-20,2964	0,239	-10,4140	0,221	-27,2286	0,245
P_{911}	A	55,2832	0,247	25,8014	0,230	16,5118	0,176	31,1056	0,244
P_{911}	B	-40,0252	0,277	-10,1567	0,324	-0,5927	0,416	-19,5863	0,288
P_{1012}	A	65,2376	0,226	35,5489	0,196	25,9629	0,157	38,5421	0,218
P_{1112}	B	-40,2376	0,247	-10,5489	0,304	-0,9629	0,343	-19,7921	0,282
P_{1314}	B	-60,2376	0,678	-30,5489	0,588	-20,9629	0,471	-34,7921	0,654
P_{315}	A	45,2376	0,548	15,5489	0,608	5,9629	0,686	23,5361	0,564
P_{316}	A	54,9752	0,454	24,8486	0,398	14,4490	0,332	30,7643	0,438
P_{1516}	B	-50,5000	0,738	-21,2492	0,684	-12,4768	0,525	-27,5639	0,729
P_{1517}	A	45,0248	0,554	15,1514	0,646	5,5510	0,818	23,3417	0,576
P_{1618}	A	55,2624	0,448	25,7003	0,362	16,5139	0,222	31,0778	0,426
P_{1718}	B	-40,2624	0,828	-10,7003	0,957	-1,5139	1,167	-19,8278	0,861
P_{1920}	B	-50,0000	0,250	-20,0000	0,250	-10,0000	0,250	-27,0500	0,250
P_{2021}	B	-50,0000	0,250	-20,0000	0,250	-10,0000	0,250	-27,0500	0,250
P_{2122}	B	-50,0000	0,250	-20,0000	0,250	-10,0000	0,250	-27,0500	0,250
P_{2324}	B	-50,0000	0,750	-20,0000	0,750	-10,0000	0,750	-27,0500	0,750



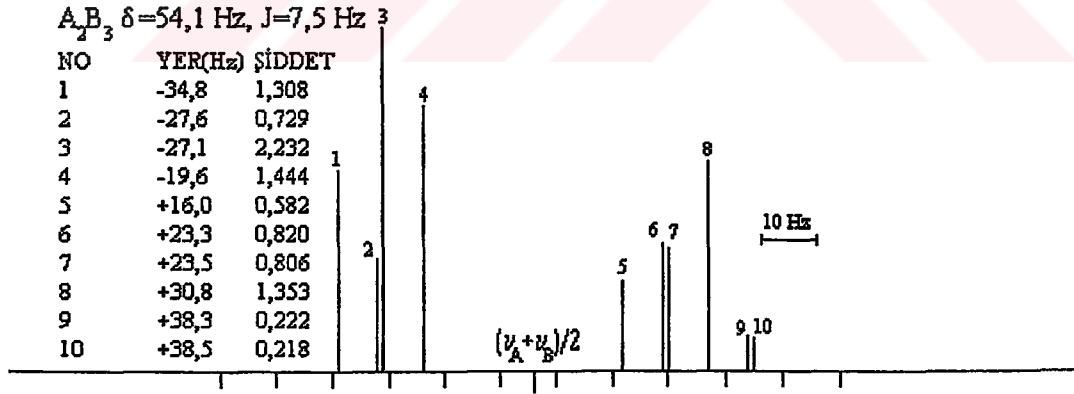
Şekil 4.10. A_2B_3 sistemi için $\delta=20$ Hz, $J=10$ Hz için örnek spektrum



Şekil 4.11. A_2B_3 sistemi için $\delta=40$ Hz, $J=10$ Hz için örnek spektrum.



Şekil 4.12. A_2B_3 sistemi için $\delta=100$ Hz, $J=10$ Hz için örnek spektrum.



Şekil 4.13. A_2B_3 sistemi için $\delta=54,1$ Hz, $J=7,5$ Hz için örnek spektrum.

4.4. ABC Sistemi (ANX Sistemi).

4.4.1. Karıştırma Katsayıları;

Aynı F_z , I^A , I^B ve I^C değerine sahip φ_2, φ_3 ve φ_4 dalga fonksiyonları $\Psi_2 = a\varphi_2 + b\varphi_3 + c\varphi_4$, $\Psi_3 = a'\varphi_2 + b'\varphi_3 + c'\varphi_4$ ve $\Psi_4 = a''\varphi_2 + b''\varphi_3 + c''\varphi_4$ olmak üzere üç dalga fonksiyonu verecek şekilde karışırlar. Aynı şekilde aynı F_z , I^A , I^B ve I^C değerine sahip φ_5, φ_6 ve φ_7 dalga fonksiyonları $\Psi_5 = d\varphi_5 + e\varphi_6 + f\varphi_7$, $\Psi_6 = d'\varphi_5 + e'\varphi_6 + f'\varphi_7$ ve $\Psi_7 = d''\varphi_5 + e''\varphi_6 + f''\varphi_7$ olmak üzere üç dalga fonksiyonu verecek şekilde karışırlar. Karıştırma katsayıları JACOBI programı kullanılarak elde edilmiş ve Çizelge 4.7'de gösterilmiştir.

4.4.2. Geçiş Olasılıkları.

NMR spektrumlarında geçiş olasılıkları aşağıdaki ifade ile verilir.

$$P_{ij} = \left[\langle \Psi_j | H'' | \Psi_i \rangle \right]^2$$

burada

$$H'' = \frac{1}{2} (I_+^A + I_-^A + I_+^B + I_-^B + I_-^C + I_-^C)$$

şeklindedir. Karıştırma katsayıları cinsinden geçiş olasılıkları aşağıda hesaplanmıştır.

(1) \Leftrightarrow (2,3,4) geçişleri için:

$$P_{12} = \left[\langle a|1/2, 1/2, -1/2\rangle + b|1/2, -1/2, 1/2\rangle + c|-1/2, 1/2, 1/2\rangle | \mathcal{H}'' | 1/2, 1/2, 1/2\rangle \right]^2$$

$$= \frac{1}{4} (a + b + c)^2, \quad P_{13} = \frac{1}{4} (a' + b' + c')^2, \quad P_{14} = \frac{1}{4} (a'' + b'' + c'')^2$$

(2,3,4) \Leftrightarrow (5,6,7) geçişleri için:

$$P_{25} = \left[\langle d|1/2, -1/2, -1/2\rangle + e|-1/2, 1/2, -1/2\rangle + f|-1/2, -1/2, 1/2\rangle | \mathcal{H}'' | a| 1/2, 1/2, -1/2\rangle + \right]_2$$

$$\left[b|1/2, -1/2, 1/2\rangle + c|-1/2, 1/2, 1/2\rangle \right]$$

$$P_{25} = \frac{1}{4} [a(d + e) + b(d + f) + c(e + f)]^2, \quad P_{26} = \frac{1}{4} [a(d' + e') + b(d' + f') + c(e' + f')]^2$$

$$P_{27} = \frac{1}{4} [a(d'' + e'') + b(d'' + f'') + c(e'' + f'')]^2, P_{35} = \frac{1}{4} [a'(d + e) + b'(d + f) + c'(e + f)]^2$$

$$P_{36} = \frac{1}{4} [a'(d' + e') + b'(d' + f') + c'(e' + f')]^2, P_{37} = \frac{1}{4} [a''(d'' + e'') + b''(d'' + f'') + c''(e'' + f'')]^2$$

$$P_{45} = \frac{1}{4} [a''(d + e) + b''(d + f) + c''(e + f)]^2, P_{46} = \frac{1}{4} [a''(d' + e') + b''(d' + f') + c''(e' + f')]^2$$

$$P_{47} = \frac{1}{4} [a''(d'' + e'') + b''(d'' + f'') + c''(e'' + f'')]^2$$

(5,6,7) \leftrightarrow (8) geçişleri için:

$$P_{58} = [\langle -1/2, -1/2, -1/2 | \mathcal{R}'' | d | 1/2, -1/2, -1/2 \rangle + e | -1/2, 1/2, -1/2 \rangle + f | -1/2, -1/2, 1/2 \rangle]^2$$

$$= \frac{1}{4} (d + e + f)^2 \quad P_{68} = \frac{1}{4} (d' + e' + f')^2 \quad P_{78} = \frac{1}{4} (d'' + e'' + f'')^2$$

ABC Sistemi için geçiş türü, geçiş frekansları ve şiddetleri Çizelge 4.8'de verilmiştir.

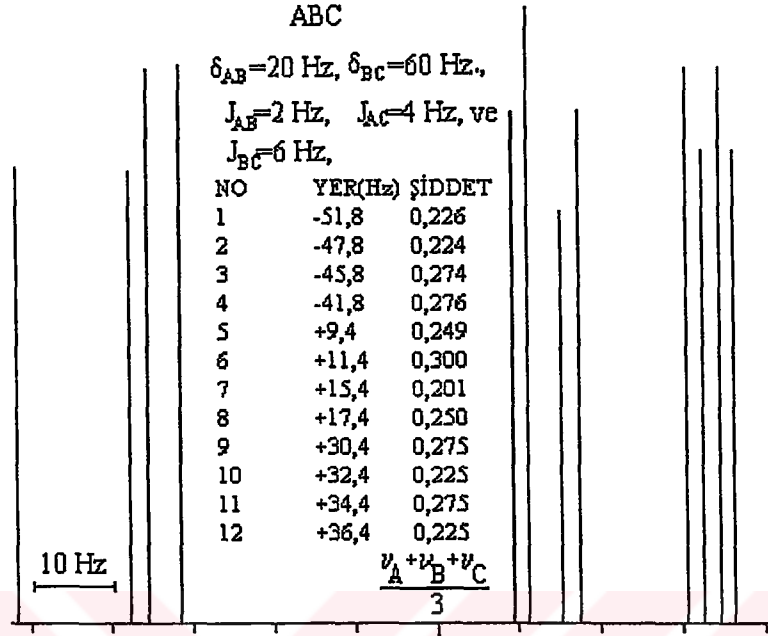
Şekil 4.14'de $\delta_{AB}=20$ Hz, $\delta_{BC}=60$ Hz, $J_{AB}=2$ Hz, $J_{AC}=4$ Hz ve $J_{BC}=6$ Hz alınarak elde edilmiş olan ABC spektrumu görülmüyor. Şekil 4.15'de $\delta_{AB}=10$ Hz, $\delta_{BC}=100$ Hz, $J_{AB}=1$ Hz, $J_{AC}=3$ Hz ve $J_{BC}=7$ Hz alınarak elde edilen spektrumda ABC'den ANX'e gidış belirginleşmektedir.

Tablo 4.7. ABC (ANX) sistemi için karıştırma katsayıları.

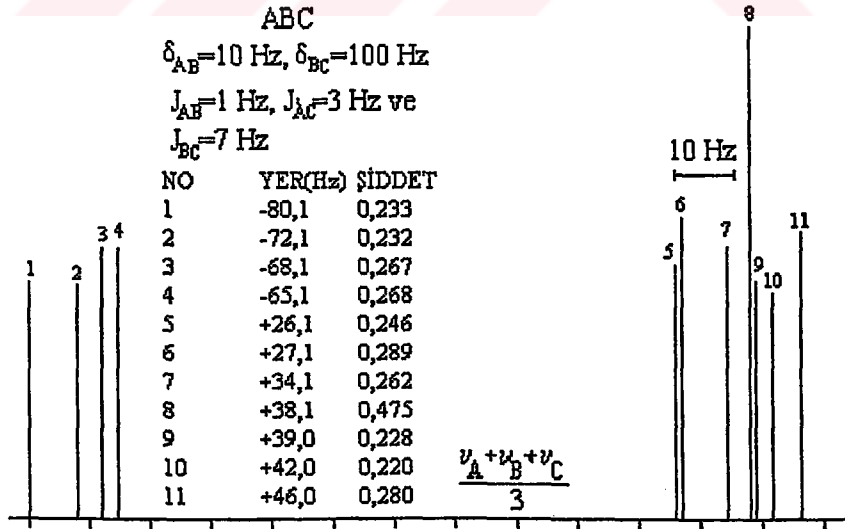
$\delta_{AB} = 20$ Hz, $\delta_{BC} = 60$ Hz, $J_{AB} = 2$ Hz, $J_{AC} = 4$ Hz ve $J_{BC} = 6$ Hz			$\delta_{AB} = 10$ Hz, $\delta_{BC} = 100$ Hz, $J_{AB} = 1$ Hz, $J_{AC} = 3$ Hz ve $J_{BC} = 7$ Hz			$\delta_{AB} = 18,71$ Hz, $\delta_{BC} = 146,09$ Hz, $J_{AB} = 1,45$ Hz, $J_{AC} = 6,37$ Hz ve $J_{BC} = 14,01$ Hz			$\delta_{AN} = 28,60$ Hz, $\delta_{NX} = 40,80$ Hz, $J_{AN} = 8,60$ Hz, $J_{AX} = 1,70$ Hz ve $J_{NX} = 0,80$ Hz		
a = 0,9988	b = -0,0490	c = 0,0006	a = 0,9988	b = -0,0490	c = 0,0006	a = 0,9989	b = -0,0470	c = 0,0002	a = 0,9999	b = -0,0106	c = 0,0007
d' = 0,0489	b' = 0,9977	c' = -0,0477	d' = 0,0489	b' = 0,9977	c' = -0,0477	d' = 0,0470	b' = 0,9984	c' = -0,0326	d' = 0,0106	b' = 0,9890	c' = -0,1477
d'' = 0,0017	b'' = 0,0477	c'' = 0,9989	d'' = 0,0017	b'' = 0,0477	c'' = 0,9989	d'' = 0,0013	b'' = 0,0325	c'' = 0,9995	d'' = 0,0009	b'' = 0,1477	c'' = 0,9890
d = 0,9986	e = -0,0523	f = 0,0020	d = 0,9986	e = -0,0523	f = 0,0020	d = 0,9988	e = -0,0485	f = 0,0021	d = 0,9897	e = -0,1434	f = 0,0008
d' = 0,0523	e' = 0,9973	f' = -0,0506	d' = 0,0523	e' = 0,9973	f' = -0,0506	d' = 0,0486	e' = 0,9976	f' = -0,0486	d' = 0,1434	e' = 0,9896	f' = -0,0091
d'' = 0,0006	e'' = 0,0507	f'' = 0,9987	d'' = 0,0006	e'' = 0,0507	f'' = 0,9987	d'' = 0,0002	e'' = 0,0486	f'' = 0,9988	d'' = 0,0005	e'' = 0,0091	f'' = 1,0000

Tablo 4.8. ABC (ANX) Sisteminin geçiş frekansları ve şiddetleri.

P _{ij}	Geçiş Türü	1.Örnek		2. Örnek		3. Örnek		4. Örnek	
		Geçiş Frekansı	Şiddet	Geçiş Frekansı	Şiddet	Geçiş Frekansı	Şiddet	Geçiş Frekansı	Şiddet
		$\delta_{AB}=20$ Hz, $\delta_{BC}=60$ Hz, $J_{AB}=2$ Hz, $J_{AC}=4$ Hz ve $J_{BC}=6$ Hz		$\delta_{AN}=28,6$ Hz, $\delta_{NX}=40,8$ Hz, $J_{AN}=8,6$ Hz, $J_{AX}=1,7$ Hz ve $J_{NX}=0,8$ Hz		$\delta_{AB}=18,71$ Hz, $\delta_{BC}=146.09$ Hz, $J_{AB}=1.45$ Hz, $J_{AC}=6.37$ Hz ve $J_{BC}=14.01$ Hz		$\delta_{AB}=10$ Hz, $\delta_{BC}=100$ Hz, $J_{AB}=1$ Hz, $J_{AC}=3$ Hz ve $J_{BC}=7$ Hz	
P _{1,2}	C (X)	-51,8139	0,226	-37,9876	0,245	-114,1496	0,227	-80,1212	0,233
P _{1,3}	B (N)	9,4328	0,249	-1,2712	0,181	35,0360	0,256	26,1002	0,246
P _{1,4}	A	30,3811	0,275	28,1589	0,324	57,2836	0,267	38,0210	0,272
P _{2,5}	B	15,4278	0,201	-0,4523	0,175	49,0337	0,203	38,0896	0,203
P _{3,5}	C (X)	-45,8139	0,274	-37,1687	0,255	-100,1519	0,273	-68,1318	0,267
P _{2,6}	A	34,3812	0,275	29,8404	0,320	63,6547	0,273	46,0292	0,280
P _{4,6}	C (X)	-47,8138	0,224	-36,3061	0,245	-107,7785	0,226	-72,1130	0,232
P _{3,7}	A	32,3811	0,225	36,7581	0,177	58,7448	0,233	39,0234	0,228
P _{4,7}	B (N)	11,4328	0,300	7,3280	0,328	36,4972	0,291	27,1026	0,289
P _{5,8}	A	36,3811	0,225	38,4399	0,179	65,1159	0,227	42,0316	0,220
P _{6,8}	B (N)	17,4327	0,250	8,1472	0,316	50,4949	0,249	34,0920	0,262
P _{7,8}	C (X)	-41,8139	0,276	-35,4869	0,255	-93,7808	0,274	-65,1236	0,268

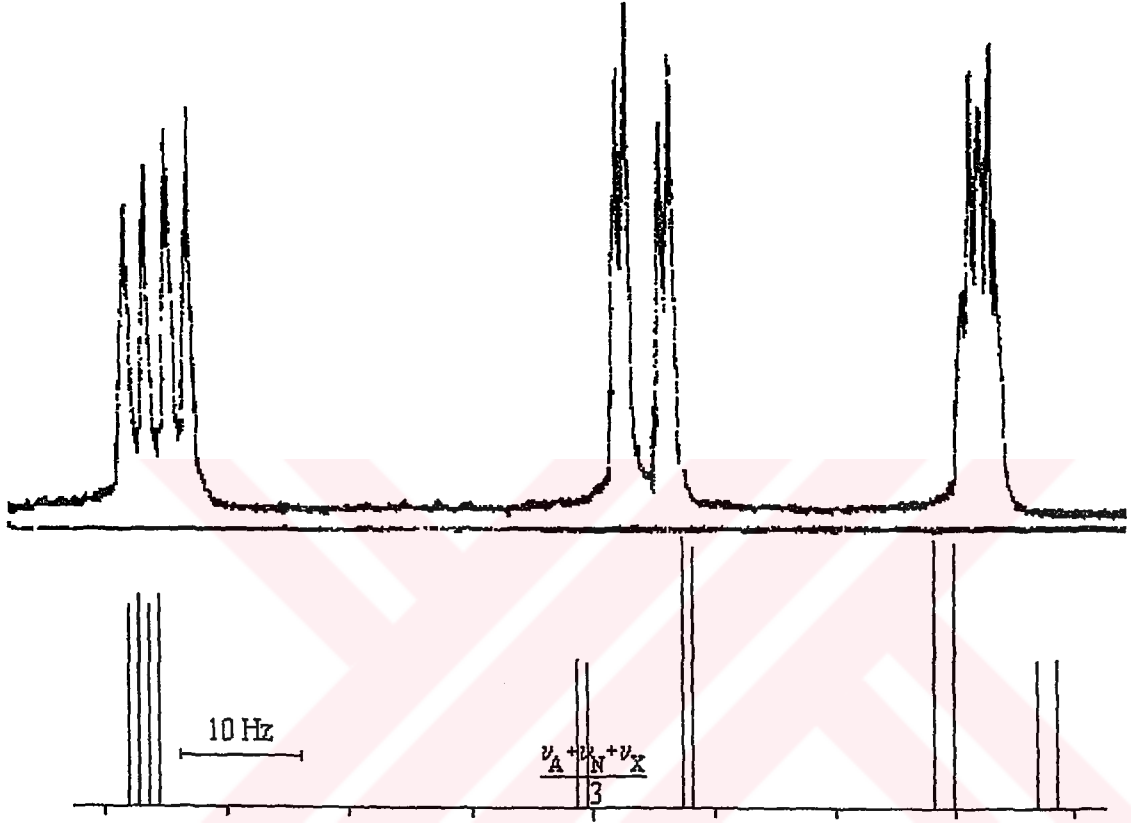


Şekil 4.14. ABC sisteminin $\delta_{AB}=20$ Hz, $\delta_{BC}=60$ Hz, $J_{AB}=2$ Hz, $J_{AC}=4$ Hz ve $J_{BC}=6$ Hz için örnek spektrum.



Şekil 4.15. ABC sisteminin $\delta_{AB}=10$ Hz, $\delta_{BC}=100$ Hz, $J_{AB}=1$ Hz, $J_{AC}=3$ Hz ve $J_{BC}=7$ Hz için örnek spektrum.

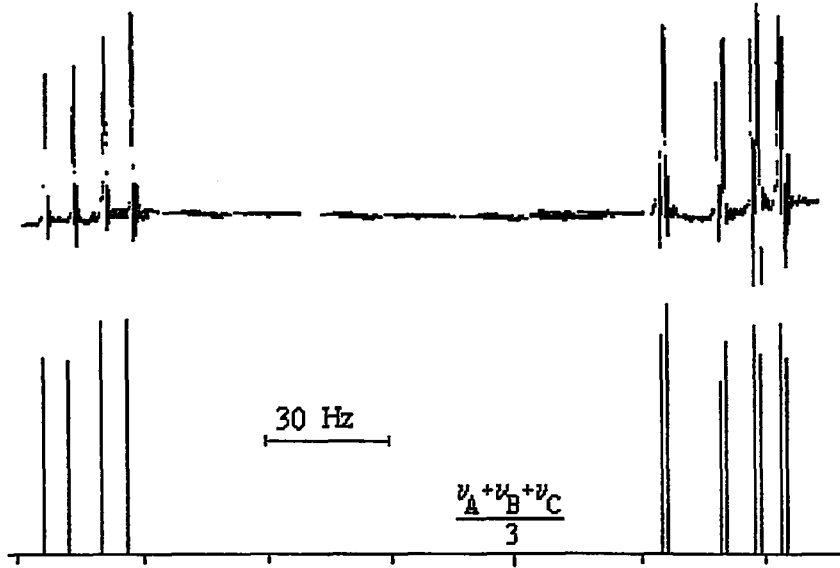
Çizelge 4.8'deki 2.Örnek parametre değerleri için elde edilen ANX kuramsal spektrumu ve Duran-2-aldehit maddesinin deneysel spektrumu Şekil 4.16'da gösterilmiştir.



Şekil 4.16. Çizelge 4.8'deki 2.Örnek parametre değerleri için elde edilen ANX kuramsal spektrumu ve Duran-2-aldehit maddesinin deneysel spektrumu.

KAYNAK: F. Apaydın, Magnetik Rezonans, Temel İlkeler, Deney Düzenekleri, Ölçüm Yöntemleri, Ankara, 1991, s.312

Çizelge 4.8'deki 3.Örnek parametre değerleri için elde edilen ABC kuramsal spektrumu ve saf vinil asetat bileşiğinde vinil protonları NMR deneysel spektrumu Şekil 4.17'de gösterilmiştir.



Şekil 4.17. Çizelge 4.8'deki 3.Örnek parametre değerleri için elde edilen ABC kuramsal spektrumu ve saf vinil asetat bileşiğinde vinil protonları NMR deneysel spektrumu.

KAYNAK: P.L. Corio, Structure of High-Resolution NMR spectra, Academic Press New York, 1966, s.275

4.5. A₃BC Sistemi.

4.5.1. Karıştırma Katsayıları;

Aynı F_z , I^A , I^B ve I^C değerine sahip φ_2, φ_3 ve φ_4 dalga fonksiyonları $\Psi_2 = a\varphi_2 + b\varphi_3 + c\varphi_4$, $\Psi_3 = a'\varphi_2 + b'\varphi_3 + c'\varphi_4$ ve $\Psi_4 = a''\varphi_2 + b''\varphi_3 + c''\varphi_4$ olmak üzere üç dalga fonksiyonu verecek şekilde karışırlar. Aynı şekilde aynı F_z , I^A , I^B ve I^C değerine sahip $\varphi_5, \varphi_6, \varphi_7$ ve φ_8 dalga fonksiyonları $\Psi_5 = d\varphi_5 + e\varphi_6 + f\varphi_7 + g\varphi_8$, $\Psi_6 = d'\varphi_5 + e'\varphi_6 + f'\varphi_7 + g'\varphi_8$, $\Psi_7 = d''\varphi_5 + e''\varphi_6 + f''\varphi_7 + g''\varphi_8$ ve $\Psi_8 = d'''\varphi_5 + e'''\varphi_6 + f'''\varphi_7 + g'''\varphi_8$ olmak üzere dört dalga fonksiyonu verecek şekilde karışırlar. Aynı şekilde aynı F_z , I^A , I^B ve I^C değerine sahip $\varphi_9, \varphi_{10}, \varphi_{11}$ ve φ_{12} dalga fonksiyonları $\Psi_9 = h\varphi_9 + j\varphi_{10} + k\varphi_{11} + l\varphi_{12}$, $\Psi_{10} = h'\varphi_9 + j'\varphi_{10} + k'\varphi_{11} + l'\varphi_{12}$, $\Psi_{11} = h''\varphi_9 + j''\varphi_{10} + k''\varphi_{11} + l''\varphi_{12}$ ve $\Psi_{12} = h'''\varphi_9 + j'''\varphi_{10} + k'''\varphi_{11} + l'''\varphi_{12}$ olmak üzere dört dalga fonksiyonu verecek şekilde karışırlar. Aynı şekilde aynı F_z , I^A , I^B ve I^C değerine sahip $\varphi_{13}, \varphi_{14}$ ve φ_{15} dalga fonksiyonları $\Psi_{13} = m\varphi_{13} + n\varphi_{14} + o\varphi_{15}$, $\Psi_{14} = m'\varphi_{13} + n'\varphi_{14} + o'\varphi_{15}$ ve $\Psi_{15} = m''\varphi_{13} + n''\varphi_{14} + o''\varphi_{15}$ olmak üzere üç dalga fonksiyonu verecek şekilde karışırlar. Aynı şekilde aynı F_z , I^A , I^B ve I^C değerine sahip

$\varphi_{18}, \varphi_{19}$ ve φ_{20} dalga fonksiyonları $\Psi_{18} = p\varphi_{18} + q\varphi_{19} + r\varphi_{20}$,
 $\Psi_{19} = p'\varphi_{18} + q'\varphi_{19} + r'\varphi_{20}$ ve $\Psi_{20} = p''\varphi_{18} + q''\varphi_{19} + r''\varphi_{20}$ olmak üzere üç dalga
fonksiyonu verecek şekilde karışırlar. Aynı şekilde aynı F_z, I^A, I^B ve I^C değerine sahip
 $\varphi_{21}, \varphi_{22}$ ve φ_{23} dalga fonksiyonları $\Psi_{21} = s\varphi_{21} + t\varphi_{22} + v\varphi_{23}$,
 $\Psi_{22} = s'\varphi_{21} + t'\varphi_{22} + v'\varphi_{23}$ ve $\Psi_{23} = s''\varphi_{21} + t''\varphi_{22} + v''\varphi_{23}$ olmak üzere üç dalga
fonksiyonu verecek şekilde karışırlar. Karıştırma katsayıları JACOBI programı
kullanılarak elde edilmiş ve Çizelge 4.9'da gösterilmiştir.

4.5.2. Geçiş Olasılıkları;

NMR spektrumlarında geçiş olasılıkları aşağıdaki ifade ile verilir.

$$P_{ij} = \left[\langle \Psi_j | H'' | \Psi_i \rangle \right]^2$$

burada

$$H'' = \frac{1}{2} (I_+^A + I_-^A + I_+^B + I_-^B + I_+^C + I_-^C)$$

şekindedir. Karıştırma katsayıları cinsinden geçiş olasılıkları aşağıda hesaplanmıştır.

(1) \Leftrightarrow (2,3,4) geçişleri için:

$$P_{12} = \left[\langle a|3/2, 1/2, -1/2\rangle + b|3/2, -1/2, 1/2\rangle + c|1/2, 1/2, 1/2\rangle | H'' | 3/2, 1/2, 1/2 \rangle \right]^2$$

$$= \frac{1}{4} (a + b + c)^2, \quad P_{13} = \frac{1}{4} (a' + b' + c')^2, \quad P_{14} = \frac{1}{4} (a'' + b'' + c'')^2$$

(2,3,4) \Leftrightarrow (5,6,7,8) geçişleri için:

$$P_{25} = \left[\begin{array}{l} \langle d|3/2, -1/2, -1/2\rangle + e|1/2, 1/2, -1/2\rangle + f|1/2, -1/2, 1/2\rangle + g|-1/2, 1/2, 1/2\rangle | H'' | a|3/2, 1/2, -1/2\rangle + \\ b|3/2, -1/2, 1/2\rangle + c|1/2, 1/2, 1/2\rangle \end{array} \right]^2$$

$$P_{25} = \frac{1}{4} [a(d+e) + b(d+f) + c(e+f+g)]^2, \quad P_{26} = \frac{1}{4} [a(d'+e') + b(d'+f') + c(e'+f'+g')^2]$$

$$P_{27} = \frac{1}{4} [a(d''+e'') + b(d''+f'') + c(e''+f''+g'')]^2, \quad P_{28} = \frac{1}{4} [a(d''' + e''') + b(d''' + f''') + c(e''' + f''' + g''')]^2$$

$$P_{35} = \frac{1}{4} [a'(d+e) + b'(d+f) + c'(e+f+g)]^2, \quad P_{36} = \frac{1}{4} [a'(d'+e') + b'(d'+f') + c'(e'+f'+g')^2]$$

$$P_{37} = \frac{1}{4} [a''(d''+e'') + b''(d''+f'') + c''(e''+f''+g'')]^2, \quad P_{38} = \frac{1}{4} [a''(d''' + e''') + b''(d''' + f''') + c''(e''' + f''' + g''')]^2$$

$$P_{45} = \frac{1}{4} [a''(d+e) + b''(d+f) + c''(e+f+g)]^2, \quad P_{46} = \frac{1}{4} [a''(d'+e') + b''(d'+f') + c''(e'+f'+g')]^2$$

$$P_{47} = \frac{1}{4} [a''(d''+e'') + b''(d''+f'') + c''(e''+f''+g'')]^2, \quad P_{48} = \frac{1}{4} [a''(d'+e'') + b''(d''+f'') + c''(e''+f''+g'')]^2$$

(5,6,7,8) \leftrightarrow (9,10,11,12) geçişleri için:

$$P_{59} = \frac{1}{4} \left[\langle h|1/2, -1/2, -1/2\rangle + j|-1/2, 1/2, -1/2\rangle + k|-1/2, -1/2, 1/2\rangle + l|-3/2, 1/2, 1/2\rangle \right] \mathcal{R} \left[d|3/2, -1/2, -1/2\rangle + \right. \\ \left. e|1/2, 1/2, -1/2\rangle + f|1/2, -1/2, 1/2\rangle + g|-1/2, 1/2, 1/2\rangle \right]^2$$

$$P_{59} = \frac{1}{4} [dh + e(h+j) + f(h+k) + g(j+k+l)]^2, \quad P_{5,10} = \frac{1}{4} [dh' + e(h'+j') + f(h'+k') + g(j'+k'+l')]^2$$

$$P_{5,11} = \frac{1}{4} [dh'' + e(h''+j'') + f(h''+k'') + g(j''+k''+l'')]^2, \quad P_{5,12} = \frac{1}{4} [dh'' + e(h''+j'') + f(h''+k'') + g(j''+k''+l'')]^2$$

$$P_{69} = \frac{1}{4} [d'h + e'(h+j) + f'(h+k) + g'(j+k+l)]^2, \quad P_{6,10} = \frac{1}{4} [d'h' + e'(h'+j') + f'(h'+k') + g'(j'+k'+l')]^2$$

$$P_{6,11} = \frac{1}{4} [d'h'' + e'(h''+j'') + f'(h''+k'') + g'(j''+k''+l'')]^2, \quad P_{6,12} = \frac{1}{4} [d'h'' + e'(h''+j'') + f'(h''+k'') + g'(j''+k''+l'')]^2$$

$$P_{79} = \frac{1}{4} [d''h + e''(h+j) + f''(h+k) + g''(j+k+l)]^2, \quad P_{7,10} = \frac{1}{4} [d''h' + e''(h'+j') + f''(h'+k') + g''(j'+k'+l')]^2$$

$$P_{7,11} = \frac{1}{4} [d''h'' + e''(h''+j'') + f''(h''+k'') + g''(j''+k''+l'')]^2, \quad P_{7,12} = \frac{1}{4} [d''h'' + e''(h''+j'') + f''(h''+k'') + g''(j''+k''+l'')]^2$$

$$P_{89} = \frac{1}{4} [d'''h + e'''(h+j) + f'''(h+k) + g'''(j+k+l)]^2, \quad P_{8,10} = \frac{1}{4} [d'''h' + e'''(h'+j') + f'''(h'+k') + g'''(j'+k'+l')]^2$$

$$P_{8,11} = \frac{1}{4} [d'''h'' + e'''(h''+j'') + f'''(h''+k'') + g'''(j''+k''+l'')]^2, \quad P_{8,12} = \frac{1}{4} [d'''h'' + e'''(h''+j'') + f'''(h''+k'') + g'''(j''+k''+l'')]^2$$

(9,10,11,12) \leftrightarrow (13,14,15) geçişleri için:

$$P_{9,13} = \left[\langle m|-1/2, -1/2, -1/2\rangle + n|-3/2, 1/2, -1/2\rangle + o|-3/2, -1/2, 1/2\rangle \right] \mathcal{R} \left[h|1/2, -1/2, -1/2\rangle + \right. \\ \left. j|-1/2, 1/2, -1/2\rangle + k|-1/2, -1/2, 1/2\rangle + l|-3/2, 1/2, 1/2\rangle \right]^2$$

$$P_{9,13} = \frac{1}{4} [hm + j(m+n) + k(m+o) + l(n+o)]^2, \quad P_{9,14} = \frac{1}{4} [hm' + j(m'+n') + k(m'+o') + l(n'+o')]^2$$

$$P_{9,15} = \frac{1}{4} [hm'' + j(m''+n'') + k(m''+o'') + l(n''+o'')]^2, \quad P_{10,13} = \frac{1}{4} [h'm + j'(m+n) + k'(m+o) + l'(n+o)]^2$$

$$P_{10,14} = \frac{1}{4} [h'm' + j'(m'+n') + k'(m'+o') + l'(n'+o')]^2, \quad P_{10,15} = \frac{1}{4} [h'm'' + j'(m''+n'') + k'(m''+o'') + l'(n''+o'')]^2$$

$$P_{11,13} = \frac{1}{4} [h''m + j''(m+n) + k''(m+o) + l''(n+o)]^2, \quad P_{11,14} = \frac{1}{4} [h''m' + j''(m'+n') + k''(m'+o') + l''(n'+o')]^2$$

$$P_{11,15} = \frac{1}{4} [h''m'' + j''(m''+n'') + k''(m''+o'') + l''(n''+o'')]^2, \quad P_{12,13} = \frac{1}{4} [h''m + j''(m+n) + k''(m+o) + l''(n+o)]^2$$

$$P_{12,14} = \frac{1}{4} [h''m' + j''(m'+n') + k''(m'+o') + l''(n'+o')]^2, \quad P_{12,15} = \frac{1}{4} [h''m'' + j''(m''+n'') + k''(m''+o'') + l''(n''+o'')]^2$$

(13,14,15) \leftrightarrow (16) geçişleri için:

$$P_{13,16} = \left[\langle -3/2, -1/2, -1/2 \rangle | \mathcal{R}'' | m | -1/2, -1/2, -1/2 \rangle + n | -3/2, 1/2, -1/2 \rangle + o | -3/2, -1/2, 1/2 \rangle \right]^2$$

$$P_{13,16} = \frac{1}{4} (m + n + o)^2, \quad P_{14,16} = \frac{1}{4} (m' + n' + o')^2, \quad P_{15,16} = \frac{1}{4} (m'' + n'' + o'')^2$$

(17) \leftrightarrow (18,19,20) geçişleri için:

$$P_{17,18} = \left[\langle p | 1/2, 1/2, -1/2 \rangle + q | 1/2, -1/2, 1/2 \rangle + r | -1/2, 1/2, 1/2 \rangle | \mathcal{R}'' | 1/2, 1/2, 1/2 \rangle \right]^2$$

$$P_{17,18} = \frac{1}{4} (p + q + r)^2, \quad P_{17,19} = \frac{1}{4} (p' + q' + r')^2, \quad P_{17,20} = \frac{1}{4} (p'' + q'' + r'')^2$$

(18,19,20) \leftrightarrow (21,22,23) geçişleri için:

$$P_{18,21} = \left[\langle s | 1/2, -1/2, -1/2 \rangle + t | -1/2, 1/2, -1/2 \rangle + v | -1/2, -1/2, 1/2 \rangle | \mathcal{R}'' | p | 1/2, 1/2, -1/2 \rangle + \right. \\ \left. q | 1/2, -1/2, 1/2 \rangle + r | -1/2, 1/2, 1/2 \rangle \right]^2$$

$$P_{18,21} = \frac{1}{4} [p(s + t) + q(s + v) + r(t + v)]^2, \quad P_{18,22} = \frac{1}{4} [p(s' + t') + q(s' + v') + r(t' + v')]^2$$

$$P_{18,23} = \frac{1}{4} [p(s'' + t'') + q(s'' + v'') + r(t'' + v'')]^2, \quad P_{19,21} = \frac{1}{4} [p'(s + t) + q'(s + v) + r'(t + v)]^2$$

$$P_{19,22} = \frac{1}{4} [p'(s' + t') + q'(s' + v') + r'(t' + v')]^2, \quad P_{19,23} = \frac{1}{4} [p'(s'' + t'') + q'(s'' + v'') + r'(t'' + v'')]^2$$

$$P_{20,21} = \frac{1}{4} [p''(s + t) + q''(s + v) + r''(t + v)]^2, \quad P_{20,22} = \frac{1}{4} [p''(s' + t') + q''(s' + v') + r''(t' + v')]^2$$

$$P_{20,23} = \frac{1}{4} [p''(s'' + t'') + q''(s'' + v'') + r''(t'' + v'')]^2$$

(21,22,23) \leftrightarrow (24) geçişleri için:

$$P_{21,24} = \left[\langle -1/2, -1/2, -1/2 \rangle | \mathcal{R}'' | s | 1/2, -1/2, -1/2 \rangle + t | -1/2, 1/2, -1/2 \rangle + v | -1/2, -1/2, 1/2 \rangle \right]^2$$

$$P_{21,24} = \frac{1}{4} (s + t + v)^2, \quad P_{22,24} = \frac{1}{4} (s' + t' + v')^2, \quad P_{23,24} = \frac{1}{4} (s'' + t'' + v'')^2$$

A₃BC Sistemi için geçiş türü, geçiş frekansları ve şiddetleri benzer şekilde hesaplanmış ve Çizelge 4.10'da verilmiştir.

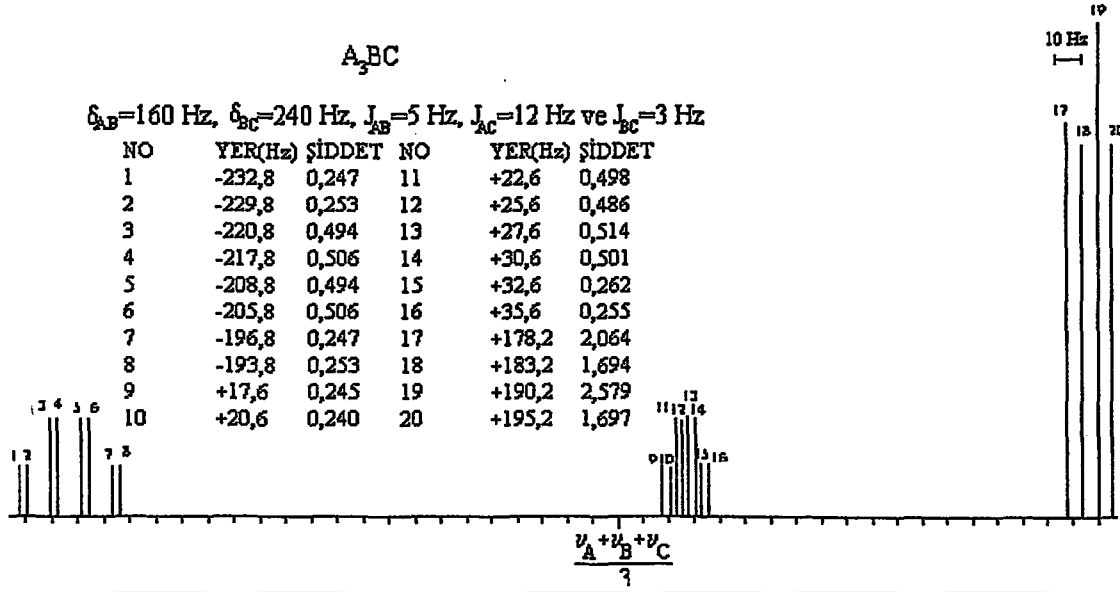
Tablo 4.9. A_3BC sistemi için karıştırma katsayıları.

$\delta_{AB} = 10$ Hz, $\delta_{BC} = 15$ Hz, $J_{AB} = 5$ Hz, $J_{AC} = 12$ Hz ve $J_{BC} = 3$ Hz			$\delta_{AB} = 160$ Hz, $\delta_{BC} = 240$ Hz, $J_{AB} = 5$ Hz, $J_{AC} = 12$ Hz ve $J_{BC} = 3$ Hz			$\delta_{AB} = 40$ Hz, $\delta_{BC} = 60$ Hz, $J_{AB} = 5$ Hz, $J_{AC} = 12$ Hz ve $J_{BC} = 3$ Hz		
a = 0,9983	b = -0,0577	c = 0,0038	a = 1,0000	b = -0,0060	c = 0,0000	a = 0,9998	b = -0,0212	c = 0,0005
a' = 0,0571	b' = 0,9735	c' = -0,2217	a' = 0,0060	b' = 0,9999	c' = -0,0156	a' = 0,0212	b' = 0,9979	c' = -0,0614
a'' = 0,0091	b'' = 0,2215	c'' = 0,9751	a'' = 0,0001	b'' = 0,0156	c'' = 0,9999	a'' = 0,0008	b'' = 0,0614	c'' = 0,9981
d = 0,9920	e = 0,1252	f = 0,0000	d = 0,9999	e = -0,0147	f = 0,0000	d = 0,9987	e = -0,0503	f = 0,0001
d' = 0,1247	e' = 0,9891	f' = -0,0783	d' = 0,0147	e' = 0,9999	f' = -0,0062	d' = 0,0503	e' = 0,9985	f' = -0,0236
d'' = 0,0156	e'' = 0,0741	f'' = 0,9282	d'' = 0,0001	e'' = 0,0062	f'' = 0,9999	d'' = 0,0012	e'' = 0,0235	f'' = 0,9973
d''' = -0,0131	e''' = 0,0238	f''' = 0,3638	d''' = 0,0002	e''' = 0,0001	f''' = 0,0161	d''' = -0,0020	e''' = 0,0012	f''' = 0,0699
h = 0,9856	j = -0,1652	k = 0,0000	h = 0,9999	j = -0,0152	k = 0,0000	h = 0,9984	j = -0,0559	k = 0,0000
h' = 0,1628	j' = 0,9777	k' = -0,1300	h' = 0,0152	j' = 0,9999	k' = -0,0063	h' = 0,0559	j' = 0,9981	k' = -0,0265
h'' = 0,0435	j'' = 0,1081	k'' = 0,7230	h'' = 0,0001	j'' = 0,0063	k'' = 0,9998	h'' = 0,0017	j'' = 0,0264	k'' = 0,9963
h''' = -0,0152	j''' = 0,0722	k''' = 0,6785	h''' = -0,0002	j''' = 0,0001	k''' = 0,0166	h''' = -0,0025	j''' = 0,0015	k''' = 0,0812
m = 0,9705	n = -0,2398	o = 0,0246	m = 0,9999	n = -0,0157	o = 0,0001	m = 0,9980	n = -0,0629	o = 0,0011
m' = 0,2351	n' = 0,9193	o' = -0,3156	m' = 0,0157	n' = 0,9999	o' = -0,0065	m' = 0,0629	n' = 0,9976	o' = -0,0303
m'' = 0,0531	n'' = 0,3121	o'' = 0,9486	m'' = 0,0000	n'' = 0,0065	o'' = 1,0000	m'' = 0,0009	n'' = 0,0303	o'' = 0,9935
p = 0,9970	q = -0,0776	r = 0,0069	p = 1,0000	q = -0,0062	r = 0,0000	p = 0,9997	q = -0,0236	r = 0,0006
p' = 0,0748	q' = 0,9280	r' = -0,3650	p' = 0,0062	q' = 0,9999	r' = -0,0161	p' = 0,0235	q' = 0,9973	r' = -0,0700
p'' = 0,0219	q'' = 0,3644	r'' = 0,9310	p'' = 0,0001	q'' = 0,0161	r'' = 0,9999	p'' = 0,0011	q'' = 0,0699	r'' = 0,9976
s = 0,9864	t = -0,1641	v = 0,0092	s = 0,9999	t = -0,0152	v = 0,0092	s = 0,9984	t = -0,0559	v = 0,0008
s' = 0,1639	t' = 0,9779	v' = -0,1301	s' = 0,0152	t' = 0,9999	v' = -0,0063	s' = 0,0559	t' = 0,9981	v' = -0,0265
s'' = 0,0124	t'' = 0,1298	v'' = 0,9915	s'' = 0,0000	t'' = 0,0063	v'' = 1,0000	s'' = 0,0007	t'' = 0,0265	v'' = 0,9996

Tablo 4.10. A_3BC Sisteminin geiş frekansları ve şiddetleri.

P_{ij}	Geiş Türü	1. Örnek		2. Örnek		3. Örnek	
		$\delta_{AB}=10$ Hz, $\delta_{BC}=15$ Hz $J_{AB}=5$ Hz, $J_{AC}=12$ Hz $J_{BC}=3$ Hz		$\delta_{AB}=40$ Hz, $\delta_{BC}=60$ Hz $J_{AB}=5$ Hz, $J_{AC}=12$ Hz $J_{BC}=3$ Hz		$\delta_{AB}=160$ Hz, $\delta_{BC}=240$ Hz $J_{AB}=5$ Hz, $J_{AC}=12$ Hz $J_{BC}=3$ Hz	
		Geiş Frekansı	Şiddet	Geiş Frekansı	Şiddet	Geiş Frekansı	Şiddet
$P_{1,2}$	C	-29.2552	0.223	-72.8652	0.240	-232.8423	0.247
$P_{1,3}$	B	-4.1461	0.164	-2.4552	0.229	17.6367	0.245
$P_{1,4}$	A	-7.4012	0.363	38.3205	0.281	178.2056	0.258
$P_{2,5}$	B	-4.5731	0.163	0.5720	0.215	20.6388	0.240
$P_{3,5}$	C	-29.6822	0.270	-69.8380	0.260	-229.8402	0.253
$P_{2,6}$	A	15.4482	0.310	50.2891	0.275	190.2033	0.257
$P_{4,6}$	C	-21.2082	0.210	-60.8966	0.238	-220.8446	0.247
$P_{3,7}$	A	7.7922	0.153	43.1487	0.220	183.1658	0.242
$P_{4,7}$	B	-3.7551	0.173	2.3730	0.255	22.5659	0.253
$P_{4,8}$	A	-3.5880	0.465	38.1888	0.287	178.1680	0.258
$P_{5,9}$	A	20.0395	0.570	55.1523	0.675	195.1655	0.729
$P_{6,9}$	B	0.0182	0.183	5.4352	0.234	25.6010	0.247
$P_{7,9}$	C	-17.4349	0.269	-57.8344	0.262	-217.8405	0.253
$P_{8,9}$	KARIŞIK	-24.7780	0.015	-	-	-	-
$P_{6,10}$	A	15.1895	0.996	50.1763	0.834	190.1675	0.774
$P_{7,10}$	KARIŞIK	-2.2636	0.010	-	-	-	-
$P_{8,10}$	C	-9.6067	0.181	-48.9091	0.237	-208.8451	0.247
$P_{7,11}$	A	6.9079	0.336	43.1426	0.648	183.1655	0.726
$P_{8,11}$	B	-0.4352	0.044	7.3268	0.254	27.5944	0.253
$P_{8,12}$	A	4.5295	1.974	38.1953	0.879	178.1679	0.774
$P_{9,13}$	A	19.9955	0.513	55.1499	0.669	195.1655	0.726
$P_{10,13}$	B	4.8242	0.136	10.4088	0.232	30.5990	0.247
$P_{11,13}$	C	-4.3473	0.244	-45.8271	0.264	-205.8405	0.253
$P_{12,13}$	KARIŞIK	-9.3120	0.077	-	-	-	-
$P_{10,14}$	A	15.0842	1.068	50.1787	0.846	190.1676	0.774
$P_{11,14}$	KARIŞIK	5.9127	0.028	-	-	-	-
$P_{12,14}$	C	0.9480	0.054	-36.9257	0.234	-196.8454	0.247
$P_{11,15}$	A	-	-	43.3761	0.627	183.2085	0.726
$P_{10,15}$	KARIŞIK	19.9440	0.018	-	-	-	-
$P_{12,15}$	B	5.8078	0.662	12.5076	0.307	32.6350	0.262
$P_{13,16}$	A	20.7933	0.143	55.3244	0.219	195.2059	0.242
$P_{14,16}$	B	10.5333	0.176	15.5545	0.265	35.6373	0.255
$P_{15,16}$	C	5.6735	0.432	-33.8788	0.266	-193.8431	0.253
$P_{17,18}$	C	-20.9555	0.215	-60.8687	0.238	-220.8426	0.247
$P_{17,19}$	B	-3.1894	0.102	2.5268	0.226	22.6358	0.245
$P_{17,20}$	A	4.1451	1.302	38.3420	0.855	178.2069	0.774
$P_{18,21}$	B	0.3676	0.137	5.5619	0.211	25.6379	0.239
$P_{19,21}$	C	-17.3985	0.271	-57.8336	0.261	-217.8405	0.253
$P_{20,21}$	KARIŞIK	-24.7330	0.014	-	-	-	-
$P_{18,22}$	A	15.5136	0.978	50.3022	0.834	190.2044	0.774
$P_{19,22}$	KARIŞIK	-2.2525	0.009	-	-	-	-
$P_{20,22}$	C	-9.5870	0.171	-48.9085	0.236	-208.8451	0.247
$P_{19,23}$	A	9.2191	0.071	43.3463	0.215	183.2070	0.242
$P_{20,23}$	B	1.8846	0.499	7.5311	0.299	27.6359	0.261
$P_{21,24}$	A	20.5879	0.173	55.3068	0.222	195.2047	0.242
$P_{22,24}$	B	5.4419	0.256	10.5665	0.264	30.6382	0.254
$P_{23,24}$	C	-6.0297	0.321	-45.8731	0.264	-205.8428	0.253

Şekil 4.20'de $\delta_{AB}=160$ Hz, $\delta_{BC}=240$ Hz, $J_{AB}=5$ Hz, $J_{AC}=12$ Hz ve $J_{BC}=3$ Hz alınarak elde edilmiş olan A_3BC spektrumu görülmüştür.



Şekil 4.20. A_3BC sisteminin $\delta_{AB}=160$ Hz, $\delta_{BC}=240$ Hz, $J_{AB}=5$ Hz, $J_{AC}=12$ Hz ve $J_{BC}=3$ Hz için örnek spektrum.

KAYNAKLAR

ABRAGAM, A. 1973. The Principles of Nuclear Magnetism, Academic Press, Oxford, 300-350 s.

AKITT, J. W. 1992. NMR and Chemistry, An Introduction to Modern NMR Spectroscopy, Chapman & Hall, Academic Press, London, 100-175 s.

APAYDIN, F. 1991. Magnetik Rezonans, Temel İlkeler, Deney D zenekleri,  l m Y ntemleri, H. . M h. Fak. Ders Kit. No:3, Ankara, 253-343 s.

CORIO, P.L. 1966. Structure of High-Resolution NMR Spectra, Academic Press, New York, 203-275 s.

MATHIESON, D.W. 1967. NMR For Organic Chemists, Academic Press, London, 67-228 s.

YAL INER, A. 1997. NMR Ders Notları. (Basılmamıř). 165 s.



LOKMANA
1997.10.10

ÖZGEÇMİŞ

05. 03. 1973 yılında Balıkesir’de doğdu. İlköğretimini ve ortaöğretimini burada tamamladı. 1990’da Uludağ Üniversitesi Fen-Edebiyat Fakültesi Fizik Bölümünde lisans öğrenimine başlayıp 1995’de aynı bölümden mezun oldu. Eylül 1996’da Uludağ Üniversitesi Fen Bilimleri Enstitüsü Fizik Anabilim Dalında yüksek lisans öğrenimine başladı. Eylül 1997’de aynı anabilim dalında Araştırma Görevlisi olarak göreve başladı ve halen aynı görevi sürdürmektedir.

ULUDAĞ ÜNİVERSİTESİ
FEN BİLİMLERİ ENSTİTÜSÜ
FİZİK ANABİLİM DALI